

รายงานการวิจัยฉบับสมบูรณ์

การผลิตและวิเคราะห์ก๊าซผลิตภัณฑ์จากฟางข้าว โดยใช้เตาผลิตก๊าชนิดไอลอง

**Production and Analysis of Producer Gas from Rice Straw
by Downdraft Gasifier**

คณะผู้วิจัย

1. คุณเชษฐ์ เพียรทอง สังกัด คณะวิศวกรรมศาสตร์ มหาวิทยาลัยอุบลราชธานี
2. กัญมา เจนวิจิตรสกุล สังกัด คณะวิศวกรรมศาสตร์ มหาวิทยาลัยอุบลราชธานี
3. นิรันดร์ หันไชยงวะ สังกัด คณะวิศวกรรมศาสตร์ มหาวิทยาลัยอุบลราชธานี
4. ชาลิต ถินวงศ์พิทักษ์ สังกัด คณะวิศวกรรมศาสตร์ มหาวิทยาลัยอุบลราชธานี
5. อนิรุตต์ มัทธุจักร สังกัด คณะวิศวกรรมศาสตร์ มหาวิทยาลัยอุบลราชธานี

โครงการวิจัยนี้ได้รับทุนอุดหนุนการวิจัยจากมหาวิทยาลัยอุบลราชธานี
ประจำปีงบประมาณ 2546

รายงานการวิจัยเรื่อง	การผลิตและวิเคราะห์ก้าชผลิตกัณฑ์จากฟางข้าวโดยใช้เตาผลิตก้าช ชนิดไอลลง	
หัวหน้าโครงการวิจัย	ผศ.ดร.กุลเชษฐ์ เพียรทอง	
ผู้ร่วมโครงการวิจัย	นางสาวกษมา เจนวิจิตรสกุล	
	นายนิรันดร์ หันไซยุงวา	
	ผศ.ดร.ชวัลิต ถินวงศ์พิทักษ์	
คณะกรรมการศาสตร์	มหาวิทยาลัยอุบลราชธานี	
ปีงบประมาณ	2546	
งบประมาณที่ได้รับ	210,500 บาท	
คำสำคัญ	ฟางข้าว การผลิตแก๊สผลิตกัณฑ์ เตาผลิตแก๊สชนิดไอลลง	

บทคัดย่อ

งานวิจัยนี้เป็นการศึกษาด้านการทดลองถึงความเป็นไปได้ในการนำเอาฟางข้าว ซึ่งเป็นวัสดุเหลือใช้ที่มีอยู่มากในประเทศไทย มาใช้เป็นเชื้อเพลิงในการผลิตแก๊สผลิตกัณฑ์ โดยเตาผลิตแก๊สชนิดไอลลง โดยในงานวิจัยนี้ได้ทำการออกแบบและสร้างเครื่องอัดฟางแท่ง และ เตาผลิตแก๊สชนิดไอลลง ซึ่งเตาชนิดนี้มีลักษณะเด่นคือ แก๊สผลิตกัณฑ์ที่ได้จะมีปริมาณลิ่งปันเปื้อนที่เกิดจากกระบวนการ pyrolysis และ drying ต่อ จึงหมายความว่าแก๊สผลิตกัณฑ์ที่ได้ไปใช้ประโยชน์ นอกจากนี้ยังทำการทดลองผลิตแก๊สผลิตกัณฑ์ และศึกษาถึงพฤติกรรมที่เกิดขึ้นในระหว่างการผลิตแก๊ส จากฟางใน 3 ลักษณะ คือ ฟางปกติ ฟางย่อย และ ฟางอัดแท่ง จากผลการทดลองพบว่า เตาที่ทำการออกแบบและสร้างสามารถผลิตแก๊สผลิตกัณฑ์ได้ดี จากรถไฟฟางย่อย และ ฟางอัดแท่ง และ จากการศึกษาถึงอิทธิพลของอัตราการไหลของอากาศที่ใช้ในการเผาไหม้ที่ต่างกัน 3 ค่าคือ $8.83 \times 10^{-4} \text{ m}^3/\text{s}$, $9.8 \times 10^{-4} \text{ m}^3/\text{s}$ และ $11.78 \times 10^{-4} \text{ m}^3/\text{s}$ โดยใช้ระยะเวลาทดลอง 100 นาทีต่อรอบการผลิต และใช้เชื้อเพลิง 10 กิโลกรัมต่อรอบการผลิตพบว่า ที่อัตราการไหลของอากาศ $9.8 \times 10^{-4} \text{ m}^3/\text{s}$ สามารถผลิตแก๊สผลิตกัณฑ์ได้ในปริมาณมากและสม่ำเสมอที่สุด โดยมีปริมาณ CO ประมาณ 3500-5000 ppm และ มีแก๊สไฮโดรเจนเล็กน้อย (ในกรณีฟางอัดแท่ง) ในส่วนของพฤติกรรมการผลิตแก๊สภายในเตาได้ถูกตรวจสอบ โดยการวัดอุณหภูมิภายในเตาตามแนวแกนซึ่งใช้อิบิยาพุตติกรรมที่เกิดขึ้นในเตาผลิตแก๊ส จากการทดลองผลิตแก๊สผลิตกัณฑ์ในงานวิจัยนี้ ทำให้พบว่า ขนาดของเตา อัตราการไหลของอากาศ ความชื้น และความหนาแน่นของเชื้อเพลิง เป็นตัวแปรสำคัญในการเกิดแก๊ส หากจะผลิตให้ได้ต่อเนื่อง และนำไปใช้งานจริง

Production and Analysis of producer gas from Rice Straw by Downdraft Gasifier

Head of Project Asst. Prof. Dr. Kulachate Pianthong
Co-researchers Mrs. Kasama Janevijitsakul
 Mr. Nirun Hunchaiyoongwa
 Asst.Prof.Dr. Chawalit Thinvongpituk
Faculty of Engineering Ubon Ratchathani University
In Finance Year 2006 for 210,500.- Baht
Keyword Rice straw , Gasification, Downdraft gasifier.

Abstract

This research aims to investigate the possibility of gasification from rice straw which is abundantly available throughout Thailand. The rice straw packer and the downdraft gasifier is designed, constructed and tested. From the tests, producer gas can really be produced continuously in reasonable amount and period. The advantage of the downdraft gasifier is that the producer gas from pyrolysis and drying process are much more ready to be used because there is low dirt particulate. Three types of rice straw which are normal rice straw, chopped rice straw, and packed rice straw are used in the tests. Experiments of three different inlet air flow rates were investigated; $8.83 \times 10^{-4} \text{ m}^3/\text{s}$, $9.8 \times 10^{-4} \text{ m}^3/\text{s}$ and $11.78 \times 10^{-4} \text{ m}^3/\text{s}$, with operating time of 100 min/batch and feed of 10 kg fuel/batch. The highest quantity and continuous flow of biomass gas is achieved from $9.8 \times 10^{-4} \text{ m}^3/\text{s}$ inlet air flow rate. This also offers the highest CO at about 3500-5000 ppm and some amount of H₂ was also achieved (from packed rice straw). Characteristics of gasification process were examined by temperature gradient along the gasifier axis using 4 thermocouples. From this investigation, it can be suggested that the volume of the gasifier, the air flow rate, the humidity, and the bulk density of the solid fuel are key parameters to achieve continuous and proper amount of the producer gas in order to use in the real practices.

กิตติกรรมประกาศ

คณะผู้วิจัยขอขอบคุณผู้มีส่วนเกี่ยวข้องทุกท่านที่ทำให้งานวิจัยนี้สำเร็จลุล่วงตามวัตถุประสงค์ รวมทั้งการจัดทำรูปเล่นรายงานการวิจัยสำเร็จลุล่วงไปด้วยดี ขอขอบคุณ สำนักงานพัฒนาพลังงาน ทดแทนและอนุรักษ์พลังงาน พื้นที่ ๕ (จังหวัดมหาสารคาม) ที่ให้คำแนะนำและให้ข้อมูลในการสร้าง เครื่องและผลิตฟางอัดแท่ง ขอขอบคุณคณะเกษตรศาสตร์ มหาวิทยาลัยอุบลราชธานี ที่อนุเคราะห์ ฟางแห้ง จำนวน 16 ก้อน และ เครื่องย่อยฟาง ขอขอบคุณนักศึกษาผู้ช่วยงานวิจัย ภาควิชา วิศวกรรมเครื่องกล นายชญานนท์ แสงมณี นายรักษาติ สุโพณะ นายอดิศักดิ์ บุตรวงศ์ ที่ช่วยสร้างชุด ทดลอง ทำการทดลอง และรวบรวมผลการทดลอง อย่างมีน้ำใจ ตลอดระยะเวลาในการทำวิจัยที่ผ่านมา การวิจัยครั้งนี้ ได้รับทุนอุดหนุนการวิจัยจากเงินงบประมาณแผ่นดิน ของมหาวิทยาลัยอุบลราชธานี คณะผู้วิจัย ขอขอบคุณไว้ ณ ที่นี่

คณะผู้วิจัย

สารบัญ

	หน้า
บทคัดย่อภาษาไทย	ก
บทคัดย่อภาษาอังกฤษ	ข
กิตติกรรมประกาศ	ค
สารบัญ	ง
สารบัญตาราง	ฉ
สารบัญภาพ	ช
บทที่ 1 บทนำ	
1.1 ความเป็นมาและความสำคัญของการวิจัย	1
1.2 วัตถุประสงค์ของงานวิจัย	2
1.3 ประโยชน์ที่คาดว่าจะได้รับ	2
1.4 ขอบเขตการวิจัย	2
1.5 วิธีดำเนินการวิจัย	3
บทที่ 2 ทฤษฎีและงานวิจัยที่เกี่ยวข้อง	
2.1 แก๊สผลิตภัณฑ์จากชีวนะล	4
2.2 เทคโนโลยีการเผาไหม้	7
2.3 กระบวนการผลิตแก๊สชีวนะลโดยใช้อากาศ	9
2.4 ปฏิกริยาเคมีความร้อนของการเกิดแก๊สชีวนะล	9
2.5 ชนิดของเตาผลิตแก๊สชีวนะล	12
บทที่ 3 วิธีการและเครื่องมือในการดำเนินการวิจัย	
3.1 การเตรียมฟางก้อนก่อนผลิตแก๊สชีวนะล	17
3.2 การผลิตแก๊สชีวนะล	20
บทที่ 4 ผลการทดลองและวิเคราะห์	
4.1 การทดลองผลิตฟางอัดก้อน	26
4.2 การผลิตแก๊สผลิตภัณฑ์จากฟางข้าว	41
4.3 การผลิตแก๊สผลิตภัณฑ์จากก้อนฟางอัดแท่ง	46
บทที่ 5 สรุปผลการทดลอง	
5.1 การศึกษาการผลิตฟางอัดแท่ง	50
5.2 การศึกษาการผลิตแก๊สผลิตภัณฑ์	50

สารบัญ (ต่อ)

หน้า

5.3 ข้อเสนอแนะ	51
----------------	----

เอกสารอ้างอิง	52
ภาคผนวก	54
ก การออกแบบเครื่องอัดฟางก้อน	55
ข การออกแบบเตาเผา	66
ค ผลการวิเคราะห์องค์ประกอบของฟางข้าว	69
ง ผลงานตีพิมพ์เกี่ยวนেื่องจากงานวิจัย	72
จ ประวัติคณะผู้วิจัย	77

สารบัญตาราง

ตารางที่

หน้า

2.1 ค่าเฉลี่ยของค่าความร้อนของเชื้อเพลิงชีวมวลชนิดต่าง ๆ	5
4.1 ตารางบันทึกผลการทดลองที่ 1 อัดฟางที่ไม่ผ่านการสับ	25
4.2 ตารางบันทึกผลการทดลองที่ 2 อัดฟางที่ผ่านการสับ	26
4.3 ตารางบันทึกผลการทดลองที่ 3 อัดฟางที่ผ่านการย่อยและปั่นละเอียด	27
4.4 ตารางบันทึกผลการทดลองที่ 4 ใช้ฟางที่ผ่านการย่อยและปั่นละเอียด	28
4.5 ตารางบันทึกกลั่นขณะทางกายภาพก่อนฟาง	32
4.6 ชนิดเชื้อเพลิงก่อน A	33
4.7 ชนิดเชื้อเพลิงก่อน B	34
4.8 ชนิดเชื้อเพลิงก่อน C	35
4.9 ชนิดเชื้อเพลิงก่อน D	36
4.10 ชนิดเชื้อเพลิงก่อน E	37
4.11 ตารางผลการทดลองหาค่าความร้อน	39
4.12 ตารางผลการทดลองหาค่าความร้อน	41
4.13 ผลการทดลองการผลิตแก๊สชีวมวลจากฟางก่อน	47

สารบัญรูป

	หน้า
รูปที่	
2.1 ลักษณะเตาเผาเชื้อเพลิงแก๊สชีวมวลแบบอากาศไหลขึ้น	13
2.2 ลักษณะเตาเผาเชื้อเพลิงแก๊สชีวมวลแบบอากาศไหลลง	14
2.3 ลักษณะเตาเผาเชื้อเพลิงแก๊สชีวมวลแบบอากาศไหลตามขวา	14
2.4 ลักษณะเตาเผาเชื้อเพลิงแก๊สชีวมวลระบบฟลูอิดไดซ์เบด	15
2.5 เตา gasifier แบบ suspended	16
3.1 ส่วนประกอบหลักของเครื่องอัดฟาง RSP-ME1	17
3.2 การทำงานของเครื่องอัดฟาง	18
3.3 ขนาดและส่วนประกอบหลักของเตาผลิตแก๊สชีวมวล DDG-ME2	19
3.4 ขนาดและส่วนประกอบหลักของเตาผลิตแก๊สชีวมวล DDG-ME2	20
3.5 K-type thermocouple และ data logger	20
3.6 อุปกรณ์วัดอัตราการไหลของอากาศ	21
3.7 อุปกรณ์วัดแก๊สผลิตภัณฑ์และการติดตั้งขณะทดลอง	22
3.8 เครื่องอัดอากาศชนิดหอยโซ่ แบบใบพัดคู่ และใบพัดเดี่ยว	22
3.9 อุปกรณ์อื่นๆ ในการทดลอง	23
4.1 เปรียบเทียบขนาดของฟาง	29
4.2 แสดงการทำงานของเครื่องอัดฟาง และ ฟางแท่งที่ได้	30
4.3 ลักษณะของแท่งฟางอัดที่ผลิตได้	38
4.4 ลักษณะของฟางข้าวที่ใช้ผลิตแก๊สชีวมวล	40
4.5 อิทธิพลของอัตราการไหลของอากาศเผาไหม้ ต่อ Q_{out}	42
4.6 อิทธิพลของอัตราการไหลของอากาศที่ใช้ในการเผาไหม้ต่อปริมาณ CO	43
4.7 ความสัมพันธ์ระหว่างเวลาในการทดลองกับโครงสร้างทางความร้อน	43
4.8 ความสัมพันธ์ระหว่างเวลา กับ อุณหภูมิที่ตำแหน่ง T_4 และ ปริมาณแก๊สชีวมวล Q_{out}	44
4.9 ความสัมพันธ์ระหว่างเวลา กับ อุณหภูมิที่ตำแหน่ง T_4 และ ปริมาณ CO	45
4.10 ลักษณะเบลาไฟของ การติดไฟของแก๊สชีวมวล	45
4.11 ฟางแท่ง และ ก้อนย่อย ของ ฟางแท่ง ที่ใช้ในการทดลองผลิตแก๊ส	46
4.12 ความสัมพันธ์ระหว่างเวลา กับ อุณหภูมิที่ตำแหน่ง T_4 และ ปริมาณ CO	46
4.13 ภาพเบลาไฟของ แก๊สชีวมวล ที่ได้จากฟาง ก้อน ช่วงกลางวัน และ กลางคืน	48

สารบัญรูป (ต่อ)

	หน้า
รูปที่	
ก.1 เกลียวสีเหลี่ยมคงหมุน	55
ก.2 มุ่มหลีด	55
ก.3 ขนาดต่าง ๆ ของเกลียวสีเหลี่ยมคงหมุน	56
ก.4 ตัวอย่างการใช้สกรูส่งกำบังเป็นแม่แรง	57
ก.5 แผนภาพแรงปฏิกิริยาบนเกลียวเนื่องจากการยกน้ำหนัก W	58
ก.6 แรงปฏิกิริยาบนเกลียวสีเหลี่ยม	60
ก.7 หัวอัด	62
ก.8 แบบอุปกรณ์ทำความร้อน	63
ก.9 อุปกรณ์ทำความร้อน	64
ก.10 อุปกรณ์หรี่ไฟ	64

บทที่ 1

บทนำ

1.1 ความเป็นมาและความสำคัญของการวิจัย

การใช้พลังงานความร้อน ในปัจจุบันส่วนใหญ่แล้วได้จากการนำเชื้อเพลิงฟอสซิล (fossil fuel) จากใต้พิภพ เช่น ถ่านหิน น้ำมันปิโตรเลียม แก๊สธรรมชาติ มาใช้เป็นแหล่งพลังงานหลัก ยังผลให้เชื้อเพลิงฟอสซิลมีปริมาณลดลงเรื่อยๆ และส่งผลต่อปัญหาด้านสิ่งแวดล้อมจากการใช้ในปริมาณที่เพิ่มขึ้น เช่น การสะสมแก๊สคาร์บอนไดออกไซด์ ในบรรยากาศอันเป็นสาเหตุการเกิดสภาวะเรือนกระจก และทำให้อุณหภูมิของโลกสูงขึ้น หรือ การเกิดชัลเฟอร์ออกไซด์ แล้วกลายเป็นฝุ่นกรด เป็นต้น จากสาเหตุดังกล่าวจึงมีความพยายามในการนำพลังงานทดแทนชนิดต่างๆ มาทดแทนเชื้อเพลิงฟอสซิล เช่น พลังงานแสงอาทิตย์ พลังงานลม พลังงานน้ำ และ เชื้อเพลิงชีวมวล เป็นต้น โดยเฉพาะอย่างยิ่งชีวมวลเป็นแหล่งพลังงานทดแทนที่สำคัญ ในประเทศไทย เนื่องจากเป็นแหล่งพลังงานที่อยู่ในรูปของวัตถุดิบที่เหลือใช้ในธรรมชาติ และการเกษตร ซึ่งสามารถนำชีวมวลมาใช้เป็นเชื้อเพลิงได้โดยตรง ในรูปของของแข็ง หรือน้ำชีวมวลมาเปลี่ยnrูปเป็นแก๊ส (biomass energy conversion) ก่อนนำไปใช้เพื่อความสะดวกในการใช้งาน โดยเฉพาะการผลิตแก๊สชีวมวล (gasification process) และการแยกสลายด้วยความร้อน (pyrolysis process) ซึ่งเป็นกระบวนการเปลี่ยนรูปชีวมวลทางความร้อน (thermo-chemical conversion) โดยเป็นการเปลี่ยนแปลงสถานะเชื้อเพลิงชีวมวลจากเชื้อเพลิงแข็ง ให้เป็นเชื้อเพลิงแก๊ส เรียกว่า กระบวนการผลิตแก๊ส (gasification) กระบวนการนี้เกิดได้จากการเผาไหม้ชีวมวลในสภาพของของแข็งในห้องเผาไหม้ที่จำกัด ปริมาณออกซิเจน เกิดความร้อนบางส่วนขึ้น และความร้อนเหล่านี้จะไปเร่งปฏิกิริยาอย่างต่อเนื่องอื่น ๆ ให้เป็นแก๊สเชื้อเพลิง ชีวมวลที่นิยมใช้ เช่น ถ่านไม้ พิน และวัสดุเหลือใช้จากการเกษตร เช่น แกลบ เศษกลิ่น เป็นต้น ก้าชชีวมวลที่ได้จากการกระบวนการ gasification เรียกว่า producer gas ซึ่งจะมีค่าความร้อนสูง และ เผาไหม้ได้สะอาด ใช้งานสะดวกกว่า เชื้อเชื้อแข็ง สามารถนำไปใช้เป็นเชื้อเพลิงในการให้ความร้อน เพื่อนำไปใช้ประโยชน์ได้หลายประการ อาทิเช่น การหุงต้ม ใช้ในระบบอบแห้งผลิตภัณฑ์ทางการเกษตร หรือแม้แต่ใช้กับเครื่องยนต์ที่ใช้แก๊ส (gas engine) เป็นต้น

ส่วนประกอบหลัก ๆ ของ producer gas โดยทั่ว ๆ ไป จะประกอบด้วย CO ประมาณ 20-30 %, H₂ ประมาณ 5-15%, N₂ ประมาณ 50-60 % โดยที่ค่าความร้อนของ producer gas ที่ได้ประมาณ 10-15% ของแก๊สธรรมชาติ โดยที่ค่าความร้อนจะอยู่ประมาณ 4,000-6,000 kJ/m³ และมีนักวิจัยหลายกลุ่มได้ให้ความสนใจในการผลิตแก๊สชีวมวลจากวัตถุดิบทางการเกษตรที่ต่างชนิดกันไป แต่การนำเอาฟางข้าว ซึ่งเป็นชีวมวลที่มีอยู่มากในประเทศไทย [1] มาเป็นเชื้อเพลิงในการผลิตแก๊สชีวมวลยังมีการศึกษาน้อยมาก

จึงมีแนวคิดในการนำเอาฟางข้าวมาผลิตแก๊สชีมวลโดยเตาผลิตแก๊สชนิดไอลง เพื่อศึกษาและพัฒนากระบวนการผลิตแก๊สชีมวลจากฟางข้าว และหาแนวทางในการนำแก๊สชีมวลที่ผลิตได้ไปใช้ประโยชน์ อาทิ นำแก๊สชีมวลที่ได้เป็นแหล่งเชื้อเพลิงในการอบผลิตภัณฑ์ทางการเกษตร หรือ นำมาใช้กับเครื่องยนต์สันดาปภายในเพื่อใช้ในการผลิตไฟฟ้า เป็นต้น การทดลองในเอกสารนี้เป็นการทดลองในการผลิตแก๊สชีมวล หรือ แก๊สผลิตภัณฑ์ (producer gas) โดยมุ่งเน้นถึงพฤติกรรมที่เกิดขึ้นในระหว่างการผลิต แก๊สชีมวล ความสัมพันธ์ระหว่างตุ่มที่ป้อน และอัตราการเกิด producer gas ซึ่งเป็นแนวทางในการนำไปสู่การพัฒนาการผลิตแก๊สชีมวลอย่างมีประสิทธิภาพ และสามารถนำไปใช้ประโยชน์ต่อไป

1.2 วัตถุประสงค์ของงานวิจัย

- สร้างเครื่องอัดฟางและศึกษาสภาวะของการอัดฟางที่เหมาะสมกับการนำไปใช้ผลิตก๊าซชีมวล โดยพิจารณาจากค่า bulk density
- สร้างเตาผลิตแก๊สผลิตภัณฑ์ และศึกษาสภาวะในการผลิตแก๊สชีมวลเพื่อให้เหมาะสมกับการนำไปใช้ประโยชน์ โดยพิจารณาจากอุณหภูมิของก๊าซชีมวลที่ได้ ระยะเวลาในการเผาไหม้ และคุณภาพของแก๊ส

1.3 ประโยชน์ที่คาดว่าจะได้รับ

- แนวทางในการนำพลังงานจากชีมวลซึ่งหาได้ยากในแหล่งเกษตรกรรม มาใช้ให้เป็นประโยชน์
- สามารถช่วยลดปริมาณของเหลือจากการกิจกรรมทางการเกษตร และช่วยลดปริมาณแก๊สสมบัติที่ปลดปล่อยเมื่อทำการเผาฟางข้าวที่เหลือใช้
- เป็นแนวทางในการนำไปประยุกต์ใช้ศึกษาและวิจัยในการนำพลังงานจากลิ่งเหลือใช้ทางการเกษตร นำไปใช้ในกิจกรรมทางการเกษตรต่างๆ

1.4 ขอบเขตการวิจัย

- ออกแบบ สร้าง และทดสอบเครื่องอัดฟาง พร้อมทั้งหาวัสดุประสานที่เหมาะสม หาค่า bulk density ที่เหมาะสมที่สุดเพื่อนำไปใช้กับเตาเผาชีมวล
- ออกแบบ สร้างและทดสอบเตาผลิตแก๊สแบบไอลงโดยใช้ชีมวลเป็นเชื้อเพลิงชนิดก๊าซชีมวล
- วิเคราะห์ วิจารณ์ผลการวิจัย สรุปและข้อเสนอแนะ

1.5 วิธีดำเนินการวิจัย

1. ศึกษาข้อมูลที่ใช้ในการออกแบบระบบผลิตฟางอัดก้อน พร้อมทั้งหาวัสดุประสานที่เหมาะสม
2. ออกแบบ สร้างและทดสอบเตาผลิตก๊าซผลิตภัณฑ์ พร้อมทั้งหาสภาวะที่เหมาะสม
3. วิเคราะห์และสรุปผลที่ได้จากการทดลอง

บทที่ 2

ทฤษฎีและงานวิจัยที่เกี่ยวข้อง

2.1 แก๊สผลิตภัณฑ์จากชีวมวล

การศึกษาการผลิตแก๊สผลิตภัณฑ์จากชีวมวลนิดต่างๆ นั้นได้มีนักวิจัยหลายกลุ่ม ทำการศึกษามาพอกสนใจ และนอกจากนี้ยังมีงานวิจัยหลายชิ้นเริ่มให้ความสนใจเกี่ยวกับฟางข้าวมากขึ้น ซึ่งสามารถกล่าวพอกันว่าสังเขปได้ ดังนี้

วิรช อรุณลักษณ์ธรรม [2] ศึกษาเตาผลิตแก๊สแบบไฟลชัน เพื่อการเผาไหม้โดยตรง ใช้เตาผลิตแก๊สสูง 175 cm เส้นผ่าศูนย์กลางภายนอก 65 cm ภายในเตากรองด้วยอิฐทนไฟหนา 10 cm โดยรอบตลอดทั้งเตา พบร่วมกับหัวที่เหมาะสมในด้านขนาดของเชื้อเพลิง และปริมาณอัตราการไหลของอากาศที่เหมาะสมของเตาผลิตแก๊ส อยู่ในช่วงขนาดความยาวของเชื้อเพลิง 2-3 cm ปริมาณการไหลของอากาศ 0.44-0.51 m³/min ในช่วงนี้ให้ผลผลิตแก๊ส CO ไม่ต่ำกว่าร้อยละ 28.7

ชีวมวล วนิชผล และสามารถ พิริยะปัญญาพร [3] ศึกษาระบบผลิตพลังงานความร้อนจากแกลบ ด้วยระบบการเผาไหม้แบบฟลูอิดไดซ์เซ็นชั่น และการผลิตแก๊สชีวมวลแบบเบดเคลื่อนที่ พบร่วมกับการเผาไหม้แกลบในเตาแบบฟลูอิดไดซ์เบด มีประสิทธิภาพการเผาไหม้ของแกลบอยู่ที่อุณหภูมิเบดในช่วง 700-750°C อยู่ที่ 96-99 % ใช้อากาศเกินพอตั้งแต่ 22 % ขึ้นไป สำหรับการผลิตแก๊สชีวมวลจากแกลบโดยเครื่องผลิตแก๊สชีวมวล พบร่วมกับชีวมวลที่ผลิตได้มีองค์ประกอบของ CO 16-24 % และยังมี CH₄, H₂ เล็กน้อย และพบร่วมกับอัตราส่วนอากาศ : เชื้อเพลิง ที่ 1:7 แก๊สชีวมวลที่ผลิตได้มีค่าความร้อนสูงสุดถึง 3.347 kJ/m³

เมื่อไม่นานมานี้ ได้มีความพยายามที่จะพัฒนาวิธีการแยกสารที่มีประโยชน์ออกจากฟางข้าว [4] เพื่อนำไปใช้ประโยชน์อื่น ๆ แทนการนำกลับไปเป็นปุ๋ยสำหรับเพาะปลูกครั้งต่อไป คณะนักวิทยาศาสตร์ในโครงการวิจัยนี้บอกว่า โครงการสกัดสารที่เป็นประโยชน์จากฟางข้าวจะเป็นมิตรต่อสิ่งแวดล้อมด้วย จากรายงานพบว่า ในประเทศไทยก่อตุ้นแห่งเดียวมีฟางข้าวสาลีประมาณ 10 ล้านตัน แต่มีนำไปใช้ประโยชน์ได้จริง ๆ ไม่ถึง 20 % จากการวิจัยล่าสุด พบร่วมกับการจะใช้ประโยชน์จากฟางข้าวได้ถึง 4 ส่วนสำคัญ คือ ชั้นด้านนอกของฟางข้าวซึ่งมีลักษณะคล้ายขี้ผึ้ง ชั้นเซลลูโลส ชั้นไฮมิเซลลูโลส และลิกนิน สำหรับการใช้งานของแต่ละชั้นนั้น ชั้นภายนอกของฟางข้าวมีลักษณะคล้ายขี้ผึ้ง สามารถนำมาผ่านกรรมวิธีทำให้บรรทัดใช้ในอุตสาหกรรมเครื่องสำอาง ส่วนชั้นเซลลูโลสอาจนำมาทำเป็นกระดาษ ชั้นไฮมิเซลลูโลสนำมาสกัดเป็นวัสดุโพลิเมอร์ในการผลิตสี ในขณะที่ลิกนินนำมาเผาไหม้เป็นเชื้อเพลิงในโรงงานไฟฟ้าและความร้อนได้

นอกจากฟางข้าวจะมีองค์ประกอบดังที่กล่าวมาแล้ว จากการศึกษาส่วนประกอบทางเคมีของฟางข้าว พบว่าประกอบด้วยธาตุในໂຕเรຈນ (N) 0.94 % ฟอสฟอรัส (P) 0.20 % โพแทสเซียม (K) 1.70% [2].

วินัย [5] ได้ทำการทดสอบค่าความร้อนของเชื้อเพลิง โดยใช้เครื่อง adiabatic oxygen bomb calorimeter ตามมาตรฐานการทดสอบ ASTM D2015 – 77 โดยนำตัวอย่างเชื้อเพลิงแต่ละชนิดไปบดด้วย เครื่องบดแล้วนำไปร่อนผ่านตะแกรงแต่ละขนาด นำตัวอย่างที่ผ่านตะแกรงแต่ละขนาดมาผสานกันแล้วนำไปอบแห้งที่อุณหภูมิ 105°C เป็นเวลา 8 ชั่วโมง ในเครื่อง adiabatic oxygen bornb calorimeter โดยมีเครื่องควบคุมด้วยระบบอัตโนมัติ อ่านค่าความร้อนจากเครื่องตัวอย่างที่ได้จาก เครื่องควบคุม ซึ่งค่าความร้อนของตัวอย่างที่ได้นี้ จะเป็นค่าเฉลี่ยของความร้อนของเชื้อเพลิงชนิดต่าง ๆ ดังตารางที่ 3.2

ตารางที่ 2.1 ค่าเฉลี่ยของค่าความร้อนของเชื้อเพลิงชีวนิตรนิตติ์ต่าง ๆ

ชนิดเชื้อเพลิง	ค่าความร้อน (แคลอรี / กรัม)
แกลบดิบ	3,407
ฟางข้าว	4,148
ชั้งข้าวโพด	4,351
กะลาะมะพร้าว	4,631
ขี้เลือย	4,461
เศษไม้ยางพารา	4,580

จากตารางที่ 2.1 พบว่าฟางข้าวซึ่งให้ค่าความร้อนสูงกว่าแกลบ แต่การลอกใหม้และการมอดของ เปลาไฟ เป็นไปอย่างรวดเร็ว จึงไม่เหมาะสมที่จะนำมาทำเป็นเชื้อเพลิงโดยตรง แต่อาจจะนำไปผ่านกรรมวิธี การอัดให้เป็นก้อนแน่น ก็อาจจะสามารถใช้เป็นเชื้อเพลิงที่เหมาะสมได้ และจากการวิเคราะห์ประสิทธิภาพ การใช้งานของเชื้อเพลิงกับการหุงต้มในเตาแต่ละชนิด พบว่า ฟางข้าว เป็นเชื้อเพลิงที่ใช้ได้กับเตาแบบมี ปล่องเท่านั้น จุดติดไฟง่าย แต่มีควันและเขม่ามาก เหมาะสำหรับเป็นเชื้อไฟ ไม่เหมาะสมเป็นเชื้อเพลิง เนื่องจากเปลาไฟมอดเร็ว การใช้งานต้องมัดให้เป็นท่อนจึงจะดีขึ้น เวลาที่ทำให้น้ำเดือดเฉลี่ย 21 นาที ประสิทธิภาพการใช้งาน 2.9 – 6.8 %

McKendry [6] ได้อธิบายถึงกระบวนการและวิธีการต่าง ๆ ที่ใช้ในการเปลี่ยนรูปชีวมวล ซึ่งพบว่า กระบวนการเปลี่ยนรูปชีวมวล (biomass conversion) มี 2 กระบวนการหลักคือ การเปลี่ยนรูปทางเคมี (bio-chemical conversion) และ การเปลี่ยนรูปโดยความร้อน (thermo-chemical conversion) ซึ่งนิยมใช้มาก

ต่อมา มีการผลิตแก๊สชีวมวล (gasification) จากขยะเหลือทิ้งโดยเตาผลิตการชนิดไหลง (downdraft gasifier) โดย Dogru และคณะ [7] พบว่า สามารถผลิตแก๊สชีวมวลได้ และ สามารถนำแก๊สชีวมวลที่ได้ไปใช้เป็นเชื้อเพลิงแทนเชื้อเพลิงฟอสซิลในการผลิตกระแสไฟฟ้าได้ถึง 5 kW_e โดยมีประสิทธิภาพเชิงความร้อนสูงถึง 40 % นอกจากนี้ยังพบว่า การใช้เตาผลิตแก๊สชนิดไหลงมีข้อดี คือ แก๊สชีวมวลที่ผลิตได้มีลักษณะเป็นน้ำมันอย่างทำให้สามารถนำไปใช้ในเครื่องยนต์สันดาปภายใน (internal combustion engine) และ อุปกรณ์อื่น ๆ ได้

นอกจากนี้แล้วยังมีการผลิตแก๊สชีวมวลจากเปลือกเมล็ดถั่วจากเตาผลิตแก๊สชนิดไหลง โดย Dogru และคณะ [8] พบว่า แก๊สชีวมวลที่ผลิตได้ให้ค่าความร้อน (calorific value) สูงถึง 5 MJ/m³ ซึ่งสามารถนำไปใช้ในเครื่องยนต์สันดาปภายในได้

นอกจากเปลือกถั่วแล้ว ยังสามารถนำเศษไม้มาใช้เป็นเชื้อเพลิงในการผลิตแก๊สจากเตาผลิตแก๊สชนิดไหลง เช่นกัน โดย Zainal และคณะ [9] ซึ่งได้ศึกษาถึงอัตราผลของ equivalence ratio ที่มีผลต่อส่วนประกอบของแก๊สชีวมวล ค่าความร้อนของแก๊สชีวมวลและการผลิตแก๊สชีวมวลพบว่า การเพิ่มขึ้นของการผลิตแก๊สชีวมวล (gas flow rate per unit weight) จะเป็นสัดส่วนโดยตรงกับค่า equivalence ratio ค่าความร้อนของแก๊สชีวมวลจะมีค่าสูงที่ค่า equivalence ratio ประมาณ 0.4 และส่วนประกอบของแก๊สชีวมวลจะมีค่าแตกต่างกันไปตาม equivalence ratio

ต่อมา Chen [10] ได้อธิบายเพิ่มเติมว่า ยังมีตัวแปร (parameter) อื่นอีกเช่น reactor temperature เวลาของสาระเหยที่อยู่ภายใน reactor และคุณสมบัติของเชื้อเพลิงชีวมวล ที่มีผลต่อการผลิตแก๊สชีวมวล และยังพบว่า การผลิตแก๊สชีวมวลโดยกระบวนการ pyrolysis และ gasification ยังมีข้อเสีย คือ สามารถผลิตแก๊สชีวมวลได้ในปริมาณน้อย และเกิดการกัดกร่อน (corrosion) บริเวณท้ายน้ำ (downstream) ของอุปกรณ์

Wu และคณะ [11] ได้ทำการศึกษาถึงผลทางเศรษฐศาสตร์ในการผลิตไฟฟ้าจากแก๊สชีวมวล ซึ่งพบว่า มีความเป็นไปได้ในการผลิตไฟฟ้าจากแก๊สชีวมวล แต่จำเป็นต้องศึกษาเพิ่มเติม คือ (1) การกำจัดน้ำมันดิน (tar) และมลภาวะที่เกิดจากการผลิต (2) การเพิ่มประสิทธิภาพของการผลิตแก๊สชีวมวลซึ่งจะเป็นการลดค่าไฟฟ้าลง และ (3) จำเป็นต้องคำนึงถึงการเก็บรักษาเชื้อเพลิงชีวมวลด้วย

2.2 เทคโนโลยีการเผาไหม้

สามารถนำชีวมวลมาแปรเปลี่ยนเป็นพลังงานความร้อน เช่น ไอน้ำเพื่อใช้กระบวนการผลิตพลังงานไฟฟ้า กระบวนการที่ใช้เปลี่ยนแปลงชีวมวลให้เป็นพลังงาน โดยทั่วไปมักอาศัยวิธีทางเคมีความร้อน (thermochemical) ซึ่งก็คือ การเผาไหม้ สำหรับเทคโนโลยีการเผาไหม้ เชื้อเพลิงชีวมวลสามารถจำแนกได้เป็น 2 ประเภทคือ การเผาไหม้โดยตรง (direct combustion) และ การผลิตแก๊สผลิตภัณฑ์โดยใช้อากาศ(air gasification)

2.2.1 การเผาไหม้โดยตรง (Direct combustion)

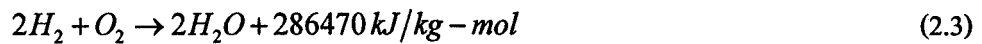
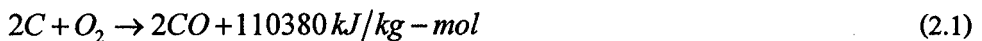
การเผาไหม้เป็นวิธีที่ใช้กันมากในการนำเชื้อเพลิงชีวมวลมาใช้ให้เกิดประโยชน์ โดยการเผาให้ได้ความร้อนเพื่อเอา แก๊สร้อนไปใช้ในกระบวนการผลิต เช่น การอบแห้ง หรือการนำความร้อนที่ได้ไปผลิตไอน้ำร้อนที่มีความดันสูงเพื่อใช้ในการผลิตไฟฟ้า ผลิต

2.2.2 ปฏิกิริยาเคมีความร้อนที่เกิดขึ้นในกระบวนการเผาไหม้

การเผาไหม้เป็นปฏิกิริยาการรวมตัวกันของเชื้อเพลิงกับออกซิเจนอย่างรวดเร็ว พร้อมกับเกิดการลุกไหม้ และคาย ความร้อน ในกระบวนการเผาไหม้ส่วนใหญ่จะไม่ใช้ออกซิเจนล้วน ๆ เพราะสิ่งเปลี่ยนค่าใช้จ่ายมากแต่จะใช้อากาศแทน โดยอากาศจะมีออกซิเจน และแก๊สในโทรศัพท์เป็นองค์ประกอบหลัก ส่วน แก๊สอื่นมีปะปนอยู่น้อยมาก (ในอากาศมี แก๊สออกซิเจน ประมาณร้อยละ 21 และ แก๊สในโทรศัพท์ร้อยละ 79 โดยปริมาตรหรือแก๊สออกซิเจนประมาณร้อยละ 23 และ แก๊สในโทรศัพท์ร้อยละ 77 โดยน้ำหนัก) ขั้นตอนของกระบวนการเผาไหม้ในเชื้อเพลิงชีวมวลซึ่งเป็นเชื้อเพลิงแข็งประกอบด้วย 4 ขั้นตอน คือ

- (1) เริ่มต้นด้วยแก๊สออกซิเจนสัมผัสกับผิวเชื้อเพลิง
- (2) เกิดปฏิกิริยาการเผาไหม้ให้แก๊สคาร์บอนมอนอกไซด์ (CO)
- (3) มีการปล่อยแก๊สคาร์บอนมอนอกไซด์ออกมากที่ผิว
- (4) การทำปฏิกิริยากันระหว่างแก๊สคาร์บอนมอนอกไซด์กับแก๊สออกซิเจนเกิดเป็นคาร์บอนไดออกไซด์

เชื้อเพลิงชีวมวลส่วนใหญ่ประกอบด้วย คาร์บอน (C), ไฮโดรเจน (H), ออกซิเจน (O), และธาตุอื่น ๆ ปะปนอยู่บ้าง เช่น ในโทรศัพท์ (N) และกำมะถัน (S) ดังนั้นเมื่อนำเชื้อเพลิงชีวมวลไปเผาไหม้จะเกิดปฏิกิริยาเคมีดังแสดงด้วยสมการต่อไปนี้



2.2.3 ปัจจัยที่มีผลต่อกระบวนการเผาไหม้ มีอยู่ด้วยกัน 4 ประการ คือ

2.2.3.1 อัตราส่วนระหว่างอากาศต่อเชื้อเพลิงที่เหมาะสม ตามสมการการเผาไหม้ข้างต้น ปริมาณของอากาศตามทฤษฎี (theoretical air) คือ ปริมาณอากาศที่น้อยที่สุดที่ใช้ในการเผาไหม้เชื้อเพลิง และเปลี่ยนคาร์บอน ไฮโดรเจน ในไตรเจน และกำมะถัน ให้เป็นแก๊สคาร์บอนไดออกไซด์ น้ำ แก๊สในไตรเจนไดออกไซด์ และแก๊สซัลเฟอร์ไดออกไซด์ ตามลำดับ แต่ในทางปฏิบัติอากาศที่ใช้ตามทฤษฎีนี้ แก๊สออกซิเจนไม่เพียงพอที่จะทำให้เกิดการเผาไหม้ที่สมบูรณ์ได้ ซึ่งปรากฏการณ์ที่เห็นได้อย่างชัดเจน 2 ประการของการเผาไหม้ที่ไม่สมบูรณ์ คือ การเกิดแก๊สคาร์บอนอนกอกไซด์ และส่วนประกอบของคาร์บอนในแก๊สทิ้ง การแก้ปัญหาดังกล่าวคือต้องใช้ปริมาณอากาศมากกว่าเดิมให้เกินพอดำรงรับการเผาไหม้ที่สมบูรณ์

2.2.3.2 การสัมผัสระหว่างเชื้อเพลิงกับอากาศหรือออกซิเจน คือ การท่อนุภาคของเชื้อเพลิง สัมผัสนอกโมเลกุลของออกซิเจน ได้อย่างทั่วถึง ในกรณีนี้ เชื้อเพลิงชีวนะเป็นของแข็ง การบดเชื้อเพลิงให้มีขนาดเล็กลงเพื่อเพิ่มผิวสัมผัสให้มากขึ้น จะช่วยทำให้ปฏิกริยาการเผาไหม้เกิดได้ดี และรวดเร็วขึ้น

2.2.3.3 อุณหภูมิสูงเพียงพอต่อการเผาไหม้ การเผาไหม้ของเชื้อเพลิง หรือการรวมตัวกันทางเคมี ของเชื้อเพลิงกับอากาศ นั้นมีผลโดยตรงกับอุณหภูมิ การเผาไหม้จะเกิดช้าๆ ในตอนแรก และจะเกิดต่อไปเรื่อยๆ ความร้อนที่ได้จากการเผาไหม้จะเพิ่มอุณหภูมิของเชื้อเพลิง และอากาศให้สูงขึ้น ส่งผลให้อัตราการเผาไหม้เพิ่มขึ้น ฉะนั้นลิ่งที่ต้องการสำหรับการเผาไหม้แบบเกิดขึ้นเองได้ และต่อเนื่อง (spontaneous combustion) นั้น จะต้องมีปริมาณความร้อน จากภายนอกช่วยให้เกิดปฏิกริยาการเผาไหม้ และให้ปริมาณความร้อนออกมากขึ้นจนมีอุณหภูมิสูงพอต่อการเผาไหม้ แบบต่อเนื่องได้ โดยปกติแล้วในการเผาไหม้ นั้นต้องการอุณหภูมิสูงเท่าที่จะเป็นไปได้เพื่อให้เกิดการถ่ายเท ความร้อนได้เร็ว แต่การทำให้อุณหภูมิสูงนี้ได้มากน้อยแค่ไหนนั้น มีข้อจำกัดที่สำคัญคือ ชนิดของเชื้อเพลิงที่ใช้ ซึ่งสามารถให้อุณหภูมิที่แตกต่างกัน ซึ่งในกรณีที่มีอุณหภูมิสูงเกินไปจะทำให้เกิดข้อเสียได้เช่นกัน คือทำให้เกิดการรวมกันเป็นสารที่ไม่ต้องการได้ เช่นสารประกอบของไนโตรเจน (NO_x) หรืออาจทำให้เกิดເຄົ້າຫລອມรวมตัวเป็นຫຼັກໄລຍງ (fouling) ເກະຕິດອູ່ບຸນຜົນທີ່ເປັນເຫັນກີບທີ່ໃຊ້ໃນการถ่ายเทความร้อนເປັນເຫັນທຸກທີ່ໃຊ້ໃນการກັດກວ່ອນ

2.2.3.4 เวลาที่ใช้ในการเผาไหม้ของเชื้อเพลิงให้สมบูรณ์ เวลาที่เชื้อเพลิงอยู่ในเตาเผาระหว่างน้ำพองที่จะทำให้เกิดการเผาไหม้ได้มากที่สุด แต่การเผาไหม้ที่สมบูรณ์ โดยเชื้อเพลิงถูกเผาไหม้จนหมดเป็นลิ่งที่เป็นไปได้ยาก เพราะต้องใช้เวลานานมากและเสียค่าใช้จ่ายสูง เนื่องจากต้องใช้เตาเผาประสิทธิภาพสูง หรืออาจต้องมีระบบไหหลวเย็นของ เชื้อเพลิงกลับมาเผาไหม้ใหม่ (Recirculation system)

2.3 กระบวนการผลิตแก๊สชีวนวลด้วยใช้อากาศ (air gasification)

กระบวนการผลิตแก๊สชีวนวลด้วยการเปลี่ยนเชื้อเพลิงชีวนวลด้วยเชื้อเพลิง แก๊ส ซึ่งเกิดจากการเผาไหม้เชื้อเพลิงแข็งในที่มีอากาศจำกัด (หรือ ออกซิเจนไม่เพียงพอ) โดยความร้อนที่เกิดขึ้นนี้จะเป็นตัวเร่งปฏิกิริยาแบบต่อเนื่องกลایเป็นแก๊สชีวนวลด้วย แก๊สผลิตภัณฑ์ แก๊สชีวนวนนี้ มีองค์ประกอบหลักคือ แก๊สคาร์บอนมอนอกไซด์ (CO) แก๊สมีเทน (CH_4) และแก๊ไฮโดรเจน (H_2)

2.4 ปฏิกิริยาเคมีความร้อนของการเกิดแก๊สชีวนวลด้วยอากาศ (gasification)

กระบวนการผลิตแก๊สชีวนวลด้วยอากาศ เป็นกระบวนการเปลี่ยนเชื้อเพลิงแข็งให้อยู่ในรูปเชื้อเพลิงแก๊ส โดยการเผาไหม้ในห้องเผาไหม้ที่มีอากาศ (หรือ ออกซิเจน) ปริมาณน้อยไม่เพียงพอต่อการเผาไม้อxy่างสมบูรณ์ แต่จะเกิดความร้อนเพื่อเร่งให้เกิดปฏิกิริยา ประเภทต่างๆ ตามมา เช่น ปฏิกิริยาริดักชัน (reduction) ไฟโรไรซิส (pyrolysis) และการอบแห้ง (drying) ขึ้น โดยจะแยกเป็นโซนของปฏิกิริยาต่างๆ ได้ดังนี้

2.4.1 โซนการเผาไหม้ (combustion zone)

โซนการเผาไหม้ บางทีอาจเรียกว่า โซนออกซิเดชัน (oxidation zone) อากาศจะถูกส่งผ่านเข้ามาในบริเวณนี้ และสัมผัสถกันเชื้อเพลิงทำให้เกิดปฏิกิริยาเคมีระหว่างแก๊สออกซิเจนในอากาศกับคาร์บอน และไฮโดรเจนในเชื้อเพลิง ทำให้เกิดแก๊สคาร์บอนไดออกไซด์และน้ำดังสมการ



ปฏิกิริยา (2.6) และ (2.7) เป็นปฏิกิริยาสายความร้อน และความร้อนที่เกิดขึ้นในโซนนี้จะถูกนำไปใช้ในปฏิกิริยาแบบดูดความร้อน ในโซนริดักชัน และโซนการกลั่นสลายต่อไป อุณหภูมิในโซนการเผาไหม้จะอยู่ระหว่าง $1100-1500^{\circ}C$

2.4.2 โซนรีดักชั่น (reduction zone)

เมื่ออากาศผ่านเข้าสู่โซนการเผาไหม้ และทำปฏิกิริยากับคาร์บอนและไฮโดรเจน ได้แก๊ส คาร์บอนไดออกไซด์และน้ำแล้ว ก็จะเหลือผ่านสู่โซนรีดักชั่น ดังนั้นปฏิกิริยาหลักในโซนนี้จะเป็นปฏิกิริยาแบบปฏิกิริยาดูดความร้อน (reduction reaction) อุณหภูมิโซนนี้จะอยู่ระหว่าง $500\text{--}900^{\circ}\text{C}$ โซนการเผาไหม้นี้จะเปลี่ยนบางส่วนของแก๊สที่เผาไหม้ไม่ได้ (คาร์บอนไดออกไซด์และน้ำ) ให้เป็นแก๊สที่สามารถเผาไหม้ได้ โดยที่ แก๊สคาร์บอนไดออกไซด์และไอน้ำที่เกิดขึ้นเหลือผ่านคาร์บอนที่กำลังลุกไหม้ออยู่ จะได้แก๊ส คาร์บอนมอนอกไซด์ และแก๊สไฮโดรเจน ดังสมการต่อไป



ปฏิกิริยา (2.8) เรียกว่า boudouard reaction และปฏิกิริยา (2.9) เรียกว่า water gas reaction เป็นปฏิกิริยาแบบดูดความร้อน เกิดขึ้นที่อุณหภูมิ 900°C และแก๊สที่ได้จาก 2 ปฏิกิริยานี้เป็นแก๊สที่สามารถเผาไหม้ได้ซึ่งเป็นองค์ประกอบ หลักในแก๊สผสมที่ได้จากการเผาผลิตแก๊ส แก๊สหลักนี้คือแก๊สคาร์บอนมอนอกไซด์ ซึ่งในหลักการแล้วความมีไฟ มากที่สุดเท่าที่จะทำได้

ปริมาณของแก๊สคาร์บอนมอนอกไซด์ในแก๊สชีวนะนี้ขึ้นอยู่กับว่าแก๊สคาร์บอนไดออกไซด์สามารถเปลี่ยนเป็น แก๊สคาร์บอนมอนอกไซด์ได้มากแค่ไหนในโซนรีดักชั่น การเปลี่ยนแปลงนี้จะขึ้นอยู่กับความเร็วระหว่าง แก๊สกับเชื้อเพลิงแข็ง และพื้นที่ที่แก๊สสัมผัส ดังนั้นขนาดของเชื้อเพลิงที่ใส่ในเตาผลิตแก๊สจึงมีผลต่อการเกิดแก๊สเชื้อเพลิง กล่าวคือ ถ้าขนาดของเชื้อเพลิงใหญ่เกินไปอตราส่วนระหว่างพื้นที่ผิวต่อปริมาตรจะมีค่าต่ำ เมื่อจะทำการจุดเตาจะยากกว่า ปกติ และช่องว่างระหว่างชั้นของเชื้อเพลิงมีขนาดใหญ่มากเกินไปทำให้เกิดช่องว่างมาก แก๊สออกซิเจนบางส่วนจะเหลือผ่าน บริเวณช่องว่างระหว่างเชื้อเพลิงนี้โดยไม่สัมผัสกับเชื้อเพลิง เป็นผลให้ปฏิกิริยาเคมีเกิดน้อยลง ทำให้ประสิทธิภาพในการผลิตแก๊สต่ำ แต่ถ้าขนาดของเชื้อเพลิงเล็กเกินไป จะเกิดความดันสูญเสียในเตามาก จึงต้องใช้พัดลมขนาดใหญ่ ทำให้สิ้นเปลืองพลังงานในการขับพัดลม และแก๊สที่ผลิตได้ก็จะมีผุนมากกว่าปกติ นอกจากนี้การใช้เชื้อเพลิงที่ชื้น เล็กเกินไปทำให้เกิดไฟไหม้ได้ยาก ชั้นในตัวเตาผลิตแก๊สเชื้อเพลิง อาจกระแทกหักหักตามไฟฟ้า

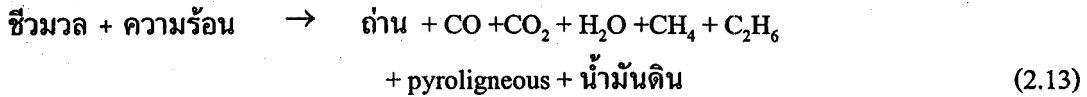
เหล่านี้อย่างรวดเร็ว ดังนั้นอาการที่ให้เหลื่อมตามโพรงนี้จึงไม่ค่อยทำปฏิกิริยากับเชื้อเพลิงซึ่งเป็นต้นเหตุให้แก๊สที่ได้มีคุณภาพต่ำลง

จากปฏิกิริยา (2.8) ถ้าอุณหภูมิในโซนรีดักชั่นสูงกว่า 900°C และแก๊สคาร์บอนไดออกไซด์ จะสามารถเปลี่ยนเป็น แก๊สคาร์บอนมอนอกไซด์ได้ประมาณ 90% และถ้าอุณหภูมิสูงกว่า $1,100^{\circ}\text{C}$ และแก๊สคาร์บอนไดออกไซด์ จะเปลี่ยน เป็นแก๊สคาร์บอนมอนอกไซด์หมด ดังนั้นประสิทธิภาพของเตาผลิตแก๊สจะเพิ่มขึ้นตามอุณหภูมิของโซนรีดักชั่นในเตาผลิตแก๊ส

เมื่อแก๊สอุณหภูมิสูงจากโซนการเผาไหม้เหล็กซูชันนี อุณหภูมิจะลดลงเนื่องจากปฏิกิริยาแบบดูดความร้อนในปฏิกิริยา (2.8) และ (2.9) ปฏิกิริยาไอน้ำกับคาร์บอนเพื่อที่จะผลิตแก๊สไฮโดรเจนและแก๊สคาร์บอนไดออกไซด์ในปฏิกิริยา (2.10) โดยเกิดขึ้นที่อุณหภูมิต่ำ คือประมาณ $500-600^{\circ}\text{C}$ ปฏิกิริยานี้มีความสำคัญ เพราะทำให้ส่วนผสมของไฮโดรเจน ในแก๊สมีมากขึ้น ซึ่งมีผลทำให้แก๊สมีค่าพลังงานความร้อนสูงขึ้น แต่ถ้ามีไอน้ำมากเกินไป ไอน้ำอาจทำปฏิกิริยา กับแก๊สคาร์บอนอนออกไซด์ ทำให้เกิดแก๊สคาร์บอนไดออกไซด์และแก๊สไฮโดรเจนตามปฏิกิริยา (2.11) ปฏิกิริยานี้เรียกว่า water shift reaction ทำให้เกิดความร้อนของแก๊สที่ได้ลดลง ดังนั้นจึงจำเป็นอย่างยิ่งที่จะต้องระมัดระวังเกี่ยวกับความชื้น ของเชื้อเพลิงที่จะเข้าเตาผลิตแก๊ส ส่วนใหญ่แก๊สไฮโดรเจนที่เกิดขึ้นในโซนริดักชั่นนี้จะยังคงเป็นรูปไฮโดรเจน แต่ถ้ายังไร้กําตาม บางส่วนของไฮโดรเจน ก็จะทำปฏิกิริยากับคาร์บอนทำให้เกิดแก๊สมีเทนได้เล็กน้อยดังในปฏิกิริยา (2.12) ที่เรียกว่า การผลิตมีเทน (methane production)

2.4.3 โซนการกลั่นสลาย (pyrolysis zone)

ในโซนนี้จะได้รับความร้อนจากโซนรีดกัชั่น เพื่อที่จะสลายสาร อินทรีย์ในเชื้อเพลิง ทำให้ได้ เมทา นอล กรดน้ำส้ม และน้ำมันดิน (tar) อุณหภูมิในโซนนี้จะประมาณ $200-500^{\circ}\text{C}$ ของแข็งที่เหลืออยู่หลังจาก ผ่านกระบวนการนี้แล้วคือ คาร์บอนในรูปของถ่าน ซึ่งจะไปทำปฏิกิริยาต่อในโซนรีดกัชั่น และโซนการเผา ใหม่ ปฏิกิริยาที่เกิดขึ้นในโซนนี้สามารถเขียนได้ดังนี้



2.4.4 โซนการอบแห้ง (Drying zone)

ในบริเวณโซนนี้อุณหภูมิไม่สูงพอที่จะทำให้เกิดการสลายตัวของสารระเหย เชือเพลิงจะถูกความร้อนทำให้ระเหยออกมากในรูปของไอน้ำ โซนนี้จะเกิดขึ้นที่อุณหภูมิประมาณ $100\text{--}200^{\circ}\text{C}$ ดังสมการต่อไปนี้



2.5 ชนิดของเตาผลิตแก๊สชีวมวล

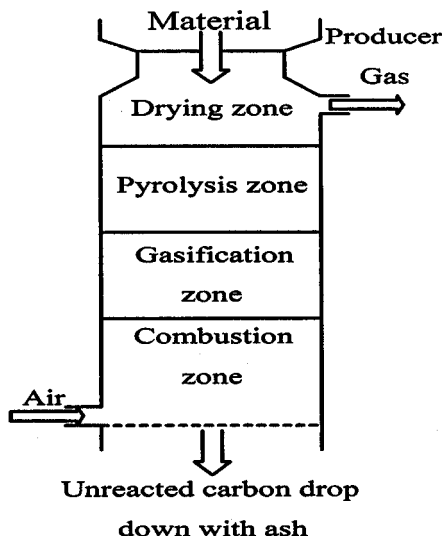
เตาผลิตแก๊สชีวมวล (gasifier) สามารถจำแนกได้หลายวิธีด้วยกัน แต่โดยปกติแล้วชนิดของเตาจะจำแนกตามลักษณะการให้พลังงาน ภาคผ่านเตา ซึ่งสามารถแบ่งออกได้เป็น 5 ชนิดคือ

2.5.1 เตาผลิตแก๊สชีวมวลแบบอากาศไหหลั่น (updraft gasifier)

เป็นเตาผลิตแก๊สชีวมวลที่ใช้ตั้งแต่เริ่มแรก และเป็นแบบที่ง่ายที่สุด มีลักษณะดังรูปที่ 2.1 เชือเพลิงจะถูกป้อนเข้าทางส่วนบนของเตา ภาคจะถูกดูดผ่านตะแกรง เข้ามาทางด้านล่าง บริเวณเหนือตะแกรงขึ้นไปจะมีการเผาไหม้ของเชือเพลิงเกิดขึ้น บริเวณนี้เรียกว่าโซนการเผาไหม้ เมื่อภาคผ่านเข้าไปในโซนการเผาไหม้ จะเกิดปฏิกิริยาขึ้นได้ ได้แก่สการ์บอนไดออกไซด์และน้ำ แก๊สที่ผ่านออกจากการโซนการเผาไหม้ จะมีอุณหภูมิสูงและเมื่อเข้าไปในโซนรีดักชัน แก๊สคาร์บอนไดออกไซด์และไอน้ำทำปฏิกิริยากับแก๊สคาร์บอนที่มีอยู่อย่างเหลือเฟือ ในบริเวณนี้ได้แก๊สคาร์บอนมอนอกไซด์และไอก๊อตเจน หลังจากนั้นแก๊สที่ได้จะไหล เข้าสู่บริเวณที่มีอุณหภูมิต่ำกว่าในชั้นชีวมวล และก้อนสลายในช่วงอุณหภูมิ $200\text{--}500^{\circ}\text{C}$ ต่อจากนั้นแก๊สที่ยังคงมีอุณหภูมิสูง จะไหลเข้าสู่ชั้นชีวมวลชั้น และระเหยน้ำที่อยู่ในชีวมวลเหล่านี้จึงทำให้แก๊สที่ออกจากเตาไม่มีอุณหภูมิต่ำลง

ข้อดี ของเตาผลิตแก๊สชีวมวลแบบอากาศไหหลั่นนี้ คือส่วนประกอบไม่ซับซ้อน เชือเพลิงเผาไหม้ได้มากและแก๊สที่ออกมานานาจกเครื่องจะมีอุณหภูมิไม่สูง

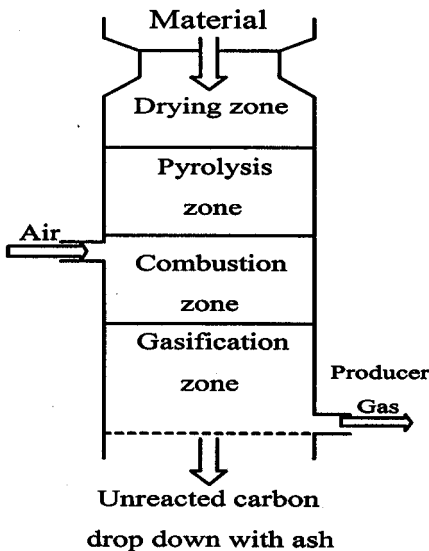
ข้อเสีย ที่สำคัญของเตาผลิตแก๊สชีวมวลแบบอากาศไหหลั่น คือแก๊สที่ผลิตได้จะมีคุณภาพต่ำเนื่องจากมีน้ำมันดินและเขม่า ปะปนอยู่เป็นจำนวนมาก



รูปที่ 2.1 ลักษณะเตาเผาเชื้อเพลิงแก๊สชีวมวลแบบอากาศไหลลง

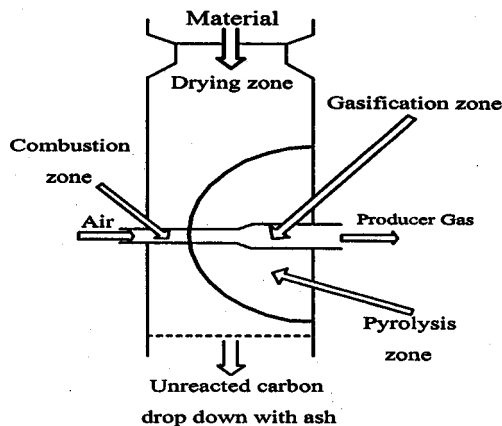
2.5.2 เตาผลิตแก๊สชีวมวลแบบอากาศไหลลง (downdraft gasifier)

เตาชนิดนี้ถูกออกแบบมาเพื่อชัดปัญหา น้ำมันดินในแก๊สชีวมวล ซึ่งพบมากในเตาผลิตแก๊สชีวมวลแบบอากาศไหลขึ้นโดยเฉพาะ ลักษณะของเตาผลิตแก๊ส ชีวมวลแบบอากาศไหลลงแสดงดังรูปที่ 2.2 อากาศจะถูกดูดผ่านจากด้านบนลงสู่ด้านล่างโดยผ่านกลุ่มของหัวฉีด (nozzle) บริเวณหัวฉีดจะเป็นบริเวณโซนการเผาไหม้ แก๊สที่ได้จากการเผาไหม้จะถูกกรีดวิช (reduce) ในขณะที่ไหล ลงสู่ด้านล่างผ่านชั้นของคาร์บอนที่ร้อนอยู่เหนือตะแกรงเล็กน้อย ในขณะเดียวกันชั้นของชีวมวลที่อยู่ทางด้านบน ของโซนการเผาไหม้จะเกิดการกลับกลิ้นอย่างต่อเนื่อง และจะไหลผ่านชั้นของคาร์บอนที่ร้อนทำให้น้ำมันดินเกิดการแตกตัวเป็นแก๊ส แก๊สที่ผ่านโซนการเผาไหม้ในเตาผลิตแก๊สชีวมวลแบบอากาศไหลลง จะมีส่วนประกอบของน้ำมันดินและน้ำมันลดลงจนเหลือน้อยกว่า 10 % ของน้ำมันดินและน้ำมันที่ได้จากเตาผลิตแก๊สชีวมวลแบบอากาศไหลขึ้น ดังนั้นแก๊สชีวมวล ที่ได้จากเตาผลิตแก๊สชีวมวลแบบอากาศไหลลง จึงสะอาดกว่าแก๊สเชื้อเพลิงที่ได้จากเตาผลิตแก๊สชีวมวลแบบอากาศไหลขึ้น



รูปที่ 2.2 ลักษณะเตาเผาเชื้อเพลิงแก๊สชีวมวลแบบอากาศไหลลง

2.5.3 เตาผลิตแก๊สชีวมวลแบบอากาศไหลตามขวา (crossdraft gasifier)



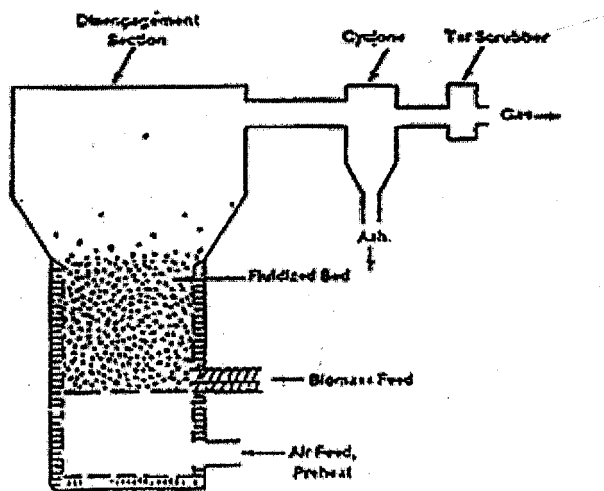
รูปที่ 2.3 ลักษณะเตาเผาเชื้อเพลิงแก๊สชีวมวลแบบอากาศไหลตามขวา

เตาเผานิดนี้มีลักษณะดังรูปที่ 2.3 อากาศจะถูกดูดผ่านหัวฉีดซึ่งอยู่ในแนวราบ ใชนการเผาใหม่ จะยุ่งดัด จากหัวฉีดออกไป และถัดออกไปอีกจะเป็น โซนรีดักชั่น แก๊สที่ออกจากโซนรีดักชั่นแล้วจะออกสู่ ภายนอกโดยผ่านตะแกรงซึ่งอยู่ในแนวตั้ง รอบ ๆ โซนการเผาใหม่ และโซนรีดักชั่นจะเป็นบริเวณใชนการ กลั่นสลาย น้ำมันและน้ำมันดิบที่ได้จากโซนการกลั่นสลายนี้จะผ่านโซนรีดักชั่น ก่อนที่จะออกสู่ภายนอก ทำ

ให้ก้ามันและน้ำมันดินเกิดการแตกตัวเป็นแก๊สก่อนที่จะออกสู่ภายนอก ทำให้แก๊สเชื้อเพลิง ที่ได้มีปริมาณน้ำมันและน้ำมันดินต่ำ

2.5.4 เตาเผาแก๊สชีวมวลแบบฟูลอดิดไซซ์เบด (Fluidized bed gasifier)

เตาเผาแก๊สชีวมวลที่ได้กล่าวมาแล้วทั้ง 3 แบบข้างต้น การทำงานขึ้นอยู่กับคุณสมบัติทางเคมีและทางพิสิกส์ของเชื้อเพลิงเป็นอย่างมาก ซึ่งปัญหาที่มักพบบ่อย ๆ คือ ชี้โลหะ (slag) และ ความดันตกคร่อมมากเกินไปเมื่อแก๊สผ่านเตาเพื่อแก๊สழหาดังกล่าว จึงมีการพัฒนาเตาเผาแก๊สชีวมวล แบบฟูลอดิดไซซ์เบด (ดังแสดงในรูปที่ 2.4) เตาเผาแก๊สชีวมวลแบบฟูลอดิดไซซ์เบดนี้อาการจะถูกดูดผ่านชั้นของเชื้อเพลิง เมื่อเพิ่มความเร็วของอากาศขึ้นถึงค่าหนึ่ง ชั้นเชื้อเพลิงที่วางอยู่จะเริ่มลอยตัวขึ้นมีลักษณะคล้ายของไอล์ ในตอนเริ่มติดเตานั้น เบดจะได้รับความร้อนจากภายนอกจนอุณหภูมิสูงขึ้นถึงจุดติดไฟของเชื้อเพลิง หลังจากนั้นเชื้อเพลิงจะถูกป้อนเข้าไปอย่างสม่ำเสมอการเผาไหม้จึงเกิดขึ้นทั่วทั้งบริเวณเตา โดยปกติภายในเตาเผาแบบฟูลอดิดไซซ์เบดจะใส่สารเรื้อย อาทิ เช่น ราย หรือ reaction material (หินปูนหรือตัวเร่งปฏิกิริยา) ซึ่งช่วยในการถ่ายเทความร้อนและช่วยทำความสะอาดแก๊ส



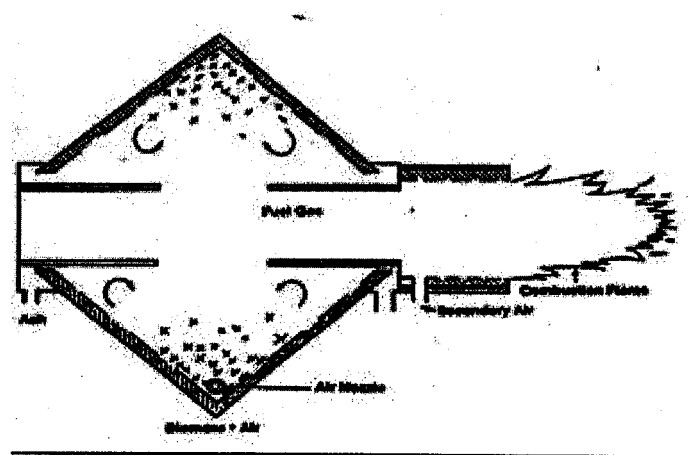
รูปที่ 2.4 ลักษณะเตาเผาเชื้อเพลิงแก๊สชีวมวลระบบฟูลอดิดไซซ์เบด

ข้อได้เปรียบที่สำคัญของเตาชนิดนี้ คือ การควบคุมอุณหภูมิในเตาเผาแบบแก๊สแบบนี้ทำได้ง่าย จึงรักษาอุณหภูมิให้ต่ำกว่าจุดหลอม เหลวของเตา ทำให้ไม่เกิดการจับตัวของชี้โลหะ ดังนั้นเตาชนิดนี้สามารถใช้เชื้อเพลิงที่มีถ่านมาก ซึ่งถ่านนำไปใช้ใน เตาเผาแก๊สแบบอื่นอาจเกิดปัญหามาก ข้อเสียของเตาเผาแก๊สชนิดนี้ คือในแก๊สเชื้อเพลิงที่ออกจากการเผาจะมีปริมาณแก๊สและฝุ่นออกมาก เนื่องจากความเร็ว ของอากาศ

ภายในเตาสูงจึงต้องแยกออกโดยใช้เครื่องดักฝุ่น หรือ ถุงดักฝุ่น (cyclone หรือ baghouse) และยังไม่สามารถปรับตัว ให้ตอบสนองกับภาระ (load) ที่เปลี่ยนไปได้ดีนัก การควบคุมการทำงานของเตาค่อนข้างลำบาก ระบบการทำงานยุ่งยากซับซ้อน อีกทั้งมีราคาแพง ดังนั้นจึงเหมาะสมที่จะใช้กับระบบขนาดใหญ่เท่านั้น

2.5.5 เตาแบบ suspended gasifier

การเผาไหม้ในเตาแบบนี้จะมีลักษณะแขวนลอย (suspended) โดยที่จะใช้ถ่านเป็นเชื้อเพลิงในการผลิตแก๊ส ภายในเตาเผาจะใช้หลักการหมุนเวียนของอากาศในลักษณะแขวนลอยเพื่อที่จะให้แก๊สและเชื้อเพลิงแข็งมีโอกาสสัมผัสให้มากที่สุด เพื่อทำให้ การเผาไหม้สมบูรณ์มากยิ่งขึ้น เชื้อเพลิงที่มีขนาดเล็กได้เกิด ชีวภาพ สามารถนำมาใช้เป็นเชื้อเพลิงใน เตาเผานี้ได้ แสดงดังรูปที่ 2.5



รูปที่ 2.5 เตา gasifier แบบ suspended

บทที่ 3

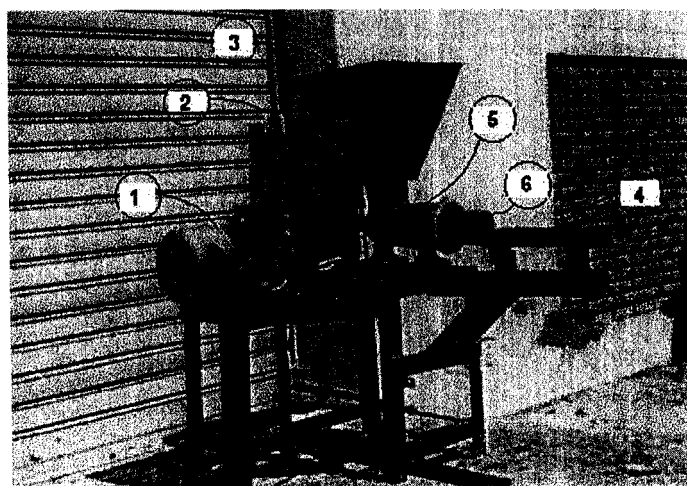
วิธีการและเครื่องมือในการดำเนินการวิจัย

ในงานวิจัยนี้ สามารถแยกการดำเนินการวิจัยแบ่งออกเป็น 2 ขั้นตอนใหญ่ ๆ คือ (1) ขั้นตอนของการเตรียมฟางก่อน ศึกษาตัวแปรต่าง ๆ ในการอัดฟาง เพื่อเพิ่มความหนาแน่น (bulk density) ให้กับ เชื้อเพลิง โดยสร้างเครื่องอัดฟาง และ ได้ทดสอบผลการอัด (2) การศึกษาการผลิตแก๊สผลิตภัณฑ์จากฟาง ที่อัดได้ โดยได้ออกแบบ สร้างเตาผลิตแก๊ส (gasifier) และทดสอบผลการผลิตแก๊ส

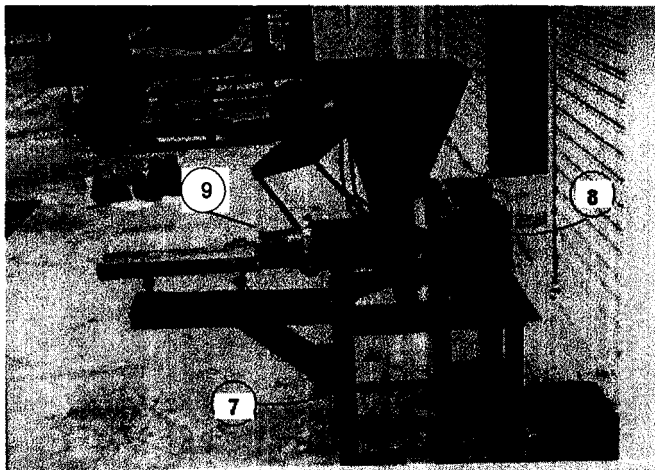
3.1 การเตรียมฟางก่อนก่อนผลิตแก๊สชีมวล

ก่อนทำการผลิตแก๊สชีมวล จะเป็นต้องมีการเตรียมฟางข้าวเพื่อให้มีลักษณะเหมาะสมในการ ผลิตแก๊สชีมวล เพื่อการเกิดแก๊สที่มากและต่อเนื่องที่สุด เนื่องจากฟางข้าวที่ยังไม่ผ่านกระบวนการอัด ก่อน นั้นจะมีความหนาแน่น หรือ bulk density ต่ำมาก ไม่เหมาะสมอย่างยิ่งในการนำมาเป็นวัตถุดินในการ ผลิตแก๊สชีมวลโดยไม่อัดแน่นเสียก่อน ดังนั้นจำเป็นต้องเพิ่ม bulk density โดยการอัดเป็นก้อนโดยใช้ เครื่องอัดฟางดังรูปที่ 3.1 ซึ่งได้ถูกออกแบบและสร้าง โดยคณะผู้วิจัยตามงบประมาณที่พึงมี เครื่องนี้ใช้ชื่อ ว่า (Rice Straw Packer Mechanical Engineering 1 หรือ RSP-ME1) โดยมีรายละเอียดของกรอบแบบ และแบบของเครื่องอัดฟางนี้ ดังแสดงใน ภาคผนวก ก โดยมีส่วนประกอบหลัก ๆ ของเครื่องอัด เชื้อเพลิงชีมวล ดังนี้

3.1.1 ส่วนประกอบเครื่องอัดฟาง RSP-ME1



(ก) ภาพด้านหน้า RSP-ME1



(ข) ภาพด้านข้าง RSP-ME1

รูปที่ 3.1 ส่วนประกอบหลักของเครื่องอัดฟาง RSP-ME1

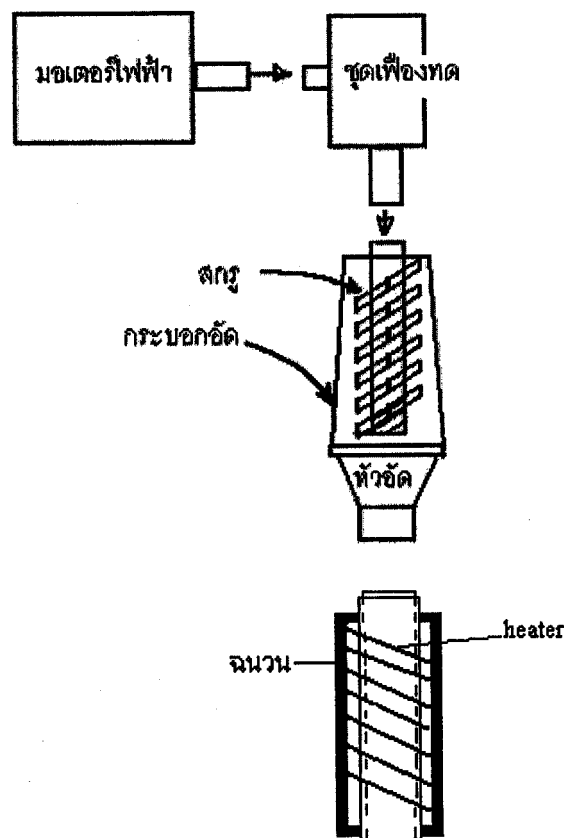
โดยมีรายละเอียดของอุปกรณ์ดังต่อไปนี้ คือ

- ส่วนที่ 1 คือ มอเตอร์ ใช้มอเตอร์ขนาด 1.5 แรงม้า ความเร็วรอบ 1450 รอบต่อนาที
- ส่วนที่ 2 คือ สวิตซ์ เปิด-ปิด เครื่อง
- ส่วนที่ 3 คือ ถาดป้อนฟาง
- ส่วนที่ 4 คือ รางรองห่อฟางที่ผ่านการอัด
- ส่วนที่ 5 คือ ระบบอัด
- ส่วนที่ 6 คือ หัวอัด
- ส่วนที่ 7 คือ โครงสร้างเครื่อง
- ส่วนที่ 8 คือ ชุดเฟืองทด อัตราทด 1:20
- ส่วนที่ 9 คือ ชุดควบความร้อน (heater)

3.1.2 หลักการทำงานของเครื่องอัดฟาง

รูปที่ 3.2 แสดงการทำงานของเครื่องอัดฟาง โดยเครื่องอัดฟางจะอาศัยกำลังจากมอเตอร์ไฟฟ้า ส่งกำลังผ่านชุดเฟืองทด ไปยังสกรู และสกรูจะเป็นตัวป้อน หรือ ผลักดัน ฟางเข้าระบบอัดฟางซึ่งเป็น การส่งกำลังอย่างต่อเนื่อง และอัดตัวบริเวณหัวอัดที่มีลักษณะเรียวลง (taper) ทำให้ฟางถูกลดปริมาตร ทันทีทันใด ฟางจะถูกอัดผ่านหัวอัดเป็นทรงกระบอก ซึ่งมีชุดควบความร้อนเป็นตัวช่วยทำให้ฟางแห้งลง และประสานให้เกาตัวกันแน่นขึ้น ไม่คล้ายตัวเมื่อผ่านออกจากการแห้งอัดแล้ว เมื่อได้แห้งเชื้อเพลิงตาม ความยาวที่ต้องการจึงตัดแล้วนำไปตากแดดให้แห้ง มอเตอร์ที่ใช้เป็นตัวตันกำลัง จะมีขนาดมอเตอร์ 1.5

แรงว้า ทำงานที่ความเร็วรอบมอเตอร์ 1,450 รอบต่อนาที เมื่อมอเตอร์ส่งกำลังให้กับสกรู ความเร็วรอบของมอเตอร์จะถูกลดอัตราเร็วโดยเพียงทดอัตรา 1:20 ซึ่งความเร็วจะลดลงเหลือ 72.5 รอบ/นาที สำหรับความยาวของแท่งเชือเพลิงที่เครื่องสามารถอัดได้จะมีความยาวของฟางตั้งแต่ 5 cm. ขึ้นไป สำหรับแท่งเชือเพลิงความยาวประมาณ 35 cm. จะใช้เวลาในการอัดตัวประมาณ 3-5 นาทีต่อแท่ง

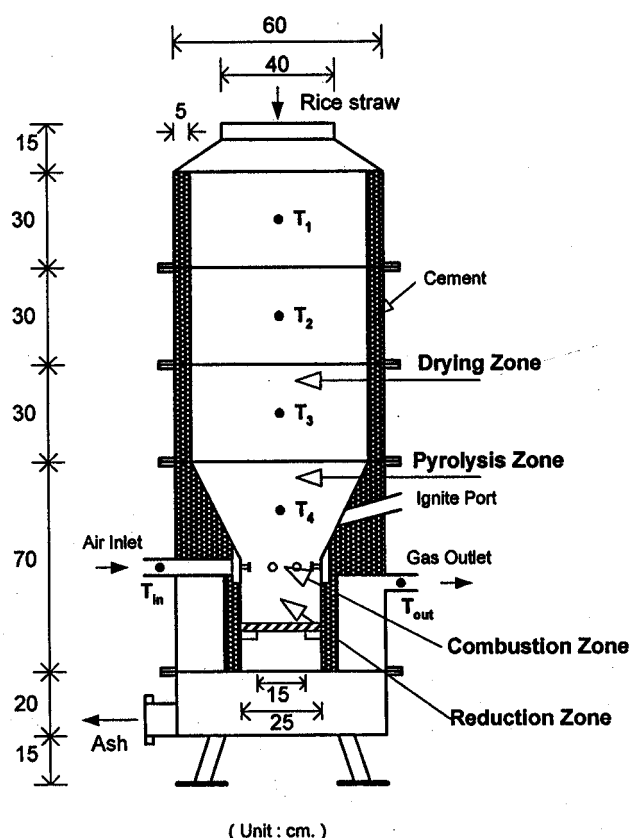


รูปที่ 3.2 การทำงานของเครื่องอัดฟาง

3.2 การผลิตแก๊สชีวมวล

ในการผลิตแก๊สชีวมวลจากฟางข้าวที่ได้ใช้เตาผลิตแก๊สชนิดไอลอง (down draft gasifier) ซึ่งได้ทำการออกแบบและสร้าง โดยคณะผู้จัด และให้ชื่อ ว่า DDG-ME2 (Down Draft Gasifier Mechanical Engineering 2) ขนาดและส่วนประกอบหลักของตัวเตา แสดงรูปที่ 3.3 ส่วนรายละเอียดในการออกแบบของตัวเตาได้แสดงไว้ในภาคผนวก ข โดยมีอุปกรณ์ที่ใช้ในการผลิตแก๊สดังนี้คือ

3.2.1 เตาผลิตแก๊สชีวมวล DDG-ME2

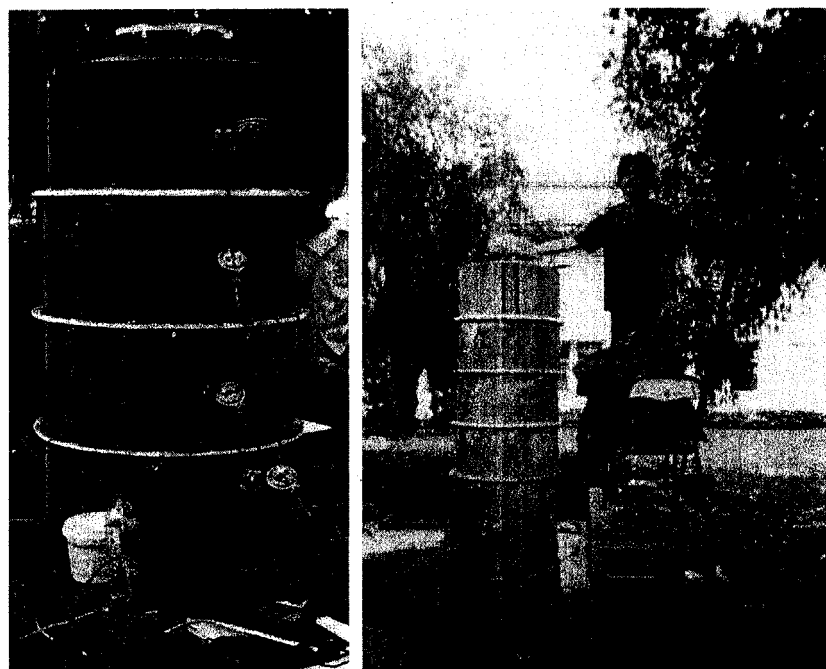


รูปที่ 3.3 ขนาดและส่วนประกอบหลักของเตาผลิตแก๊สชนิดไอลอง DDG-ME2

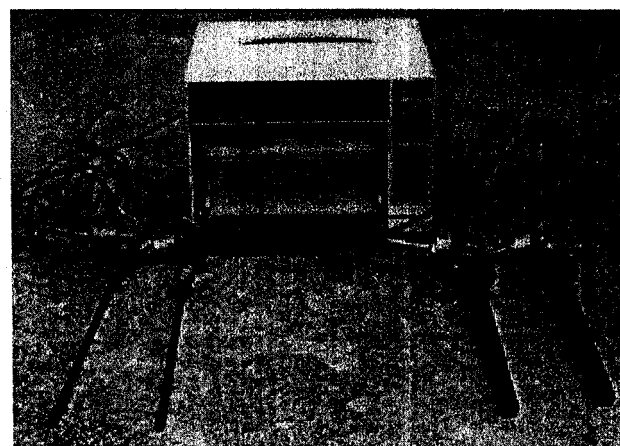
1. ตัวเตา

ตัวเตาทำด้วยเหล็กมีความหนา 2 mm. ขนาดเส้นผ่านศูนย์ภายนอก 60 cm. และมีขนาดเส้นผ่านศูนย์ภายนอก 40 cm. ภายในผนังเตา มีฉนวนทำมาจากอิฐทนไฟหนา 10 cm. เตามีความสูง 2.05 m. โดยเตา มีลักษณะเป็นชั้น ชั้น 3 ชั้นแรก สูงชั้นละ 30 cm. ภายในจะบรรจุฟางข้าว ชั้นต่อมาสูง 60 cm. เป็น

หันของห้องเผาไหม้ ภายในจะมีความสูง 40 cm. โดยอากาศที่ใช้ในการเผาไหม้ถูกจ่ายด้านข้างบริเวณด้านล่างของกรวย ท่อจ่ายอากาศมีขนาดเส้นผ่านศูนย์กลาง 3 mm. ด้านล่างดัดจากฐานกรวยมีตะแกรงกันฟางข้าวเพื่อให้เกิดปฏิกิริยา Gasification ให้มากที่สุด แก๊สชีวน้ำที่ได้จะไหลผ่านตะแกรงและไหลออกนอกตัวเตาโดยท่อขนาด 5 cm . บริเวณด้านข้างเตา (ดังแสดงในรูปที่ 3.4)



รูปที่ 3.4 ขนาดและส่วนประกอบหลักของเตาผลิตแก๊สชีวน้ำด้วยไฟลัง DDG-ME2



รูปที่ 3.5 K-type thermocouple และ data logger

2. อุปกรณ์วัดอุณหภูมิ

ในงานวิจัยนี้ ใช้ Thermocouple type k ในการทดลอง ทำหน้าที่ในการวัดอุณหภูมิตามแนวยาวของเตา (หรือ ที่ความสูงระดับต่างๆ) จำนวน 5 ตำแหน่ง ที่ T_1 , ถึง T_4 และอุณหภูมิของอากาศทางเข้าที่ T_{in} โดยแสดงผลที่ data logger (ดังแสดงในรูปที่ 3.5)

3. อุปกรณ์วัดอัตราการไหลของอากาศ

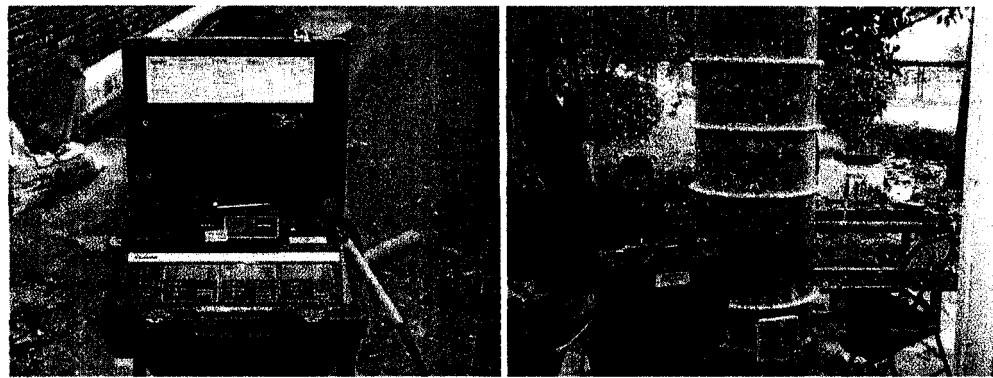
ในงานวิจัยนี้ ใช้อุปกรณ์วัดอัตราการไหลของอากาศ ชนิด hot wire, portable air flow meter ดังแสดงในรูปที่ 3.6 ทำหน้าที่วัดความเร็วของอากาศที่ห่อทางเข้าและทางออกโดยทำการวัดแบบจุด ที่ห่อทางเข้าและออกจะมีการเจาะรูเพื่อที่จะให้ Air flowmeter ได้ทำการวัดความเร็วของอากาศ พร้อมทั้งยังสามารถที่จะวัดอุณหภูมิทางเข้าของอากาศและทางออกของแก๊สได้ด้วย



รูปที่ 3.6 อุปกรณ์วัดอัตราการไหลของอากาศ

4. อุปกรณ์วัดปริมาณแก๊สไฮเสีย

ปริมาณแก๊สผลิตภัณฑ์ จะถูกวัด โดยใช้ Exhaust gas analyser (ดังแสดงในรูปที่ 3.7) ทำหน้าที่วัดปริมาณแก๊สส่วน มีแก๊สชนิดใดผลิตออกมากจากเตา DDG-ME2 บ้าง เช่น CO, CO₂, O₂ และ CH₄ อีกทั้งยังสามารถวัดอุณหภูมิของอากาศที่ตรงข้าออก (T_{out}) ได้ด้วย



รูปที่ 3.7 อุปกรณ์วัดแก๊สผลิตภัณฑ์และการติดตั้งขณะทดลอง

5. เครื่องอัดอากาศ

เครื่องอัดอากาศ (Blower) ใช้ทำหน้าที่ในการจ่ายอากาศเข้าสู่ห้องเผาไหม้มภายในเตา เป็น blower ชนิดหอยโ่ยง ได้ทำการทดลองใช้ทั้ง แบบใบพัดคู่ (twin blade) และแบบใบพัดเดี่ยว (single blade) เพื่อ อัดอากาศในปริมาณที่มากขึ้นได้ (ดังแสดงในรูปที่ 3.8)



รูปที่ 3.8 เครื่องอัดอากาศชนิดหอยโ่ยง แบบใบพัดคู่ และใบพัดเดี่ยว

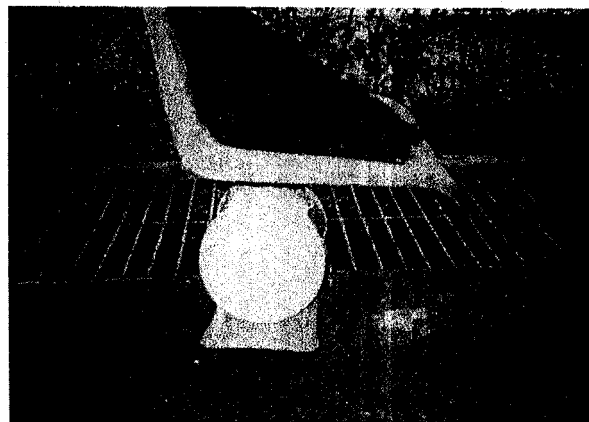
ส่วนอุปกรณ์อื่น ๆ ที่ใช้ในการทดลอง เช่น ชุดกรองแก๊สผลิตภัณฑ์ เครื่องย่อยฟาง และ ตาชั่ง แสดงในรูปที่ 3.8



ชุดกรองแก๊สผลิตภัณฑ์



เครื่องย่อยฟาง



ตาชั้ง

รูปที่ 3.9 อุปกรณ์อื่น ๆ ในการทดลอง

3.2.2 วิธีการทดลอง

1. จัดเตรียมและตรวจสอบอุปกรณ์เครื่องมือวัดต่างๆ ทั้งเทอร์โมคันบีล อุปกรณ์วัดความเร็วของอากาศแบบจุด และทำการตรวจสอบเตาโดยดูว่ามีบริเวณไหนบ้างที่มีการร้าว หรือไม่ เพื่อความพร้อม
2. ทำการวัดอุณหภูมิของสภาพแวดล้อมรอบข้างและบันทึกค่าต่างๆ
3. ทำการซึ่งน้ำหนักของฝางช้าก่อนที่จะนำฝางช้าบุรุลลงเตา
4. ทำการเปิด瓦斯ให้มีการไหลเข้าของอากาศเต็มที่เพื่อที่จะช่วยให้เกิดการจุดติดไฟของฝางช้า
5. จุดไฟโดยใช้หัวเชื้อมแก๊สเป็นตัวจุดไฟในตอนแรกที่ ignition port หลังจากนั้นทำการปรับเปลี่ยนอัตราการให้ลมของอากาศที่ต้องการทำการศึกษา
6. ปล่อยทิ้งไว้ประมาณ 5 นาทีแล้วทำการบันทึกข้อมูลต่างๆ ในตารางบันทึกผลการทดลอง และตรวจสอบว่าแก๊สที่ออกมามีการติดไฟหรือไม่ โดยการใช้ไฟล่อที่ปลายหัวแก๊สออกให้ติดไฟ และจะทำการบันทึกข้อมูลต่อจากครั้งแรกและครั้งต่อๆไป เป็นระยะเวลาที่ห่างกันครั้งละ 5 นาทีจนเชื้อเพลิงหมด
7. เก็บแก๊สผลิตภัณฑ์ ไปวิเคราะห์ หาค่าความร้อน

บทที่ 4

ผลการทดลองและวิเคราะห์

การทดลองของการวิจัยนี้ สามารถแบ่งมากทดลองออกเป็น 3 ส่วนหลักๆ โดยมีรายละเอียดของ การทดลองดังต่อไปนี้

4.1 การทดลองผลิตฟางอัดก้อน

การทดลองการอัดฟางก้อนโดยเครื่องอัดฟางก้อนนี้ เพื่อหาความสามารถของการอัดฟางก้อนของ เครื่องอัดฟาง และหาคุณลักษณะหรือสภาวะของฟางก้อนที่เหมาะสม ในกระบวนการใช้เป็นวัตถุใน การผลิตแก๊สชีวมวล ซึ่งมีผลการทดลองดังนี้

การทดลองช่วงที่ 1

4.1.1 การทดลองที่ 1

1. เตรียมฟางสำหรับนำมาอัดเป็นแท่งเชือเพลิงชีวมวล โดยใช้ฟางที่ไม่ผ่านการสับ
2. ชั่งน้ำหนัก 1000 กรัม จำนวน 3 ตัวอย่าง
3. ชั่งแป้งมัน 300 กรัม ผสมกับน้ำ 1000 กรัม คนให้เข้ากันแล้วต้มจนน้ำแป้งสุก
4. ผสมแป้งที่ต้มจนสุกเหนียวลงกับฟางที่เตรียมไว้ คลุกให้ส่วนผสมเข้ากันเติมน้ำเล็กน้อยระหว่างที่ ผสมจะช่วยให้ส่วนผสมเข้ากันได้ดีขึ้น
5. ทำเช่นเดียวกัน โดยใช้แป้ง 400 , 500 กรัม รวมเป็น 3 ตัวอย่าง
6. สังเกตการทำงานของเครื่องอัด

ตารางที่ 4.1 ตารางบันทึกผลการทดลองที่ 1 อัดฟางที่ไม่ผ่านการสับ

ลำดับที่	ฟาง (g)	แป้ง (g)	น้ำ (g)	ผง ถ่าน (g)	อัตราส่วน ฟาง:แป้ง:น้ำ:ผงถ่าน	เวลา (min)	ผลการอัด
1	1000	300	1000	-	0.43 : 0.14 : 0.43 : 0	-	อัดไม่ออก
2	1000	400	1000	-	0.42 : 0.16 : 0.42 : 0	-	อัดไม่ออก
3	1000	500	1000	-	0.40 : 0.20 : 0.40 : 0	-	อัดไม่ออก

4.1.2 การทดลองที่ 2

1. เตรียมฟางสำหรับนำมาอัดเป็นแท่งเชือเพลิงชีวนوال 1000 กรัม จำนวน 3 ตัวอย่าง โดยใช้ฟางที่ผ่านการย่อย ซึ่งน้ำหนัก 300 กรัม ผสมกับน้ำ 1000 กรัม คนให้เข้ากันแล้วต้มจนน้ำเปลี่ยนสูตร
2. ผสมเปลี่ยนสูตรที่ต้มจนสุกเหนียวลงกับฟางที่เตรียมไว้ คลุกให้ส่วนผสมเข้ากันเติมน้ำเล็กน้อยระหว่างที่ผสมจะช่วยให้ส่วนผสมเข้ากันได้ดีขึ้น
3. ทำเช่นเดียวกัน โดยใช้เปลี่ยน 300 , 400 และ 500 กรัม
4. สังเกตการทำงานของเครื่องอัด

ตารางที่ 4.2 ตารางบันทึกผลการทดลองที่ 2 อัดฟางที่ผ่านการสับ

ลำดับที่	ฟาง (g)	แป้ง (g)	น้ำ (g)	ผง ถ่าน (g)	อัตราส่วน ฟาง:แป้ง:น้ำ:ผงถ่าน	เวลา (min)	ผลการอัด
1	1000	300	1000	-	0.43 : 0.14 : 0.43 : 0	-	อัดไม่ออก
2	1000	400	1000	-	0.42 : 0.16 : 0.42 : 0	-	อัดไม่ออก
3	1000	500	1000	-	0.40 : 0.20 : 0.40 : 0	-	อัดไม่ออก

4.1.3 การทดลองที่ 3

1. เตรียมฟางสำหรับนำมาอัดเป็นแท่งเชือเพลิงชีวนوالโดยใช้ฟางที่ผ่านการย่อยและปั่นละเอียดซึ่งน้ำหนัก 1000 กรัม จำนวน 3 ตัวอย่าง
2. ซึ่งเปลี่ยน 300 กรัม ผสมกับน้ำ 1000 กรัม คนให้เข้ากันแล้วต้มจนน้ำเปลี่ยนสูตร
3. ผสมเปลี่ยนที่ต้มจนสุกเหนียวลงกับฟางที่เตรียมไว้ คลุกให้ส่วนผสมเข้ากันเติมน้ำเล็กน้อยระหว่างที่ผสมจะช่วยให้ส่วนผสมเข้ากันได้ดีขึ้น
4. ทำเช่นเดียวกัน โดยใช้เปลี่ยน 300 , 400 และ 500 กรัม
5. ทำการจับเวลาเป็นความยาวต่อเวลา(ความยาวประมาณ 10cm)
6. สังเกตการทำงานของเครื่องอัด

ตารางที่ 4.3 ตารางบันทึกผลการทดลองที่ 3 อัดฟางที่ผ่านการย่อยและปั่นละอียด

ลำดับที่	ฟาง (g)	แป้ง (g)	น้ำ (g)	ผง ถ่าน (g)	อัตราส่วน ฟาง:แป้ง:น้ำ:ผงถ่าน	เวลา (min)	ผลการอัด
1	1000	300	1000	-	0.43 : 0.14 : 0.43 : 0	-	อัดไม่ออกร้าว
2	1000	400	1000	-	0.42 : 0.16 : 0.42 : 0	32	เป็นแท่ง
3	1000	500	1000	-	0.40 : 0.20 : 0.40 : 0	20	ไม่เป็นแท่ง

4.1.4 การทดลองที่ 4

- เตรียมฟางสำหรับนำมารอัดเป็นแท่งเชือเพลิงชีวนิว โดยใช้ฟางที่ผ่านการย่อยและปั่นละอียด ชั้นน้ำหนัก 1000 กรัม จำนวน 6 ตัวอย่าง
- ชั้งแป้งมัน 400 กรัม ผสมกับน้ำ 1000 กรัม ผสมถ่านบด 200 300 400 กรัม เป็น จำนวน 3 ตัวอย่าง คนให้เข้ากันแล้วต้มจนน้ำแป้งสุก
- ผสมแป้งที่ต้มจนสุกเหนียวลงกับฟางที่เตรียมไว้ 3 ตัวอย่าง คลุกให้ส่วนผสมเข้ากันเติมน้ำเล็กน้อยระหว่างที่ผสมจะช่วยให้ส่วนผสมเข้ากันได้ดีขึ้น
- ชั้งแป้งมัน 500 กรัม ผสมกับน้ำ 1000 กรัม ผสมถ่านบด 200 300 400 กรัม เป็น จำนวน 3 ตัวอย่าง คนให้เข้ากันแล้วต้มจนน้ำแป้งสุก
- ผสมแป้งที่ต้มจนสุกเหนียวลงกับฟางที่เลือกอีก 3 ตัวอย่าง คลุกให้ส่วนผสมเข้ากันเติมน้ำเล็กน้อยระหว่างที่ผสมจะช่วยให้ส่วนผสมเข้ากันได้ดีขึ้น
- ทำการจับเวลาเป็นความยาวต่อเวลา(ความยาวประมาณ 10cm)
- บันทึกผลการทดลองในตารางที่ 4

ตารางที่ 4.4 ตารางบันทึกผลการทดลองที่ 4 ใช้ฟางที่ผ่านการย่อยและปั่นละอียด

ลำดับที่	ฟาง (g)	แป้ง (g)	น้ำ (g)	ผง ถ่าน (g)	อัตราส่วน ฟาง : แป้ง : น้ำ : ผงถ่าน	เวลา (sec)	ผลการอัด
1	1000	400	1000	200	0.38 : 0.16 : 0.38 : 0.08	-	อัดไม่ออก
2	1000	400	1000	300	0.37 : 0.14 : 0.37 : 0.12	-	ไม่เป็นแท่ง
3	1000	400	1000	400	0.36 : 0.14 : 0.36 : 0.14	70	เป็นแท่ง
4	1000	500	1000	200	0.37 : 0.18 : 0.37 : 0.08	-	ไม่เป็นแท่ง
5	1000	500	1000	300	0.36 : 0.18 : 0.36 : 0.1	54	เป็นแท่ง
6	1000	500	1000	400	0.34 : 0.18 : 0.34 : 0.14	36	เป็นแท่ง

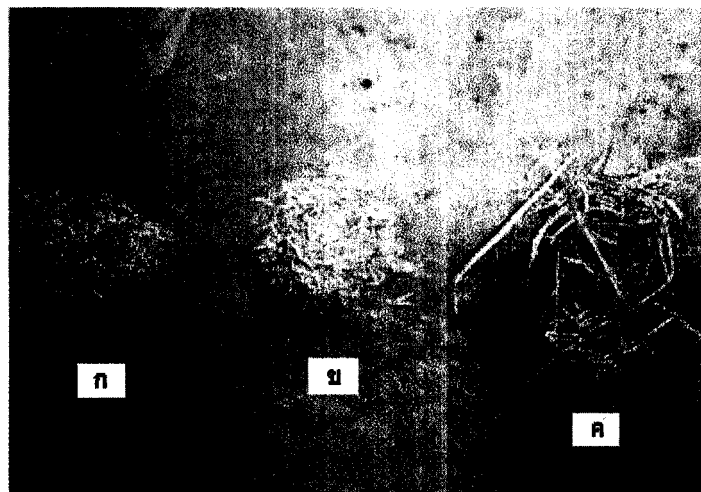
หมายเหตุ

ตารางบันทึกผลการทดลองที่ 1 ใช้ฟางที่ไม่ผ่านการย่อยดังภาพที่ 4.1ค.

ตารางบันทึกผลการทดลองที่ 2 ใช้ฟางที่ผ่านการย่อยดังภาพที่ 4.1ข.

ตารางบันทึกผลการทดลองที่ 3 ใช้ฟางที่ผ่านการย่อยและปั่นละอียดดังรูปที่ 4.1ก.

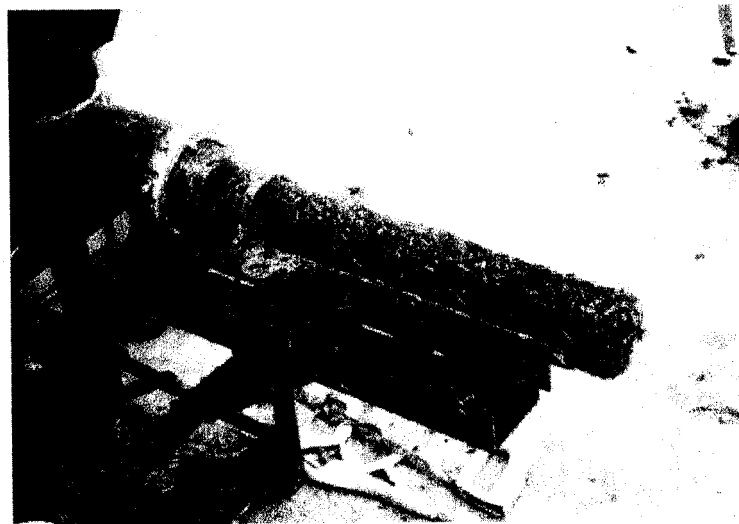
ตารางบันทึกผลการทดลองที่ 4 ใช้ฟางที่ผ่านการย่อยและปั่นละอียดดังรูปที่ 4.1ก.



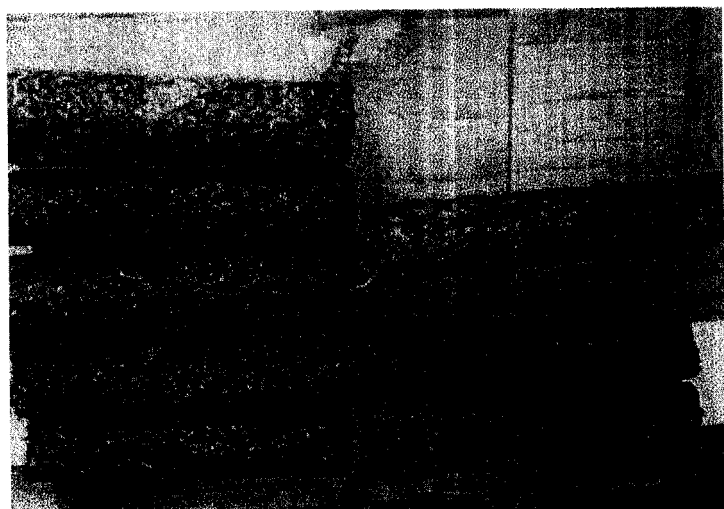
รูปที่ 4.1 เปรียบเทียบขนาดของฟาง

ก = ฟางที่ผ่านการย่อยและปั่นละเอียด ข = ฟางที่ผ่านการย่อย ค = ฟางที่ไม่ผ่านการย่อย

จากการทดลองทั้ง 4 การทดลองใช้ฟางที่มีลักษณะต่างกันคือ ใช้ฟางไม่สับ ฟางสับ ฟางสับละเอียด จะมีลักษณะที่คล้ายกันคือทดลองสามครั้ง คือ โดยเพิ่มน้ำแป้งขึ้นตามลำดับลักษณะของฟางที่ไม่สับ ผลการทดลองที่ 1 อัดไม่อุกด้วยหินได้ว่าลักษณะฟางที่ไม่สับจะมีแรงเสียดทานมากและฟางไม่สับการยูบตัวน้อยทำให้อัดไม่ออ ก ผลการทดลองที่ 2 โดยใช้ฟางสับซึ่งการทดลองคล้ายกับการทดลองแรกซึ่งจะเพิ่มค่าของแป้งขึ้นตามลำดับการทดลองนี้ให้ผลเหมือนเดิมคืออัดไม่อุกด้วยหินจากการวิเคราะห์ จะเห็นได้ว่าลักษณะของฟางที่ถูกอัดทำให้ของเหลวคือการแป้งที่ไหลออกมาก ทำให้อัดไม่อุกด้วยหินในกระบวนการอัดมาก การทดลองที่ 3 ทำการทดลองเหมือนเดิมกับการทดลองครั้งแรกแต่ฟางที่ใช้เป็นฟางสับละเอียด ผลที่ได้จากการทดลองที่คือ ลำดับที่ 2 อัดออกเป็นแท่ง การวิเคราะห์จะเห็นได้ว่าฟางที่ใช้มีลักษณะที่ละเอียดและการเรียงตัวของฟางสับละเอียดนั้นสามารถเรียงตัวกันทำให้อัดออก ลักษณะที่สังเกตคือการแป้งจะถูกเรียกต่อไปตามรอยต่อของกระบวนการอัดและอึกส่วนหนึ่งจะออกตามลักษณะของฟาง ผลที่ได้จากการทดลองที่ 4 จึงสังเกตเห็นว่าลักษณะของก้อนฟางไม่เป็นแท่งเนื่องจาก การแป้งมาก การทดลองครั้งที่ 4 นั้นเป็นการทดลองนำค่าที่อัดออกเป็นแท่งในการทดลองครั้งที่ 3 มาทดลองซึ่งจะเห็นได้ว่าทำการทดลองทำ 6 ลำดับด้วยกันซึ่งในลำดับที่ 3 5 6 ลักษณะของก้อนฟางมีลักษณะเป็นแท่ง จะเห็นว่าส่วนผสมนั้นมีการจับตัวกันดีและการใช้เวลาในการอัดนั้นต่างกัน เพราะผสมที่ต่างกัน รูปที่ 4.2 แสดงการทำงานของเครื่องอัดฟาง และ ฟางแท่งที่ได้



(ก) พ่างแท่งขณะถูกอัดออกมานาฬิกเครื่องขัดฟาง RSP-ME1



(ข) พ่างแท่งเมื่อแห้งแล้ว

รูปที่ 4.2 แสดงการทำงานของเครื่องอัดฟาง และ พ่างแท่งที่ได้

การทดลองช่วงที่ 2

จากการทดลองช่วงที่ 1ได้ทำการทดลองที่มีส่วนผสมของ ฟาง :แป้งกา:ผงถ่าน โดยแบ่งชนิดของฟางเป็น ฟางหยาบ ฟางลับ ฟางป่นละเอียด ในการทดลองต่อไปนี้เป็นการทดลองที่ใช้ฟางลับ เพียงอย่างเดียว แต่เพิ่มรำข้าวไปในส่วนผสม

4.1.5 การทดลองที่ 5

1. เตรียมส่วนผสมสำหรับนำมาอัดเป็นแท่งเชือเพลิงชีวนวลด้วยใช้ฟางผ่านการย่อย รำข้าว และถ่านบดละเอียด
2. เตรียมการแป้ง การแป้งเปียกได้จากการต้มส่วนผสมระหว่างน้ำกับแป้งมัน ซึ่งจะใช้ระยะเวลาในการต้มประมาณ 10 นาที เนื่องให้แป้งมีลักษณะเหนียวข้นและใสจากนั้นจึงนำกาวเทลงผสมกับฟางที่เตรียมไว้ในถังผสม
3. นำส่วนผสมที่เตรียมไว้ทั้งหมด คลุกเคล้าส่วนผสมให้เข้ากัน
4. ทำการจับเวลาเป็นความยาวต่อเวลา(ความยาวประมาณ40cm)
5. สังเกตการณ์การทำงานของเครื่องอัดและส่วนผสม

ทำการทดสอบโดยใช้อัตราส่วนผสมระหว่าง ฟางลับ : รำข้าว : แป้งกา : ถ่าน ดังนี้

ฟางลับ : รำข้าว : แป้งกา : ถ่าน

ส่วนผสม A. 0.15: 0:0.77:0.08 (หน่วยกิโลกรัม)

ส่วนผสม B. 0.15: 0.08: 0.77 : 0

ส่วนผสม C. 0.10: 0.10: 0.80 :0

ส่วนผสม D. 0.1 : 0.15 :0.75 : 0

ส่วนผสม E. 0.09: 0.15 :0.74 :0.02

ผลการทดลองที่ 5

ตารางที่ 4.5 ตารางบันทึกลักษณะทางกายภาพก้อนฟาง

ส่วนผสม	ฟาง (kg)	รำข้าว (kg)	กรา (kg)	ถ่าน (kg)	เวลา/ ความยาว (Sec/m)	ลักษณะ ทาง กายภาพ	ความ หนาแน่น (kg/m ³)
A	0.15	0	0.77	0.08	37	แตก	536
B	0.15	0.08	0.77	0	32	แตก	370.98
C	0.10	0.10	0.80	0	28	เป็นก้อน	306
D	0.10	0.15	0.75	0	29	เป็นก้อน	396
E	0.09	0.15	0.74	0.02	30	เป็นก้อน	380

นำแท่งฟางที่ได้ผ่านแต่ดจนแห้งสนิท (เวลาประมาณ 1 วัน) จากนั้นเก็บตัวอย่างเพื่อนำไปทดลองค่าความร้อน จากเครื่อง Bomb calorimeter แบบ 1341

4.1.6 ผลการทดลองที่ 6

ตัวอย่างที่อัดออกที่ส่วนผสมต่างๆ นำมาทดลองหาปริมาณความร้อนเพื่อเปรียบเทียบการให้ความร้อน โดยใช้ตัวอย่างทั้งสิ้น 5 ตัวอย่าง ผลที่ได้ตามตาราง

ตารางที่ 4.6 ชนิดเชื้อเพลิงก้อน A

Time		Temperature °C	Remark	เชื้อเพลิง
minute	second			
0	0	28	เริ่มกวนน้ำ	เชื้อเพลิงก้อน ชนิด A
1	0	28		น้ำหนัก 1กรัม
2	0	28		ลดยาวย 10 ชม
3	0	28		พิวส์ไม่ละลาย 2.3 ชม
4	0	28		
5	0	28.1	เริ่มกดสวิตช์	
5	30	28.4		
6	0	28.8		
6	30	28.9		
7	0	28.9		
7	30	28.9		
8	0	28.9		
8	30	28.9		
9	0			

ตารางที่ 4.7 ชนิดเชื้อเพลิงก้อน B

Time		Temperature C	Remark	เชื้อเพลิง
minute	second			
0	0	29.5	เริ่มการน้ำ	เชื้อเพลิงก้อน B
1	0	29.5		น้ำหนัก 1กรัม
2	0	29.5		ลวดยาว 10 ซม
3	0	29.5		พื้นไม่ละลาย 3 ซม
4	0	29.5		
5	0	29.5	เริ่มกดสวิตช์	
5	15	29.5		
5	30	29.6		
5	45	29.9		
6	0	30		
6	15	30.2		
6	30	30.5		
6	45	30.7		
7	0	30.8		
7	15	30.8		
7	30	30.9		
7	45	30.9		
8	0	30.9		
8	15	30.9		
8	30	30.9		
8	45	30.9		
9	0	30.9		

ตารางที่ 4.8 ชนิดเชื้อเพลิงก้อน C

Time		Temperature °C	Remark	เชื้อเพลิง
minute	second			
0	0	29.8	เริ่มกวนน้ำ	เชื้อเพลิงก้อน C
1	0	29.8		น้ำหนัก 1กรัม
2	0	29.8		ลดยาวย 10 ซม
3	0	29.8		พิวส์ไม่ละลาย 2.3 ซม
4	0	29.8		
5	0	29.8	กดสวิตช์	
5	15	29.9		
5	30	30		
5	45	30.1		
6	0	30.2		
6	15	30.6		
6	30	30.7		
6	45	3.9		
7	0	31		
7	15	31		
7	30	31		
7	45	31		
8	0	31		
8	15	31		
8	30	31		
8	45	31		
9	0	31		

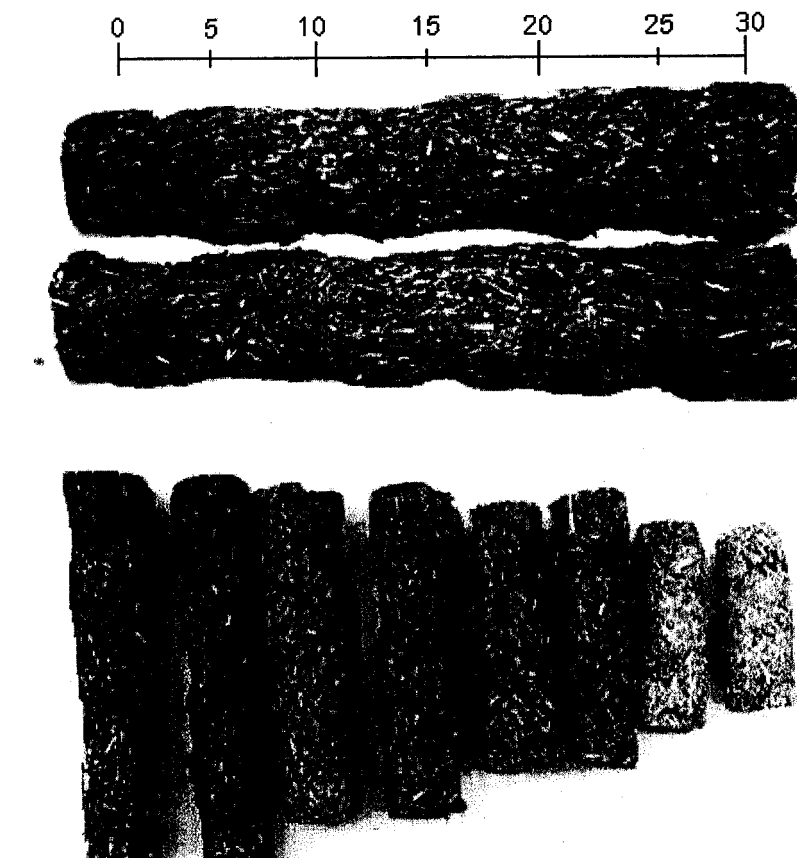
ตารางที่ 4.9 ชนิดเชื้อเพลิงก้อน D

Time		Temperature °C	Remark	เชื้อเพลิง
minute	second			
0	0	29.1	เริ่มกวนน้ำ	เชื้อเพลิงก้อน ชนิด D
1	0	29.1		น้ำหนัก 1กรัม
2	0	29.1		ลวดยาวยาว 10 ซม
3	0	29.1		พิวส์ไม่ละลาย 5.7 ซม
4	0	29.1		
5	0	29.1	กดสวิตช์	
5	15	29.1		
5	30	29.1		
5	45	29.2		
6	0	29.6		
6	15	29.9		
6	30	30.0		
6	45	30.2		
7	0	30.5		
7	15	30.6		
7	30	30.7		
7	45	30.8		
8	0	30.8		
8	15	30.8		
8	30	30.8		
8	45	30.8		
9	0	30.8		
		30.9		
		30.9		

ตารางที่ 4.10 ชนิดเชื้อเพลิงก้อน E

Time		Temperature °C	Remark	เชื้อเพลิง
minute	second			
0	0	28.9	เริ่มกระบวนการ	เชื้อเพลิงก้อน ชนิด E
1	0	28.9		น้ำหนัก 1กรัม
2	0	28.9		ลวดยาว 10 ซม
3	0	28.9		พิวส์ไม่ละลาย 5.5 ซม
4	0	28.9		
5	0	28.9	กดสวิตช์	
5	15	28.9		
5	30	29		
5	45	29.2		
6	0	29.6		
6	15	29.9		
6	30	30.1		
6	45	30.2		
7	0	30.5		
7	15	30.6		
7	30	30.7		
7	45	30.8		
8	0	30.8		
8	15	30.8		
8	30	30.8		
8	45	30.8		
9	0	30.8		

ผลการทดลองช่วงที่ 2 เป็นการทดลองโดยเปลี่ยนส่วนผสมซึ่งต่างจากการทดลองช่วงที่ 1 คือการเพิ่มรำข้าว และลักษณะฟางที่ใช้เป็นฟางสับความแตกต่างจากการทดลองครั้งที่ 1 คือเวลาที่ใช้ในการเตรียมฟางน้อยกว่า เพราะไม่ต้องทำการปั่นละเอียด ลดค่าใช้จ่ายลง รวมไปถึงการใช้การแป้งเป็นส่วนผสมที่สำคัญ ส่วนผสมทั้ง 5 ส่วนผสมที่มีถ่านผสมจะทำให้เหนียวและจับตัวกันดีขึ้น ส่วนผสมที่ต่างกันทั้งนี้ ลักษณะการป้อนส่วนผสมต้องทำการป้อนอย่างต่อเนื่องในช่วงเวลาแรกของการอัดจะต้องนำส่วนผสมที่อัดออกมาโดยที่ส่วนผสมผ่านอุปกรณ์ทำความร้อนจะนำกลับมาอัดอีกเพื่อให้น้ำที่อยู่ในตัวของแป้งแห้งไปยิ่งนำส่วนผสมที่อัดออกโดยผ่านอุปกรณ์ทำความร้อนจะยิ่งทำให้ก้อนฟางจับตัวกันดีและใช้ระยะเวลาในการผึ่งแเดมีระยะเวลาที่สั้นลง รูปที่ 4.3 แสดงลักษณะของแท่งฟางอัดที่ผลิตได้



รูปที่ 4.3 ลักษณะของแท่งฟางอัดที่ผลิตได้

4.1.7 ค่าความร้อนของฟางอัดแห้ง

เมื่อนำแห้งฟางก้อนไปหาค่าความร้อน โดยใช้บอร์ดแคลอริมิเตอร์ จะได้ค่าความร้อนของส่วนผสมแบบต่างๆ ดังแสดงในตารางที่ 4.11 จะเห็นว่าส่วนผสม E ให้ค่าความร้อนสูง เพราะมีผงถ่านผสม และประสานเป็นก้อนดี ในขณะที่ความหนาแน่นของก้อนเชือเพลิงค่อนข้างสูง น้ำจะเหมือนที่จะนำไปเป็นเชือเพลิงในเตาผลิตแก๊สได้ดี

ตารางที่ 4.11 ตารางผลการทดลองหาค่าความร้อน

ส่วนผสม	ฟาง (kg)	รำข้าว (kg)	กาว (kg)	ถ่าน (kg)	เวลา/ ความยาว (Sec/m)	ลักษณะ ทาง กายภาพ	ความ หนาแน่น ¹ (kg/m ³)	ค่าความ ร้อน (kcal/kg)
A	0.15	0	0.77	0.08	37	แตก	536	4251.39
B	0.15	0.08	0.77	0	32	แตก	370	3380.30
C	0.10	0.10	0.75	0	28	เป็นก้อน	306	3136.09
D	0.1	0.15	0.75	0	29	เป็นก้อน	396	4356.91
E	0.09	0.15	0.74	0.02	30	เป็นก้อน	380	4599.05

4.1.8 สรุปผลการผลิตฟางอัดแห้ง

จากการทดลองช่วงที่ 1 แห้งเชือเพลิงที่ผ่านการอัดจากเครื่องอัดแห้งเชือเพลิงชิวนารพบัว อัตราส่วนผสมที่เหมาะสมคือ ฟางปั่นละเอียด มี 3 ส่วนผสม คือ 0.36:0.14:0.36:0.14 ส่วนผสม 0.36:0.18:0.34:0.14 และส่วนผสม 0.34: 0.18: 0.34:0.14 ซึ่งเป็นส่วนผสมถandard ในอัตราส่วนระหว่างฟางต่อแป้งต่อน้ำต่อถ่าน จะมีลักษณะเป็นแห้งที่คงรูป ผิวเรียบ และแน่นมากกว่าแห้งฟางที่ไม่ได้ผสมถ่าน สำหรับผลการทดลองที่ 1 และผลการทดลองที่ 2 ใช้ฟางที่ไม่ผ่านการปั่นละเอียด การทดลองไม่สามารถทำให้เป็นแห้งได้

จากการทดลองช่วงที่ 2 จากตารางที่ 4.5 ฟางสับ 0.4 kg คือส่วนผสมที่คงที่ของทุกส่วนผสม ที่ส่วนผสม A 0.15:0:0.77:0.08 มีลักษณะทางกายภาพคือ แตกไม่จับตัวเป็นก้อน ส่วนผสม B C D และ E ได้เพิ่มส่วนผสม รำข้าวเพิ่มขึ้น จากสังเกตลักษณะทางกายภาพจะพบว่าทำให้ลักษณะทางกายภาพจับตัวกันดีขึ้น ดังนั้นอาจสรุปได้ว่าการเพิ่มรำข้าวในส่วนผสมทำให้เกะตัวกันมากขึ้น

4.2 การผลิตแก๊สผลิตภัณฑ์จากฟางข้าว

ในการทดลองนี้ได้ทดลองผลิตแก๊สชีวมวลจากฟางข้าวที่ยังไม่ผ่านการอัดเป็นก้อนจากเครื่องอัดก้อน เพื่อเป็นการทดสอบความสามารถให้การผลิตแก๊สชีวมวลของเตาที่ได้รับการออกแบบและสร้าง เพื่อใช้ในการวิจัยนี้ ซึ่งลักษณะของฟางข้าวที่ใช้เป็นวัตถุดิบในการทดลองนี้ มีลักษณะดังรูปที่ 4.4 โดยทำการทดลองผลิตแก๊สชีวมวลจากฟางข้าว 2 ลักษณะคือ ฟางข้าวที่มีการย่อยขนาด และฟางข้าวที่ไม่มีการย่อยขนาด จากการทดลอง เมื่อใช้ฟางข้าวที่ไม่ได้ผ่านการย่อยขนาด ซึ่งมีความยาวประมาณ 25-35 cm นำไปผลิตแก๊สชีวมวลพบว่า สามารถผลิตแก๊สชีวมวลได้ในช่วงสั้น ๆ คือประมาณ 5 นาทีแรก หลังจากนั้นก็ไม่มีการผลิตแก๊สชีวมวล เกิดการขาดช่วงของแก๊สผลิตภัณฑ์ ต้องมีการกระทุบฟางจากด้านบน จึงสามารถผลิตแก๊สต่อได้และต้องทำเช่นนี้อย่างเป็นระยะ เนื่องจากฟางข้าวที่มีลักษณะเป็นเส้นยาวมาก จึงทำให้เกิดการสานตัวกัน และเกาะกันเป็นกลุ่มโดยตัวอยู่บนชั้นบรรจุเชื้อเพลิง และเนื่องจากน้ำหนักที่เบาของฟางเอง เพราะ bulk density ของฟางข้าวมีค่าต่ำมากประมาณ 80 kg/m^3 [12] จึงไม่มีการบุบตัวลงเพื่อใช้ในการเผาใหม่ส่งผลให้การเผาใหม่เกิดขึ้นอย่างไม่ต่อเนื่อง จากปัญหาดังกล่าวจึงทำการย่อยฟางข้าวให้มีขนาดสั้นลงเหลือประมาณ 10 cm ถึง 25 cm พบว่า มีการสานตัวของฟางข้าวน้อยลง ทำให้การไหลตัวลงของฟางข้าวเพื่อใช้ในการเผาใหม่และผลิตแก๊สต่อเนื่องมากขึ้น ดังนั้นในการทำการทดลองจึงจำเป็นอย่างยิ่ง จะต้องมีการเตรียมฟางข้าวก่อนการทดลอง



(a) ฟางย่อยแล้ว (b) ฟางปกติที่ยังไม่ย่อย

รูปที่ 4.4 ลักษณะของฟางข้าวที่ใช้ผลิตแก๊สชีวมวล

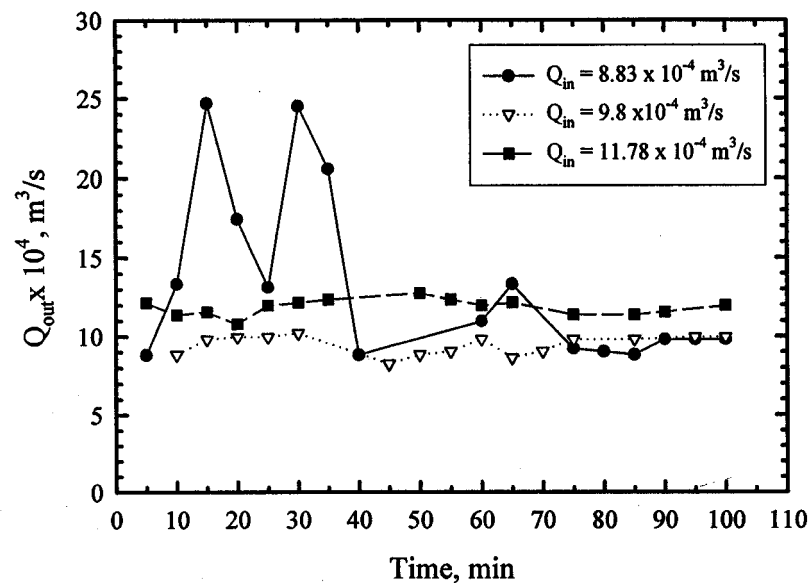
เพื่อให้ทราบส่วนประกอบตั้งต้นของฟาง ที่จะนำมาทำการอัดและผลิตแก๊ส ผู้วิจัย ได้เก็บตัวอย่าง ฟาง ซึ่งเป็น ฟางข้าวเหนียว ที่ปลูก ทั่วไปในจังหวัดอุบลราชธานี และทำการวิเคราะห์ส่วนประกอบทางเคมี โดย กรมวิทยาศาสตร์บริการ กระทรวงวิทยาศาสตร์ เป็นผู้ดำเนินการวิเคราะห์ (รายละเอียด ดังแสดงใน ภาคผนวก ค) ผลการวิเคราะห์แสดงในตารางที่ 4.12

ตารางที่ 4.12 ตารางผลการทดลองหาค่าความร้อน

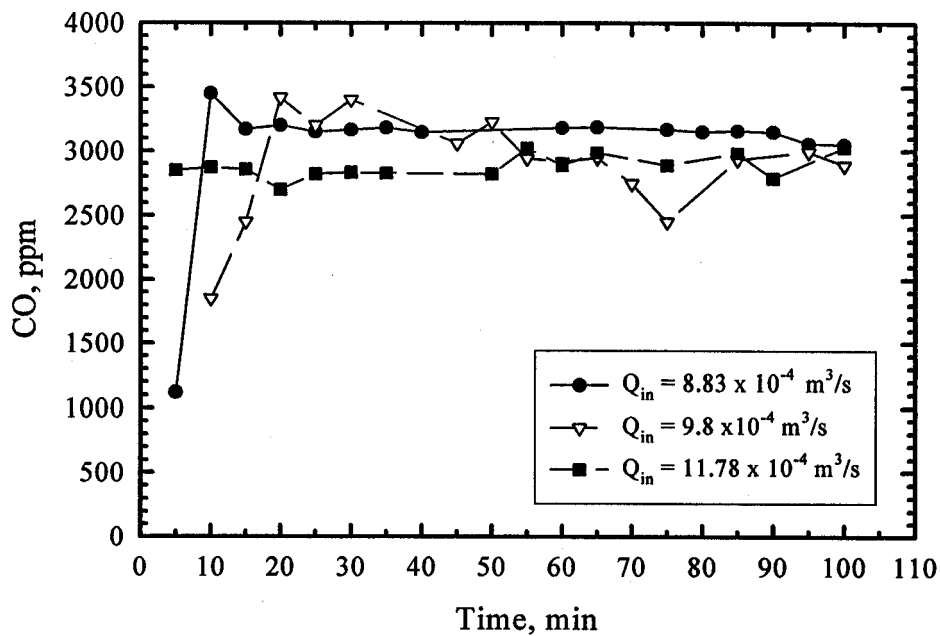
Component	As-received Basis	Dry Basis
Ash, %	11.8	13.0
Volatile matter, %	61.0	67.5
Fixed carbon, %	17.7	19.5
Carbon, %	39.2	43.3
Hydrogen, %	5.4	4.8
Nitrogen, %	0.63	0.70
Oxygen, %	42.9	38.1

รูปที่ 4.5 แสดงอิทธิพลของอัตราการไหลของอากาศที่ใช้ในการเผาไหม้ (Q_{in}) ต่ออัตราการไหล ของแก๊สชีวนวลด (Q_{out}) พบว่าที่อัตราการไหล $Q_{in} = 8.83 \times 10^{-4} \text{ m}^3/\text{s}$ ในช่วงเวลา 40 นาทีแรก การ ผลิตแก๊สชีวะ-มวลเกิดขึ้นอย่างไม่ต่อเนื่องและไม่สม่ำเสมอ อาจเนื่องมาจากปริมาณอากาศที่ใช้ในการ เผาไหม้มันอยู่จนเกินไป จึงส่งผลให้กระบวนการเผาไหม้เกิดขึ้นอย่างไม่ต่อเนื่อง จึงจำเป็นต้องใช้เวลาใน ช่วงเวลานี้เพื่อให้กลไกการเผาไหม้เกิดขึ้นอย่างต่อเนื่อง ส่วนอัตราการไหลของอากาศที่ $Q_{in} = 9.8 \times 10^{-4} \text{ m}^3/\text{s}$ และ $Q_{in} = 11.78 \times 10^{-4} \text{ m}^3/\text{s}$ พบว่าแก๊สชีวนวลดที่ผลิตได้นั้นค่อนข้างต่อเนื่องตลอดช่วงการ ทดลอง และที่ $Q_{in} = 11.78 \times 10^{-4} \text{ m}^3/\text{s}$ แก๊สชีวนวลดที่ผลิตได้มีปริมาณมากกว่าที่ $Q_{in} = 9.8 \times 10^{-4} \text{ m}^3/\text{s}$ ตลอดการทดลอง เนื่องจากปริมาณอากาศใช้ในการเผาไหม้ที่มากกว่านั้นเอง แต่จากรูปที่ 4.6 แสดง อิทธิพลของอัตราการไหลของอากาศที่ใช้ในการเผาไหม้ Q_{in} ต่อบริมาณ CO กลับพบว่าปริมาณ CO ซึ่ง เป็นส่วนประกอบหลักของแก๊สชีวนวลด และเป็นส่วนประกอบที่บ่งบอกถึงคุณภาพของแก๊สชีวนวลดที่ผลิตได้ ที่ $Q_{in} = 9.8 \times 10^{-4} \text{ m}^3/\text{s}$ มีปริมาณ CO เฉลี่ยเท่ากับ 2900 ppm ตลอดช่วงเวลาทำการทดลอง ซึ่งมี ปริมาณมากกว่าที่ $Q_{in} = 11.78 \times 10^{-4} \text{ m}^3/\text{s}$ อันเนื่องมาจากการที่ $Q_{in} = 9.8 \times 10^{-4} \text{ m}^3/\text{s}$ เกิดการเผาไหม้

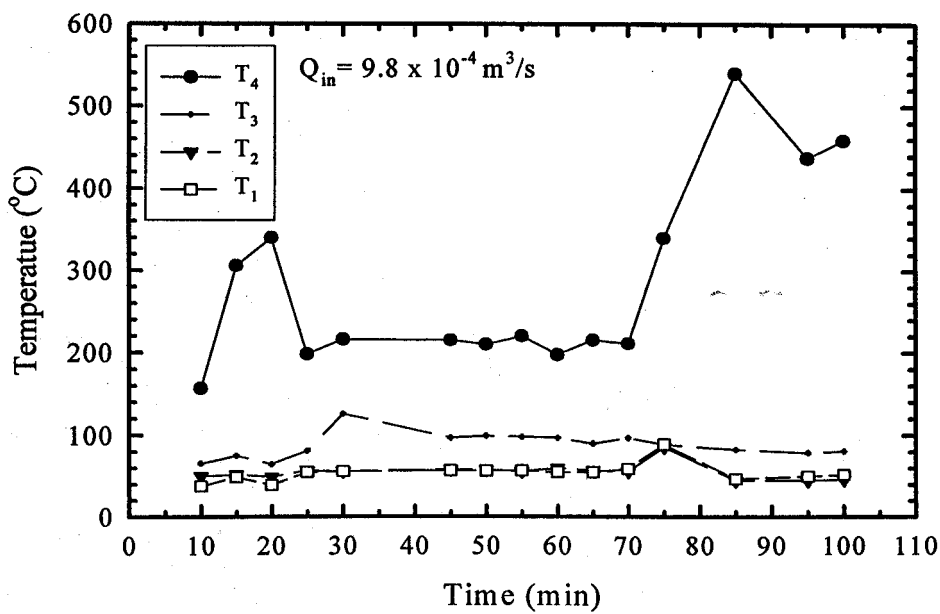
ที่ไม่สมบูรณ์มากกว่า ถึงแม้ว่าปริมาณ CO ที่ผลิตได้ที่ $Q_{in} = 8.83 \times 10^{-4} \text{ m}^3/\text{s}$ จะมีปริมาณมากกว่าที่ $Q_{in} = 9.8 \times 10^{-4} \text{ m}^3/\text{s}$ คือ เฉลี่ยประมาณ 3100 ppm ก็ตามแต่ที่ $Q_{in} = 9.8 \times 10^{-4} \text{ m}^3/\text{s}$ มีอัตราการไหลของแก๊สชีวนวลดีกว่าเดิมนั้นในการทดลองจึงใช้อัตราการไหล $Q_{in} = 9.8 \times 10^{-4} \text{ m}^3/\text{s}$ ในการศึกษาพฤติกรรมการผลิตแก๊สชีวนวลดีกว่าเดิมนั้น



รูปที่ 4.5 อิทธิพลของอัตราการไหลของอากาศที่ใช้ในการเผาไหม้ต่อ Q_{out}

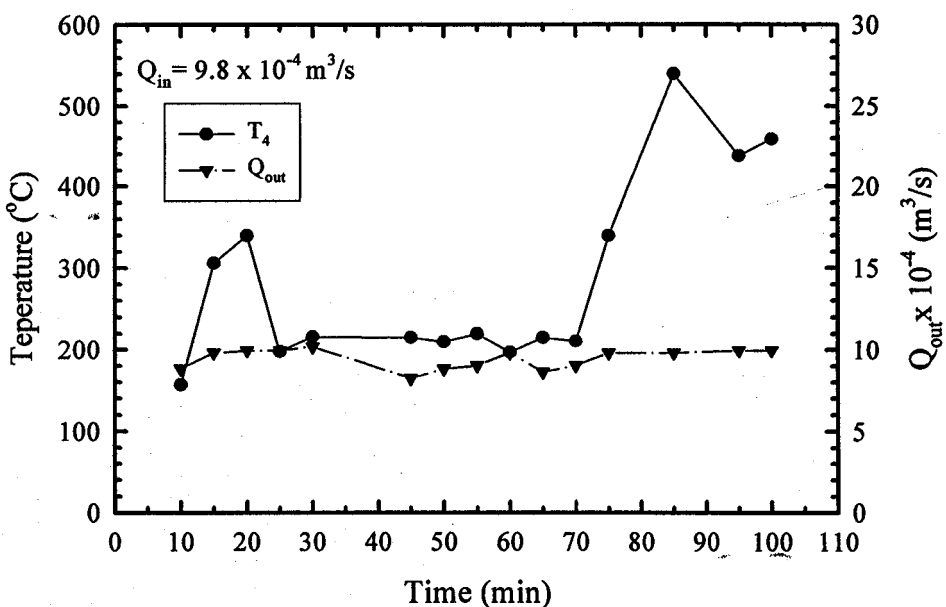


รูปที่ 4.6 อิทธิพลของอัตราการไหลของอากาศที่ใช้ในการเพาใหม่ต่อปริมาณ CO



รูปที่ 4.7 ความสัมพันธ์ระหว่างเวลาในการทดลองกับโครงสร้างทางความร้อน

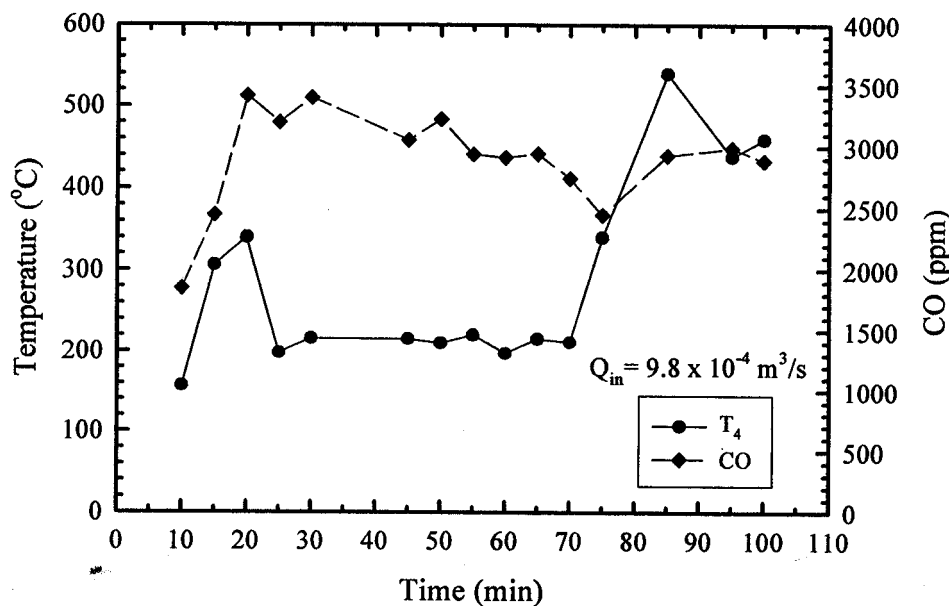
รูปที่ 4.7 แสดงความสัมพันธ์ระหว่างเวลาในการทดลองกับโครงสร้างทางความร้อน ที่ $Q_{in} = 9.8 \times 10^{-4} \text{ m}^3/\text{s}$ พนว่าอุณหภูมิที่ต่ำแห่ง T₁ และ T₂ จะมีอุณหภูมิที่ใกล้เคียงกันซึ่งมีค่าประมาณ 50 °C ถึง 100 °C เช่นเดียวกันกับอุณหภูมิที่ต่ำแห่งที่ T₃ ถึงแม้จะมีอุณหภูมิสูงกว่าแต่มีค่าไม่เกิน 150 °C ตลอดการทดลอง ซึ่งเป็นอุณหภูมิที่ไม่สูงพอที่จะทำให้เกิดการสลายตัวของพลาสติก แต่ความชื้นในฟางข้าวจะถูกความร้อนทำให้ไอน้ำระเหยออกมานา โดยทั่วไปไอน้ำจะเหยือกมาจากเชื้อเพลิงที่อุณหภูมิประมาณ 100 °C ถึง 200 °C ดังนั้นเป็นไปได้ว่าน้ำภายในฟางข้าวจะระเหยที่บริเวณ T₁ ถึง T₃ โดยบริเวณดังกล่าวถูกเรียกว่า drying zone ส่วนที่ต่ำแห่ง T₄ พนว่ามีอุณหภูมิประมาณ 150 °C ถึง 550 °C เนื่องจากเป็นต่ำแห่งที่อยู่ใกล้กับบริเวณการเกิดกระบวนการเผาไหม้ ดังนั้นจึงได้รับความร้อนในปริมาณมากพอที่ทำให้เกิดการสลายตัวของสาร organic ในฟางข้าวทำให้ได้น้ำมันดิน (tar) ออกมานา ซึ่งโดยทั่วไปแล้วจะเกิดที่อุณหภูมิประมาณ 200 °C ถึง 600 °C ดังนั้นบริเวณ T₃ จึงเป็นชั้น pyrolysis zone



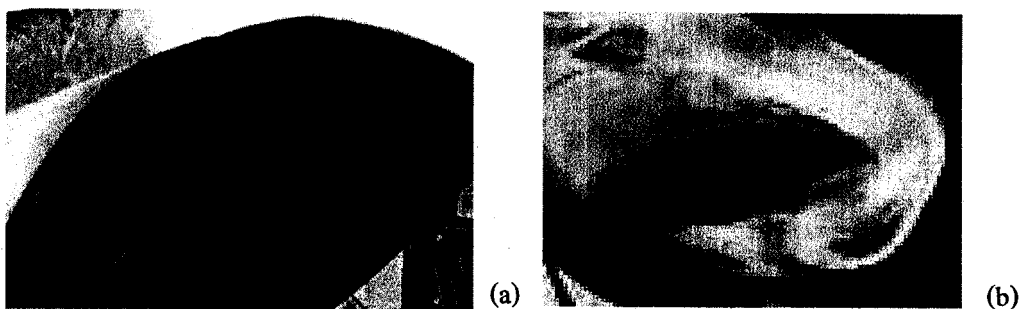
รูปที่ 4.8 ความสัมพันธ์ระหว่างเวลา กับ อุณหภูมิที่ต่ำแห่ง T₄ และ ปริมาณแก๊สชีวนวลด Q_{out}

รูปที่ 4.8 แสดงความสัมพันธ์ระหว่างเวลาในการทดลอง กับ อุณหภูมิที่ต่ำแห่ง T₄ และ ปริมาณ แก๊สชีวนวลด Q_{out} พนว่า อุณหภูมิที่ต่ำแห่ง T₄ (pyrolysis zone) ไม่ส่งผลกระทบต่อการผลิตแก๊สชีวนวลดที่ผลิตได้ตลอดช่วงการทดลอง อาจเนื่องมาจากการต่ำแห่งที่วัดอยู่ห่างจากบริเวณที่เกิดการผลิตแก๊สชีวนวลดมาก จึงทำให้ผลของ T₄ ที่เปลี่ยนไปในช่วง 20 นาทีแรก และ ที่ช่วงเวลา 70 ถึง 110 นาที ซึ่งอาจเกิดจาก การไหลของฟางข้าวที่ไม่สม่ำเสมอ จึงไม่มีผลต่อปริมาณแก๊สชีวนวลดที่ผลิตได้ และด้วยเหตุผลเดียวกัน

สำหรับปริมาณ CO ดังรูปที่ 4.9 แสดงความสัมพันธ์ระหว่างเวลาในการทดลอง กับอุณหภูมิที่ต่ำแห่ง T₄ และปริมาณ CO ที่ไม่ได้รับผลกระทบจาก T₄ โดยตรง เช่นกัน จากผลการทดลองดังกล่าว จึงมีความจำเป็นอย่างยิ่งที่จะต้องศึกษาถึงโครงสร้างของอุณหภูมิภายในเตาเพิ่มเติม เพื่อบ่งชี้ความสัมพันธ์ระหว่างอุณหภูมิกับปริมาณแก๊สชีวมวลต่อไป



รูปที่ 4.9 ความสัมพันธ์ระหว่างเวลา กับ อุณหภูมิที่ต่ำแห่ง T₄ และ ปริมาณ CO



รูปที่ 4.10 ลักษณะเปลวไฟของการติดไฟของแก๊สชีวมวล

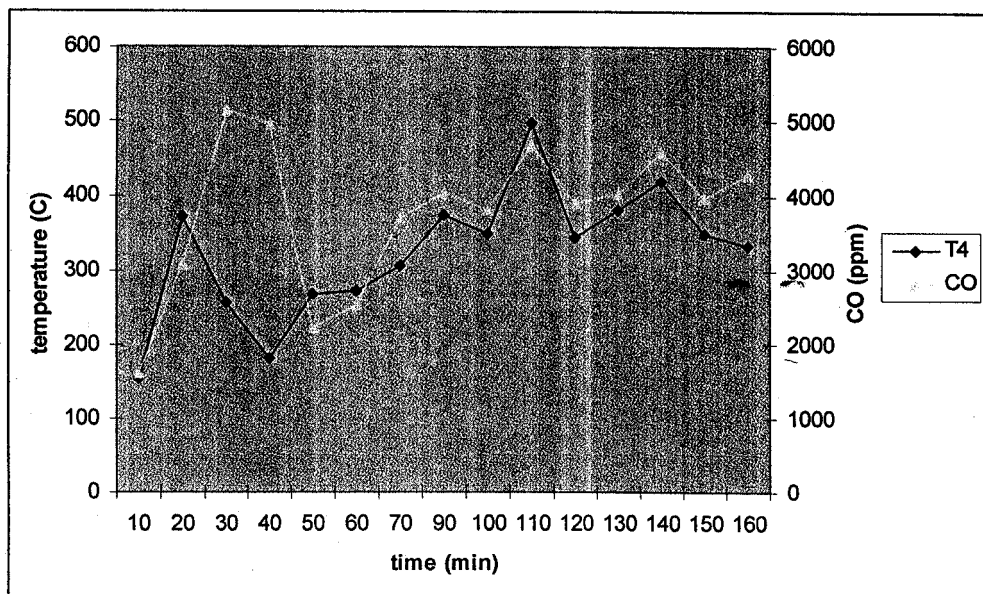
รูปที่ 4.10 แสดงลักษณะเปลวไฟของการติดไฟของแก๊สชีวมวลที่ อัตราการไหล $Q_{in} = 9.8 \times 10^{-4} \text{ m}^3/\text{s}$ พบร้า ในช่วง 30 นาทีแรก ลักษณะเปลวไฟที่ได้จะมีสีฟ้า ดังรูปที่ 4.10(a) ซึ่งจากสีของเปลวไฟของแก๊สชีวมวลที่ผลิตได้ในช่วงแรกอาจมี CH₄ ในปริมาณมาก แต่เมื่อทำการผลิตแก๊สชีวมวลต่อไปพบว่าสีเปลวไฟของแก๊สชีวมวลจะเป็นสีเหลืองดังรูปที่ 4.10(b) ซึ่งเป็นลักษณะการติดไฟของแก๊ส CO อนึ่งผลงานวิจัยในส่วนนี้ได้ตีพิมพ์ไปแล้ว ดังรายละเอียดแสดง ในภาคผนวก ง

4.3 การผลิตแก๊สผลิตภัณฑ์จากก้อนฟางอัดแห้ง

จากการทดลองการอัดฟางก้อนของเครื่องอัดฟางก้อน พบ ลักษณะที่เหมาะสมในการนำมาเป็นวัตถุดิบในการผลิตแก๊สชีวนวลด และจากการทดลองการผลิตแก๊สชีวนวลดพบว่าเตาผลิตแก๊สชนิดไฟฟลังที่ได้ออกแบบสร้างนั้นมีความสามารถในการผลิตแก๊สได้อย่างมีประสิทธิภาพ ดังนั้นในการทดลองนี้จึงได้นำฟางก้อนมาเป็นวัตถุดิบในการผลิตแก๊สชีวนวลดังแสดงในรูปที่ 4.11 ผลการทดลองการผลิตแก๊สชีวนวลดจากฟางก้อน แสดงในตารางที่ 4.13 และรูปที่ 4.12



รูปที่ 4.11 ฟางแห้งและก้อนย่อยของฟางแห้งที่ใช้ในการทดลองผลิตแก๊ส

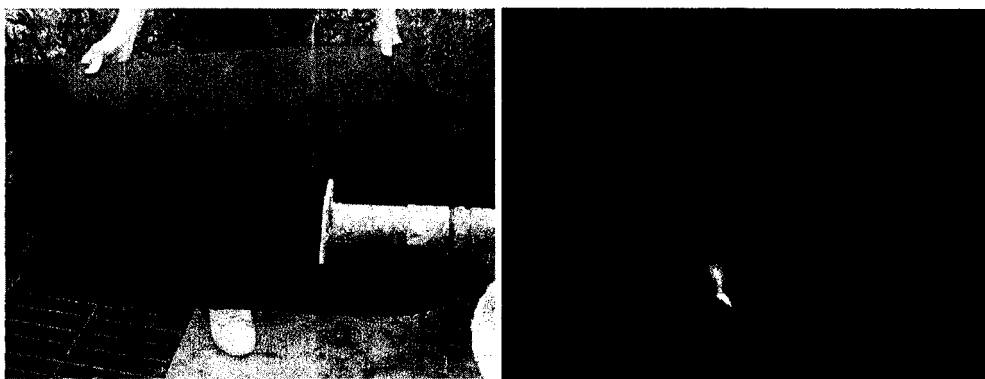


รูปที่ 4.12 ความสัมพันธ์ระหว่างเวลา กับ อุณหภูมิที่ต่ำแห่ง T₄ และ ปริมาณ CO

จากการทดลอง ใช้อัตราการไหล $Q_m = 9.8 \times 10^{-3} \text{ m}^3/\text{s}$ และได้ทำการวัดอุณหภูมิ 3 จุด คือ T_4 , T_3 และ T_{out} ในช่วง 60 นาทีแรกนั้นแก๊สที่ได้นั้นสามารถจุดติดไฟได้แต่ก็ยังไม่ต่อเนื่อง เพราะปริมาณแก๊สยังเบาบางอยู่ แต่เมื่ออุณหภูมิที่ห้องเผาใหม่สูงขึ้นแก๊สผลิตภัณฑ์ที่ผลิตได้มีปริมาณมากขึ้นแก๊สก็สามารถจุดติดไฟได้อย่างต่อเนื่องนั้นแสดงว่าอุณหภูมิที่ห้องเผาใหม่และเวลาที่ในการผลิตแก๊ส หรือ เวลาที่อากาศถูกดูดเข้าไปในเตาผลิตแก๊ส (resident time) มีอิทธิพลต่อปริมาณการเกิดแก๊สผลิตภัณฑ์ เป็นอย่างมาก รูปที่ 4.13 แสดงการจุดติดไฟได้ของแก๊สผลิตภัณฑ์อย่างต่อเนื่อง ขณะทำการทดลอง ช่วง เวลา กลางวัน และ เวลากลางคืน

ตารางที่ 4.13 ผลการทดลองการผลิตแก๊สชีวนวลดจากฟางก้อน

Time (min)	T_4 (° C)	T_3 (° C)	T_{out} (° C)	O_2 (%)	CO (ppm)	CO_2 (%)	NO (ppm)	NO_x (ppm)	H_2 (ppm)	หมาย เหตุ
10	34.2	32.2	62.9	14.34	1609	8.13	64	67	5565	
20	372.5	49.9	60.0	20.47	3082	4.86	61	70	6010	
30	257.6	68.2	50.4	12.8	5133	6.87	158	169	8871	
40	182.2	74.0	60.0	12.37	4962	7.55	207	227	5484	
50	268.2	90.3	54.9	11.7	2235	8.16	207	295	6331	
60	271.8	112.2	64.0	11.84	2547	8.02	414	415	7484	
70	306.2	154.6	57.3	11.21	3708	8.16	318	147	10027	ติดไฟ
80	374.8	221.5	67.9	11.57	4049	8.23	508	528	10886	ติดไฟ
90	351.1	332.6	111.9	11.42	3824	7.6	313	208	9276	ติดไฟ
100	498.6	440.6	92.4	11.71	4677	8.14	216	313	12031	ติดไฟ
110	344.8	489.4	89.7	11.34	3908	7.9	314	305	1054	ติดไฟ
120	381.8	494.9	67.3	11.67	4035	7.7	284	203	6347	ติดไฟ
130	420.1	507.0	59.2	13.60	4589	6.84	171	256	7568	ติดไฟ
140	349.7	513.8	64.6	12.11	3978	8.12	284	344	8894	ติดไฟ
150	334.4	516.2	72.3	11.8	4286	7.6	246	289	9946	ติดไฟ



รูปที่ 4.13 ภาพเปรลไฟของแก๊สชีวนวลด้วยไฟฟางก่อนและกลางวันและกลางคืน

จากการทดลอง สามารถสรุปได้ว่าการผลิตแก๊สผลิตภัณฑ์ โดยใช้ไฟฟางอัดแท่ง (ที่ย่อยให้ได้ขนาดพอเหมาะสม ประมาณ 2-4 cm) ทำได้ดีกว่าการใช้ไฟฟางปกติ (ไม่อัดแท่ง) หาก สามารถผลิตแก๊สผลิตภัณฑ์ ได้ในปริมาณ ที่มากพอ ที่จะจุดติดไฟได้อย่างต่อเนื่อง และไม่มีปัญหาของการบรรจุ (feed) เชือเพลิง เนื่องจากไฟฟางแท่งมีน้ำหนัก หรือ ความหนาแน่น ที่มากพอก็ ที่จะยุบตัวลงในเตาเผาได้เอง หากการวัดปริมาณแก๊สพบว่า มีแก๊ส ไฮโดรเจน เกิดขึ้นมากกว่าการใช้ไฟฟางปกติมาก ส่วน CO มีปริมาณมากกว่าเล็กน้อยค่าความร้อน ของแก๊สผลิตภัณฑ์ ในกรณีนี้ ประมาณ 4.5 MJ/m^3

บทที่ 5

สรุปผลการทดลอง

การศึกษาวิจัยนี้ สามารถสรุปได้เป็น 2 ประเด็น หลักๆ คือ

- (1) การศึกษาการผลิตฟางอัดแท่ง
- (2) การศึกษาการผลิตแก๊สผลิตภัณฑ์

5.1 การศึกษาการผลิตฟางอัดแท่ง

คณะกรรมการผู้วิจัยได้ออกแบบและสร้างเครื่องอัดฟาง RSP-ME1 ซึ่งใช้ไฟฟ้าเป็นตัวดันฟางให้ผ่านหัวอัดทรงเรียว และ ใช้ชุดลดความร้อน เป็นตัวช่วยในการให้ความร้อนและประสานฟางกับส่วนผสม ให้ยึดติดเป็นก้อน จากผลการทดลอง เครื่อง RSP-ME1 สามารถ อัดฟางเป็นแท่งได้ยาว ประมาณ 30 cm ทั้งนี้ ส่วนผสมในการอัด เป็นตัวแปรสำคัญ ในการยึดติดให้ฟางเป็นแท่ง ด้วย

จากศึกษาพบว่า เครื่อง RSP-ME1 ไม่สามารถอัดฟางให้เป็นแท่งได้หากไม่มีตัวประสาน เนื่องจาก กำลังในการอัดไม่สูงพอ และความร้อน ไม่นำพอ หากต้องการอัดโดยไม่มีตัวประสานและได้ฟางแท่งที่แน่น ควรจะใช้ตันกำลังที่สูงกว่านี้ และมีการให้ความร้อนที่มากกว่านี้ ซึ่งเครื่องอัดในงานอุตสาหกรรมขนาดใหญ่ สามารถทำได้ ที่เรียกว่า อัดแท่ง

5.2 การศึกษาการผลิตแก๊สผลิตภัณฑ์

ในการทดลองผลิตแก๊สผลิตภัณฑ์ ผู้วิจัยได้ออกแบบและสร้างเตาผลิตแก๊สแบบไหลลง (down draft gasifier) DDG-ME2 ซึ่งถือว่าเป็นเตาผลิตแก๊สที่เหมาะสมกับเชื้อเพลิงที่มีส่วนประกอบของอนามัยสูงมากนัก มีน้ำหนักเบา (ความหนาแน่นของเชื้อเพลิงต่ำ) และทำงานได้ดีกับการผลิตในกำลังการผลิตต่ำ ช่วงเวลาการผลิตแก๊สยาวนาน แต่ช่วงเริ่มต้นสั้น โดยทดลอง ทำการผลิตแก๊สจากฟางใน 3 ลักษณะ คือ (1) จากฟางปกติที่ไม่ได้ย่อย (2) จากฟางที่ย่อยแต่ไม่ได้อัดแท่ง (3) จากฟางอัดแท่ง ผลการศึกษาสามารถสรุปได้ดังนี้

- 1) มีการเกิดแก๊สผลิตภัณฑ์ น้อยมากและไม่ต่อเนื่อง เมื่อใช้ฟางปกติ เนื่องจากฟางมี bulk density ที่ต่ำมาก และไม่เกิดการกดทับลงมาในเตา ทำให้การเก็บน้อย ไม่เหมาะสมที่จะนำมาใช้งานจริง
- 2) เมื่อใช้ฟางที่ย่อย มีการเกิดแก๊สตีมากในช่วงเริ่มต้น แต่หลังจากนั้น การเกิดแก๊สจะหยุดไป เนื่องจาก การไม่เหลวตัวลงในเตาของฟาง ทำให้ได้แก๊สไม่ต่อเนื่อง ทั้งนี้ขึ้นอยู่กับฟางที่ย่อย

จะมีผลต่ออัตราการเกิดแก๊สด้วย การผลิตแก๊สในกรณีเช่นนี้ไม่เหมาะสมกับการนำไปใช้งาน ตรง เช่น กัน

- 3) การผลิตแก๊สโดยใช้ฟางอัดแห้ง ที่ย่อยให้ได้ขนาดประมาณ 2-4 cm ให้การเกิดแก๊สที่ต่อเนื่อง และมีปริมาณแก๊สมากพอที่จะจุดติดไฟได้ตลอดเวลา เนื่องจาก ฟางอัดแห้ง มี bulk density ค่อนข้างสูง สามารถกดทับในเตาได้ด้วยน้ำหนักของตัวเองทำให้เกิดแก๊สได้อย่างต่อเนื่อง การอัดแน่นและความหนาแน่นที่สูงขึ้นนี้ เป็นปัจจัยสำคัญในการเกิดแก๊สมาก และ เป็นที่น่าสนใจว่าแก๊สผลิตภัณฑ์ที่ได้ นอกจากจะได้คาร์บอนมอนอกไซด์ เป็นหลักแล้ว ยังมีอัตราส่วนของไฮโดรเจน เพิ่มขึ้นอีกด้วย ค่าความร้อนของแก๊สที่ผลิตได้ ประมาณ 4.5 MJ/m^3 ซึ่งถือว่า อยู่ในปริมาณที่ใกล้เคียงกับวัตถุดินน้ำอื่นที่นิยมใช้ในการผลิตแก๊สผลิตภัณฑ์ เช่น แกลบ เศษ ถ่าน หรือ เศษไม้แห้ง

5.3 ข้อเสนอแนะ

การศึกษาที่ทำให้ยืนยันได้ว่า ฟาง ซึ่งเป็นวัตถุดินที่มีอยู่มากในประเทศไทย แต่ยังไม่ได้นำมาใช้ประโยชน์ในด้านพลังงานมากนัก และไม่นิยมนำมาผลิตแก๊สเลย สามารถผลิตแก๊สผลิตภัณฑ์ได้อย่างต่อเนื่อง อย่างไรก็แล้วแต่ การที่จะผลิตให้ได้แก๊สที่มีคุณภาพ ต้องมีการเตรียมวัตถุดิน ให้เหมาะสม เสียก่อน คือ การอัดแห้ง และหากต้องการแก๊สในปริมาณมาก เตา gasifier ที่ใช้ ควรจะมีขนาดใหญ่กว่า เตาของเชื้อเพลิง ชนิดอื่น เนื่องจาก ฟาง มีปริมาณคาร์บอนต่ำกว่าเชื้อเพลิงชนิดอื่น ฟางที่ใช้ควรเป็นฟางแห้ง ไม่ชื้นน้ำ อาจจะใช้เวลาในการอุ่นนานขึ้น และ อาจจะทำให้เตาชำรุดเนื่องจากการผุกร่อน ได้ง่าย

ในทางปฏิบัติ ควรจะมีการกักเก็บแก๊สในถังพักเสียก่อน มากกว่าที่นำไปใช้โดยตรง และหากต้องการแก๊สที่มีความสะอาดสูง ก็ควรมีการกรองแก๊สผลิตภัณฑ์ เสียก่อน โดยเฉพาะอย่างยิ่ง การนำไปใช้งานกับ เครื่องยนต์แก๊ส (gas engine)

เอกสารอ้างอิง

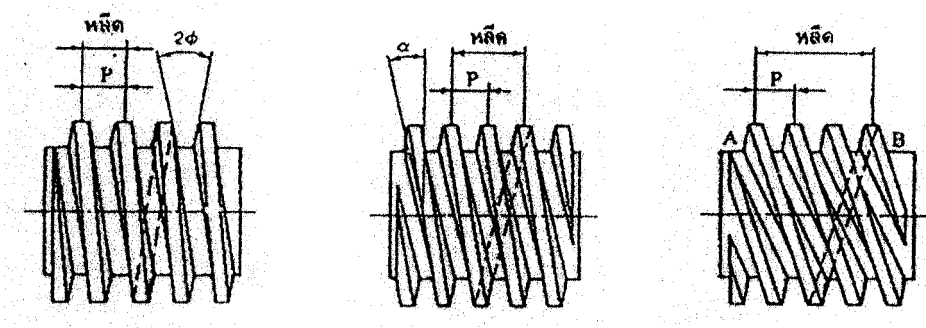
- [1] สุริย์ จารุญศักดิ์, “การศึกษาการใช้พลังงานความร้อนจากเตาผลิตแก๊สชีนิดไอลลงเพื่อใช้ในการผลิตเชรามิก”, วิทยานิพนธ์ปริญญาวิศวกรรมศาสตร์มหาบัณฑิต, มหาวิทยาลัยเทคโนโลยีพระจอมเกล้าธนบุรี, ปี พ.ศ. 2543, หน้า 1-122
- [2] วิรัช อรุณลักษณ์ดำรง, 2531, เตาเผาก๊าซแบบไอลขึ้นเพื่อการเผาไหม้โดยตรง, วิทยานิพนธ์ปริญญาวิศวกรรมศาสตร์มหาบัณฑิต สาขาวิชาเทคโนโลยีพลังงาน สถาบันเทคโนโลยีพระจอมเกล้าธนบุรี, 83 หน้า.
- [3] ชัชวาล วนิชผล และสามารถ พิริยะปัญญาพร, 2534, ระบบผลิตพลังงานความร้อนจากแก๊ส ด้วยระบบการเผาไหม้แบบฟลูอิดไดซ์เซชั่นและระบบผลิตก๊าซชีวมวลแบบเบดเคลื่อนที่, วิทยานิพนธ์ปริญญาวิศวกรรมศาสตร์บัณฑิต ภาควิชาวิศวกรรมเคมี สถาบันเทคโนโลยีพระจอมเกล้าธนบุรี, 130 หน้า.
- [4] สถานะการณ์พลังงานของประเทศไทย พ.ศ. 2542-2554, http://www.teenet.chula.ac.th/plan/plan_4254-2.asp, สิงหาคม 2544.
- [5] วินัย, 2541., กองทุนเพื่อส่งเสริมการอนุรักษ์พลังงานส่งเสริมการใช้วัสดุเหลือใช้ทางการ, เกษตรเป็นเชื้อเพลิง. นโยบายพลังงาน เดือนเมษายน-มิถุนายน 2541: 35-41.
- [6] P. McKendry “Energy Production from Biomass (part 2): Coversion Technologies”, Bioresource Technology, 2002, Vol. 83, pp.47-54
- [7] M. Dogru, Midill A. and Howarth C.R. “Gasification of Sewage Sludge Using a Throated Downdraft Gasifier and Uncertainty Analysis”, Fuel Processing Technology, 2002, Vol. 75, pp.55-82
- [8] M. Dogru, Howarth C.R., Akay G., Keskinler B. and Malik A.A. “Gasification of Hazenut Shell in a Downdraft Gasifier”, Energy, 2002, Vol. 27, pp.415-427
- [9] Z.A. Zainal, Rifau A., Quadir G.A. and Seetharamu K.N. “Experimental Investigation of a Downdraft Biomass Gasifier”, Biomass & Bioenergy, 2002, Vol. 23, pp.283-289
- [10] G. Chen, Andries J., Luo Z. and Spliethoff H. “Biomass Pyrolysis/Gasification for Product Gas Production: the Overall Investigation of Parametric Effects”, Energy Conversations & Management, 2003, Vol. 44, pp.1875-1884
- [11] C.Z. Wu, Huang H. Zheng S.P. and Yin X.L. “An Economic Analysis of Biomass Gasification and Power Generation in China”, Bioresource & Technology, 2002, Vol. 83, pp.65-

[12] A. Kaupp and Cross R.J. "Small Scale Gas Producer – Engine System", Lengerrick, 1984,
pp.29-65

ภาคผนวก ก
การออกแบบเครื่องอัดฟางก้อน

หลักการออกแบบเครื่องอัดฟางแบบก้อน

ก.1 สกรูส่งกำลัง



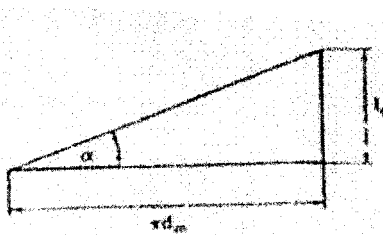
รูปที่ ก.1 เกลียวสีเหลี่ยมคงทุม

ระยะพิชช์ (P) คือระยะทางที่วัดตามแกนแนวของสกรูจากจุนนึงบนเกลียวหนึ่ง ไปยังจุนเดียวกันของเกลียวที่อยู่ถัดไป

หลีด (Lead) (l_e) คือระยะทางที่สกรูเคลื่อนที่ได้ตามแนวแกนของสกรู ในขณะที่สกรูหมุนไปหนึ่งรอบ ถ้าเป็นสกรูหนึ่งปาก (Single thread) ระยะของหลีดมีค่าเท่ากับระยะพิชช์ สำหรับสกรูสองปาก (Double thread) เกลียวจะมีปากค่าระหว่างเกลียวสองเกลียว ดังรูปที่ ก.1

มุมหลีกซ์หรือมุมหลีด (Helix or lead angle) (α) หมายถึง มุมระหว่างระนาบที่สัมผัสกับความเอียงของเกลียวและระนาบที่ตั้งฉากกับแกนของสกรู ถ้าให้ d_m เป็นเส้นผ่านศูนย์กลางเฉลี่ยของสกรูและนำส่วนที่สกรูเคลื่อนที่ไปในขณะที่หมุนหนึ่งรอบมาคลี่ออก ก็จะได้ลักษณะดังรูปที่ ก.2 และมุมหลีดคือ

$$\tan \alpha = \frac{l_e}{\pi d_m} \quad (\text{ก.1})$$

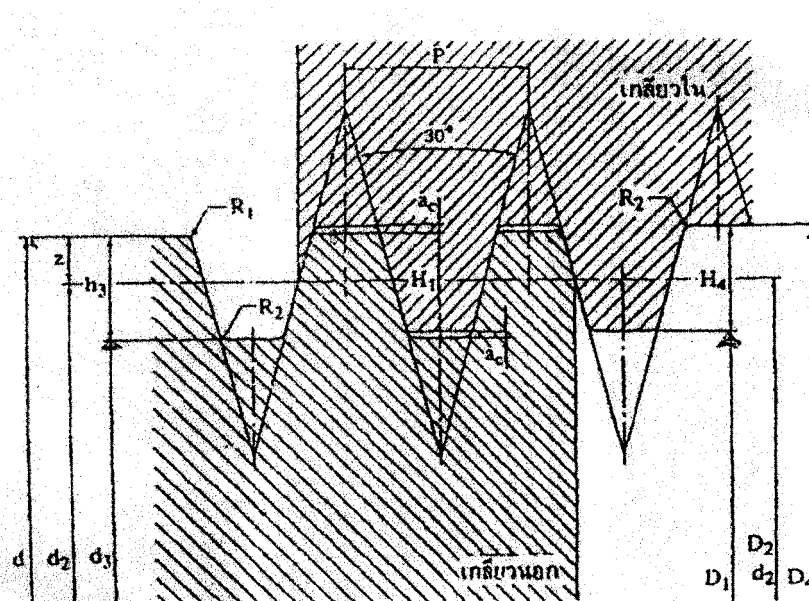


รูปที่ ก.2 มุมหลีด

เลี้นผ่านศูนย์กลางใหญ่เป็นเลี้นผ่านศูนย์กลางที่ใหญ่ที่สุดของสกรู ซึ่งนับรวมถึงความสูงของ เกลียวตัวย ขนาดระบุ (Nominal size) ของสกรูส่วนกำลังจะบอกโดยใช้ขนาดเลี้นผ่านศูนย์กลางใหญ่เสมอ เลี้นผ่านศูนย์กลางน้อยเป็นเลี้นผ่านศูนย์กลางที่เล็กที่สุดของสกรู

ก.2 เกลียวสีเหลี่ยมคงที่ตามมาตรฐานไอเอสโอด

ขนาดเกลียวสีเหลี่ยมคงที่ตามมาตรฐานไอเอสโอด บอกมิติต่าง ๆ เป็น mm. และมีมุมของ เกลียว $2\varnothing$ เท่ากับ 30° ขนาด ต่าง ๆ ของสกรูส่วนกำลังชนิดนี้ดังแสดงในรูปที่ ก.3



รูปที่ ก.3 ขนาดต่าง ๆ ของเกลียวสีเหลี่ยมคงที่

หมายเหตุ

a_c คือ ช่องว่างบนยอดฟัน

D_4 คือ เลี้นผ่านศูนย์กลางใหญ่ของเกลียวใน

D_1 คือ เลี้นผ่านศูนย์กลางน้อยของเกลียวใน

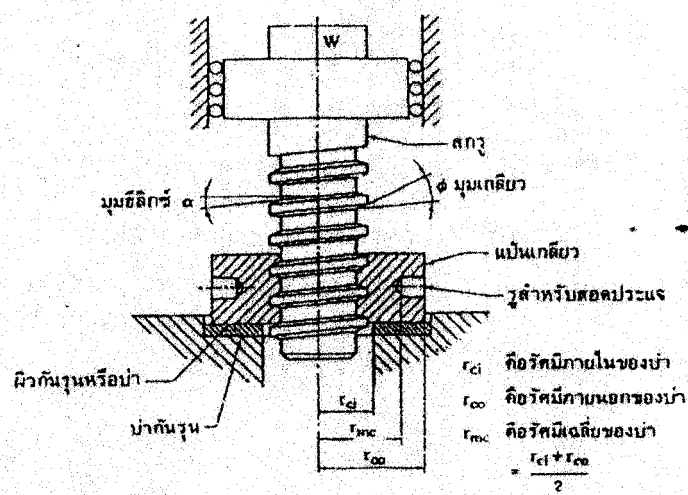
D_2 คือ เลี้นผ่านศูนย์กลางพิเศษของเกลียวใน

d คือ เลี้นผ่านศูนย์กลางใหญ่ของเกลียวนอก (เป็นขนาดระบุด้วย)

d_3 คือ เลี้นผ่านศูนย์กลางน้อยของเกลียวนอก

ก.3 โมเมนต์ปิดสำหรับมุมสกรูส่งกำลัง

พิจารณาสกรูส่งกำลังดังภาพที่ 6 ซึ่งมีมุมชีลิกซ์ α องศา และมุมเกลียวของสกรู ϕ องศา ในการยกน้ำหนัก W ขึ้นลง ทำได้โดยการหมุนเป็นเกลียว ซึ่งต้องยื่นที่รองรับ เรียกว่า บ่า (Collar) สมมติให้แรง F ที่ใชยกน้ำหนักขึ้นกระทำอยู่บนเกลียวที่มีรัศมีเฉลี่ยของสกรู $r_m = (r_0 + r_i)/2$ ณ ตำแหน่งที่ 0 ดังรูปที่ ก.4 ในขณะที่ยกน้ำหนักขึ้นจะมีแรงเสียดทาน F_f กระทำบนผิวน้าของเกลียวด้านการเคลื่อนที่ของสกรู



รูปที่ ก.4 ตัวอย่างการใช้สกรูส่งกำลังเป็นแม่แรง

หมายเหตุ

F_n คือ แรงปฏิกิริยาซึ่งมีทิศตั้งฉากกับผิวน้าของเกลียว

OA คือ เวกเตอร์ของแรงที่มีขนาดเท่ากับน้ำหนัก W แต่ทิศทางตรงข้าม

OB คือ เวกเตอร์ของแรงรวมระหว่าง F_f และ OA

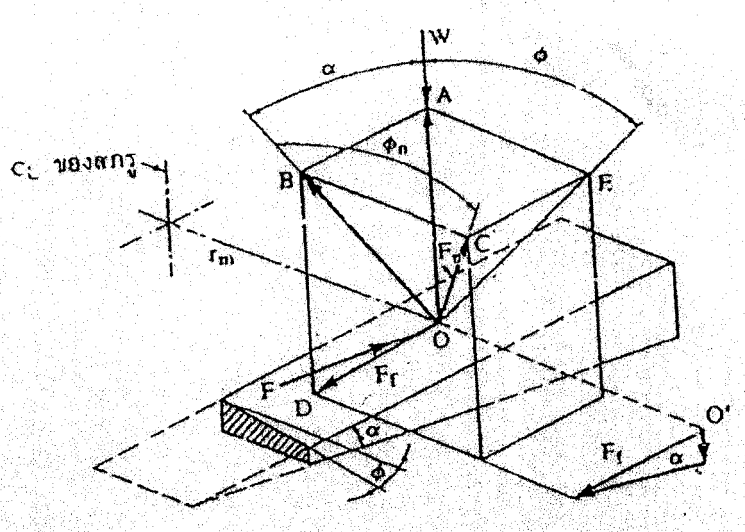
fs คือ สัมประสิทธิ์ของความเสียดทานระหว่างผิวน้าของเกลียวและเปลี่ยนเกลียว

รวมแรงในแนวตั้งจะได้

$$F_n \cos \phi_n \cos \alpha = W + F_f \sin \alpha$$

แต่ $F_f = f_s F_n$ แทนค่าลงในสมการข้างบนนี้จะได้ว่า

$$F_n = \frac{W}{\cos \phi_n \cos \alpha - f_s \sin \alpha} \quad (\text{ก.2})$$



รูปที่ ก.5 แผนภาพแรงปฏิกิริยานเกลียวเนื่องจากการยกน้ำหนัก W

ในการโมเม้นต์ที่เกิดจากการใช้แรง F เพื่อยกน้ำหนักขึ้น ให้รวมโมเมนต์รอบแกนกลางของสกรู

$$T_R = F r_m = r_m [F_f \cos \alpha + F_n \cos \phi_n \sin \alpha]$$

$$T_R = r_m [f_s F_n \cos \alpha + F_n \cos \phi_n \sin \alpha]$$

แทนค่า F_n จากสมการที่ (ก.2) ลงในสมการข้างบน และให้ d_m แทนเส้นผ่านศูนย์กลางเฉลี่ยของ สกรู จะได้โมเมนต์บิดที่ใช้ในการยกน้ำหนัก

$$\begin{aligned}
 T_R &= \frac{Wd_m}{2} \left[\frac{F_s \cos \alpha + \cos \theta_n \sin \alpha}{\cos \theta_n \cos \alpha - f_s \sin \alpha} \right] \\
 &= \frac{Wd_m}{2} \left[\frac{F_s \cos \theta_n \tan \alpha}{\cos \alpha - f_s \sin \alpha} \right]
 \end{aligned} \tag{ก.3}$$

ในการใช้สมการที่ (2) จำเป็นที่จะต้องทราบมุม θ_n ซึ่งสามารถหาได้โดยพิจารณารูปที่ ก.6 ดังนี้

$$\tan \theta_n = \frac{BC}{OB}$$

แต่ $BC = AE = OA \tan \theta = OB \cos \alpha \tan \theta$

$$\text{เพราะฉะนั้น } \tan \theta_n = \cos \alpha \tan \theta \tag{ก.4}$$

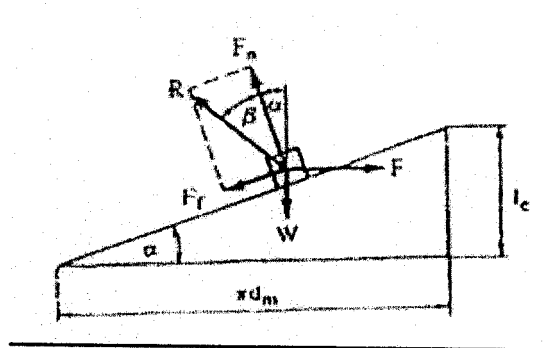
โดยปกติแล้วมุมขีลิกซ์ α จะมีค่าน้อย (ประมาณ 2° ถึง 6°) ดังนั้นค่าของ $\cos \alpha$ จึงเกือบเท่ากับ 1 ฉะนั้นเพื่อความสะดวกในการคำนวณทั่ว ๆ ไป จึงอนุญาตให้ใช้ $\theta_n = \theta$ ได้ ซึ่งทำให้เขียนสมการที่ (ก.3) ใหม่ได้เป็น

$$T_R = \frac{Wd_m}{2} \left[\frac{f_s + \cos \theta_n \tan \alpha}{\cos \theta - f_s \tan \alpha} \right] \tag{ก.5}$$

ในกรณีของสกรูส่งกำลังที่มีเกลียวสี่เหลี่ยม มุม $\theta = 0$ จากสมการที่ (ก.5) จะได้ไมเมนต์บิดที่ใช้ยกน้ำหนัก W เท่ากับ

$$T_R = \frac{Wd_m}{2} \left[\frac{f_s + \tan \alpha}{1 - f_s \tan \alpha} \right] \tag{ก.6}$$

ถ้าพิจารณาจากภาพที่ 8 จะเห็นได้ว่า ในกรณีของเกลียวสี่เหลี่ยม แรง F_n จะเท่ากับ OB ซึ่งถ้าให้นำเกลียวจำนวนหนึ่งรอบมาคลื่อออกแล้ว จะได้ระบบของแรงที่เห็นได้ชัดเจนกว่า ดังรูปที่ ก.5 โดยที่มุม β เรียกว่า มุมความเสียดทาน ซึ่ง $\tan \beta = f_s$



รูปที่ ก.6 แรงปฏิกิริยานเกลียวสีเหลี่ยม

เมื่อรูนแรงในแนวตั้งและแนวระดับจะได้

$$W = R \cos(\alpha + \beta)$$

$$F = R \sin(\alpha + \beta)$$

$$\text{หรือ } F = W \tan(\alpha + \beta)$$

$$\text{ดังนั้น } T_R = \frac{Wd_m}{2} = \frac{Wd_m}{2} \tan(\alpha + \beta)$$

$$= \frac{Wd_m}{2} \left[\frac{\tan \beta + \tan \alpha}{1 - \tan \beta \tan \alpha} \right]$$

$$\text{หรือ } T_R = \frac{Wd_m}{2} \left[\frac{f_s \tan \alpha}{1 - f_s \tan \alpha} \right]$$

$$= \frac{Wd_m}{2} \tan(\alpha + \beta)$$

ซึ่งเหมือนกับสมการที่ (ก.6) ที่ได้หามาแล้ว

ในการหมุนสกรู เพื่อยกน้ำหนักลงแรง F และ F_f ดังรูปที่ ก.6 จะกลับทิศทาง การหาสูตรก็ทำได้ ในทำนองเดียวกันกับการยกน้ำหนักขึ้น ซึ่งจะได้สมการดังนี้คือ

สำหรับสกรูที่มีมุนเกลียว φ องศา

$$T_L = \frac{Wd_m}{2} \left[\frac{f_s + \cos\phi \tan\alpha}{\cos\phi - f_s \tan\alpha} \right] \quad (ก.7)$$

สำหรับเกลียวสี่เหลี่ยม

$$\begin{aligned} T_L &= \frac{Wd_m}{2} \tan(\alpha + \beta) \\ &= \frac{Wd_m}{2} \left[\frac{f_s + \cos\phi \tan\alpha}{\cos\phi - f_s \tan\alpha} \right] \end{aligned} \quad (ก.8)$$

นอกจากแรงที่กระทำต่อสกรูส่งกำลังดังที่ได้กล่าวมาแล้ว สกรูในรูปที่ ก.6 ยังมีแรงเสียดทานที่บ่าร่องรับอีกด้วย แรงเสียดทานนี้ทำให้ต้องใช้แรงหรือโมเมนต์บิดในการยกน้ำหนัก หรือลงมากขึ้น ถ้าให้ f_c แทนสัมประสิทธิ์ความเสียดทานระหว่างผิวน้ำของบ่าร่องรับ และแป้นเกลียว แรงเสียดทานจะมีค่าเท่ากัน

$$F_c = f_c W$$

ถ้าสมนติให้แรงเสียดทานนี้กระทำที่รัศมีเฉลี่ยของบ่าร่องรับ r_{mc} โมเมนต์บิดที่ต้องใช้เพื่อเอาชนะความเสียดทานนี้คือ

$$T_{fc} = r_{mc} f_c W$$

ดังนั้นจากสมการที่ (ก.5) ถึงสมการ (ก.8) โมเมนต์บิดที่ต้องใช้ในการยกน้ำหนักขึ้น หรือลงสำหรับสกรูส่งกำลังที่มีมุมเกลียว ϕ และ 0 องศา คือ

$$\text{มุมเกลียว } \phi \text{ องศา} \quad T_R = \frac{Wd_m}{2} \left[\frac{f_s + \cos\phi \tan\alpha}{\cos\phi - f_s \tan\alpha} \right] + r_{mc} f_c W \quad (ก.9)$$

มุนเกลี่ยว 0 องศา (เกลี่ยสี่เหลี่ยม)

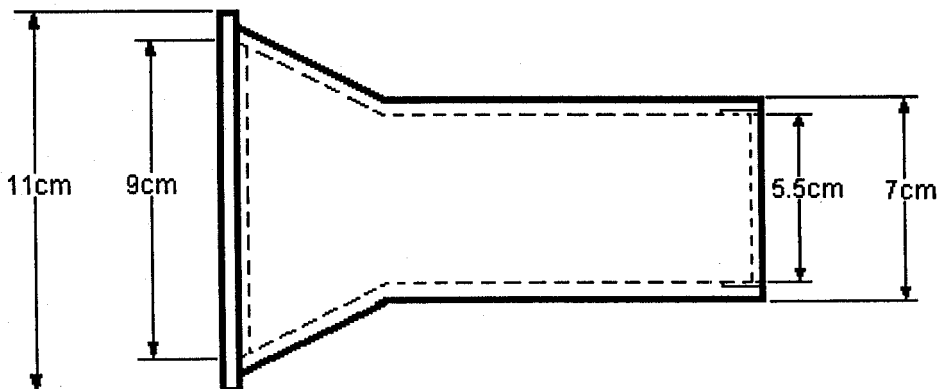
$$T_R = \frac{Wd_m}{2} \left[\frac{f_s + \tan \alpha}{1 - f_s \tan \alpha} \right] + r_{mc} f_c W \quad (\text{ก.10})$$

$$\text{มุนเกลี่ยว } \emptyset \text{ องศา} \quad T_L = \frac{Wd_m}{2} \left[\frac{f_s + \cos \emptyset \tan \alpha}{\cos \emptyset - f_s \tan \alpha} \right] + r_{mc} f_c W \quad (\text{ก.11})$$

ก.4 การออกแบบหัวอัด 5.5 cm

เนื่องจากต้องการก้อนฟางที่มีขนาดเล็กลงกว่าเครื่องตันแบบเดิม เพื่อให้ได้ก้อนฟางที่มีมีขนาดเล็กลงสามารถนำไปใช้ได้ง่ายขึ้น

อย่างไรก็ตามหากออกแบบให้ก้อนฟางมีขนาดเล็กเกินไปอาจจะเกิดปัญหาการอุดตันในหัวอัดได้ เนื่องจากแรงเสียดทานที่สูงเกินไปในการศึกษานี้ได้ทดลองออกแบบให้หัวอัดที่ทางออกแบบมีขนาด 5.5 cm ดังภาพ โดยมีมุมกรวยยอดประมาณ 31.42 องศา

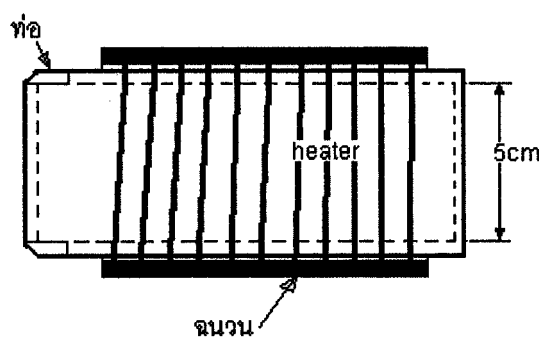


รูปที่ ก.7 หัวอัด

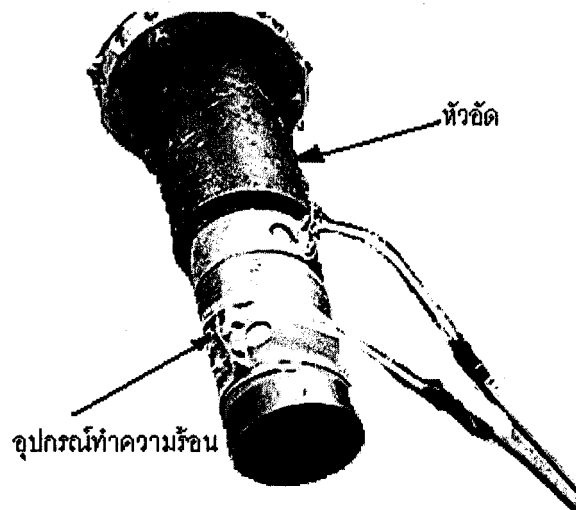
ก.5 การออกแบบอุปกรณ์ทำความร้อน

ในการออกแบบและจัดทำอุปกรณ์ทำความร้อน นำท่อที่ซึ่งมีขนาดเท่ากับหัวอัดคือขนาดเส้นผ่านศูนย์กลาง 5.5 cm ทำการกลึงเกลียวเพื่อสวมเข้ากับหัวอัดให้รอยต่อสนิทที่สุด จัดชื้อชุดลวดคอยล์ร้อนเพื่อนำมาติดตั้งที่ท่อ ติดตั้งที่ผนังทางด้านนอกของห้อง ซึ่งอุปกรณ์ทำความร้อนแบบแผ่นที่ใช้กันในเครื่องทำความร้อน และเลือกแผ่นความร้อนที่ใช้ในการต้มน้ำร้อน เพราะสะดวกในการติดตั้ง การติดตั้งแผ่นความร้อนโดยไม่ตัดครึ่งแต่อย่างใด โดยการพันรอบห่อท่อที่มีลักษณะเป็นทรงกระบอกและใช้ตัวรัดหัวและท้ายเพื่อป้องกันการหลุด

แผ่นความร้อนมีกำลังทางไฟฟ้าเท่ากับ 1 kW ซึ่งให้ความร้อนที่อุณหภูมิสูงสุดประมาณ 500 องศาเซลเซียส



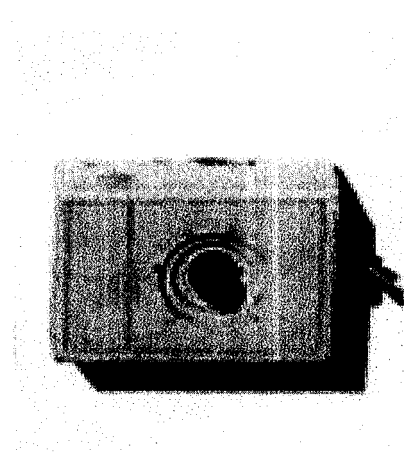
รูปที่ ก.8 แบบอุปกรณ์ทำความร้อน



รูปที่ ก.9 อุปกรณ์ทำความร้อน

ก.6 อุปกรณ์หรีไฟ

อุปกรณ์ควบคุมความร้อน โดยการใช้ชุดหรีไฟนำมาร่วมควบคุมความร้อน คือสามารถเพิ่มและลดกระแสได้ ทำการทดลองประกอบวงจรและทดลองการทำงานของวงจรหรีไฟ ผลที่ได้คือสามารถปรับอุณหภูมิได้หลายระดับตามที่ต้องการ อุณหภูมิที่ต่ำสุดคือ 0 องศา และอุณหภูมิสูงอยู่มากกว่า 500 องศา



รูปที่ ก.10 อุปกรณ์หรีไฟ

ภาคผนวก ข
การออกแบบเตาเผา

การออกแบบเตาเผาเชื้อพลังน้ำมันด้วยหลัง

เนื่องจากข้อมูลเกี่ยวกับการออกแบบเตาไม่เพียงพอ โดยเฉพาะคุณสมบัติของฟาง จะน้ำใน การออกแบบจึงใช้วิธีการประมาณ ซึ่งทราบว่าฟางข้าวมีค่าความร้อนในการเผาใหม่และค่าความหนาแน่นอยู่ระหว่าง กลบกับไม้ และในการออกแบบเตาปริมาตรจะมีค่าเบรพันตามค่าดังกล่าว จึงออกแบบ เตาให้มีปริมาตรอยู่ระหว่างเตาเผาสำหรับเชื้อเพลิงจากไม้และกลบ ดังแสดงต่อไปนี้

ข้อมูลการออกแบบ Gasifier จากเชื้อเพลิงไม้ [1]

กำหนด

เวลาในการเผา	= 8 hr
อัตราการไหลของอากาศที่ใช้	= $3 \times 10^{-3} \text{ m}^3/\text{s}$
อัตราการบริโภคไม้	= 5.33 Kg/hr
ใช้ปริมาณไม้ทั้งสิ้น	= 42.64 Kg
ค่า Bulk density ของไม้	= 288 Kg/m ³
ปริมาตรไม้ที่ต้องการ	42.64 / 288
	≈ 0.15 m ³

(ค.1)

ข้อมูลการออกแบบ Gasifier จากเชื้อเพลิง

กำหนด

เวลาในการเผา	= 8 hr
อัตราการไหลของอากาศที่ใช้จากเครื่องอัดอากาศ	
อัตราการบริโภคกลบ	= 0.083 m ³ /hr
ปริมาตรแกลบที่ต้องการ	0.083 X 8 = 0.67 m ³
ค่า Bulk density ของกลบ	= 136 Kg/m ³
*** ค่า Bulk density ของฟาง	= 165.08 Kg/m ³

(ค.2) (ผู้จัดทำ)
(ค.3) (คณะเกษตรฯ ม.อุบลฯ)

จาก (ค.1), (ค.2), (ค.3) และสมการ

$$\text{ปริมาตรเชื้อเพลิงที่ต้องการ หรือปริมาตรเตา} = \frac{\text{ปริมาณเชื้อเพลิงที่ใช้}}{\text{Bulk density ของเชื้อเพลิง}}$$

ดังนั้น $0.15 \text{ m}^3 < \text{ปริมาตรเตาเผาฟางที่ใช้} < 0.67 \text{ m}^3$ ทั้งนี้เนื่องจากข้อมูลเกี่ยวกับ เชื้อเพลิงที่ใช้ (ฟางอัด) เป็นข้อมูลเฉพาะซึ่งมิได้หลายค่า โดยจะเก็บได้ภายหลังจากการทดลองของ โครงการนี้ และนอกจากนั้นค่าคง ฯ จากการเผาซึ่งอยู่กับปัจจัยอื่น ๆ อีก ซึ่งอยู่กับเงื่อนไขและ สภาวะในการเผา เช่น ค่าความเร็วหรือปริมาตรของอากาศที่จ่ายเข้าไปช่วยในการเผาใหม่ จะนั้น การออกแบบเตาจึงสามารถกำหนดได้อย่างหลากหลาย ในที่นี้จึงเลือกใช้ขนาดเตา 0.65 m^3

ขนาดของเตา ($h = 2d$)

$$d^3 = 0.65 \times 4 / 2\pi = 0.414 \text{ m}^3$$

$$d \approx 0.75 \text{ m}; h = 2d \approx 1.50 \text{ m}$$

Throth สำหรับแกลบ [1]

เตาผลิตแก๊สแบบ Double throat

$$\text{Hearth Load for Downdraft Gasifier} = (0.3 - 0.9) \text{ Nm}^3 / \text{hr-Cm}^2$$

$$\text{กำหนดค่า Hearth Load} = 0.5 \text{ Nm}^3 / \text{hr-Cm}^2 (\text{อ.เกรียงศักดิ์ ชุนไชย และ รศ.อุทิศ ทิมะคุณ})$$

$$\text{อัตราการผลิตแก๊ส} 15 - 20 \text{ m}^3 / \text{hr}$$

$$\text{กำหนดค่า อัตราการไหลแก๊ส} = 20 \text{ m}^3 / \text{hr}$$

$$\therefore \text{พื้นที่ Throat} = 20 / 0.5$$

$$= 40 \text{ Cm}^2$$

$$\text{เส้นผ่านศูนย์กลางของ Throat ทางออก} \approx 7.15 \text{ Cm}$$

ผลิตภัณฑ์ที่ Throat ทางออก คิดเป็น 25.7 %

ผลิตภัณฑ์ที่ First Throat คิดเป็น 100 %

$$\text{เส้นผ่านศูนย์กลางของ First Throat} = (7.15 \times 100) / 25.7 = 27.82 \text{ cm}$$

เส้นผ่านศูนย์กลางของห่อจ่ายอากาศเข้าสู่เตา

$$\text{กำหนดอัตราการไหลของอากาศที่ใช้} = 4.46 \times 10^{-3} \text{ m}^3/\text{s}$$

$$\text{ความเร็วของอากาศที่ใช้} = 2.20 \text{ m/s}$$

จาก $Q = Av$

$$A = (4.46 \times 10^{-3} \text{ m}^3/\text{s}) / (2.20 \text{ m/s})$$

$$A = 0.0020 \text{ m}^2$$

ดังนั้น จะใช้ห่อจ่ายอากาศเข้าสู่เตาเส้นผ่านศูนย์กลางขนาด 50.8 mm

** ตารางละเอียดของแบบเตาเผาได้ในภาคผนวก ง.

**ภาคผนวก ค
ผลการวิเคราะห์องค์ประกอบของฝ่างข้าว**



รายได้แผ่นดิน

เลขที่ 038

เล่มที่ 088

DEPARTMENT OF SCIENCE SERVICE
MINISTRY OF SCIENCE AND TECHNOLOGY
RAMA VI ROAD, RATCHATHEWI DISTRICT
BANGKOK 10400
TEL. 0-2201-7000, FAX 0-2245-5001

กรมวิทยาศาสตร์บริการ
กระทรวงวิทยาศาสตร์และเทคโนโลยี
ถนนพระรามที่ 6 เขตราชเทวี
กรุงเทพฯ 10400
โทรศัพท์ 0-2201-7000, โทรสาร 0-2245-5001
เลขประจำตัวผู้เสียภาษีอากร 4101034070

ต้นฉบับใบเสร็จรับเงิน

วันที่ 31 มี.ค. 2547

ได้รับเงินจาก ศูนย์วิจัยรวมศาสตร์ มหาวิทยาลัยอุบลราชธานี

ที่อยู่ ต.บ้านเก้า หมู่ 9 วารินชำราบ อุบลราชธานี 34190

รายการ		จำนวนเงิน
<input checked="" type="checkbox"/> ค่าวิเคราะห์	ฟ้างขาว	1
<input type="checkbox"/> ค่าสอบเที่ยบเครื่องมือ		ตัวอย่าง 3,000.00
<input type="checkbox"/> ค่าธรรมเนียมฝึกอบรม		
<input type="checkbox"/> ค่าแปล	ฉบับ	
<input type="checkbox"/> CERTIFICATE	ฉบับ	
<input type="checkbox"/> ค่าไฟฟ้า-ค่าน้ำประปา		
<input type="checkbox"/> ค่ากำเชิงัก ณ ที่จ่าย 1% ตาม ม.69 ทว. ในใบเสร็จรับเงินเล่มที่		
เลขที่ ลงวันที่ จำนวนเงิน		
<input type="checkbox"/> อืนๆ		
รวมเงินทั้งสิ้น		3,000.00

รับชำระเป็น เงินสด เช็คธนาคาร

หมายเหตุ ลงวันที่ จำนวนเงิน บาท

หมายเหตุ - ในการนี้ชำระด้วยเช็คใบเสร็จรับเงินนี้จะ สมบูรณ์ถือเมื่อเช็คนั้นเรียกเก็บเงินได้

- โปรดนำไปใบเสร็จรับเงินนี้มาด้วยเมื่อวันมาตราดิเคราะห์

- หักเปลี่ยนใบเสร็จรับเงินเลขที่ เล่มที่ ลงวันที่ เงิน บาท

ลงชื่อ ผู้รับเงิน
นางสาว ภาณุรัตน์
(..... พนักงานการเงินและเบ็ดเตล็ด)



ที่ วท 0306/ 5903

ถึง คณะวิศวกรรมศาสตร์ มหาวิทยาลัยอุบลราชธานี (ต.บ้านครรโข)

กรมวิทยาศาสตร์บริการขอส่งรายงานการตรวจ วิเคราะห์ ทดสอบ วัตถุตัวอย่าง ตาม คำร้อง
ลงวันที่ 30 มีนาคม 2547 เลขรับ 2218 วันที่ 30 มีนาคม 2547

ซึ่งกรมวิทยาศาสตร์ฯ ได้รับเมื่อวันที่ 30 มีนาคม 2547



โครงการเคมี
โทร.0 2201 7216-7

รายงานการตรวจ วิเคราะห์ ทดสอบ

ชื่อวัตถุตัวอย่าง เครื่องหมาย หมายเลข

ตามที่ผู้ส่งเรียก ที่ระบุตัวอย่าง ปฏิบัติการ

			As-Received Basis	Dry Basis
พางข้าว	-	XE.764	Ash, %	11.8 13.0
			Volatile matter, %	61.0 67.5
			Fixed carbon, %	17.7 19.5
			Carbon, %	39.2 43.3
			Hydrogen, %	5.4 4.8
			Nitrogen, %	0.63 0.70
			Oxygen, %	42.9 38.1

[Signature] *[Signature]*
(นางสาวสวรรยา เอื้อพันธุ์)
นักวิทยาศาสตร์ 5

ค่าธรรมเนียมการวิเคราะห์ 2,700.00 บาท (สองพันเจ็ดร้อยบาทถ้วน)

รายงานนี้ : - รับรองเฉพาะวัตถุตัวอย่างที่ได้ตรวจ วิเคราะห์ ทดสอบ เท่านั้น
- ไม่รับรองวัตถุหรือสิ่งใดๆ ที่ใช้รายงานนี้ในการโฆษณาหรือล้างถัง

ภาคผนวก ง

ผลงานตีพิมพ์เกี่ยวเนื่องจากการวิจัย

(จากการประชุมวิชาการเครือข่ายวิគิกรรมเครื่องกลแห่งประเทศไทยครั้งที่ 17, 15-17 ตุลาคม 2546,
จังหวัดปราจีนบุรี, paper no. IC003)

การศึกษาการผลิตก๊าซชีวมวลจากฟางข้าวโดยใช้เตาผลิตก๊าซชนิดไอลลง A Study of the Production of Biomass Gas from Rice Straw Using Downdraft Gasifier

อนิรุทธิ์ มัธยุจก*, กานมา เจนวิจิตรสกุล และ ฤลเดช พิยะทอง
ภาควิชาวิศวกรรมเครื่องกล คณะวิศวกรรมศาสตร์ มหาวิทยาลัยอุบลราชธานี
85 ถ.สหกรณ์ ต.เมืองศรีโค อ.วารินชำราบ จ.อุบลราชธานี 34190
โทร (6645)288400-3 โทรสาร (6645)288378 E-mail: A.Matthujak@ubu.ac.th

Anirut Matthujak*, Kasama Janvijitsakul and Kulachate Pianthong

Department of Mechanical Engineering, Faculty of Engineering, Ubonratchathani University
85 Satholmark Road, Muang Sriki Sub District, Warinchamrap District, Ubonratchathani 34190

บทคัดย่อ

งานวิจัยนี้เป็นการศึกษาด้านการทดลองถึงความเป็นไปได้ ในการนำเอافางข้าว ซึ่งเป็นวัสดุเหลือใช้ที่มีอยู่มากในประเทศไทยมาใช้เป็นเชื้อเพลิงในการผลิตก๊าซชีวมวลโดยเตาผลิตก๊าซชนิดไอลลง โดยในงานวิจัยนี้ได้ทำการออกแบบและสร้างเตาผลิตก๊าซชนิดไอลลง ซึ่งเตาชนิดนี้มีลักษณะเด่นคือ ก๊าซชีวมวลที่ได้จะมีปริมาณสิ่งปนเปื้อนที่เกิดจากกระบวนการ pyrolysis และ drying ต่ำ จึงหมายความว่า ก๊าซที่ได้นำก๊าซผลิตภัณฑ์ที่ได้ไปใช้ประโยชน์ นอกเหนือจากการนำไปเผาไหม้แล้ว สามารถผลิตก๊าซชีวมวล และศึกษาถึงพฤติกรรมที่เกิดขึ้นในระหว่างการผลิตก๊าซ จากผลการทดลองพบว่า เตาที่ทำการออกแบบและสร้างสามารถผลิตก๊าซชีวมวลได้จริง และ จากการศึกษาถึงอิทธิพลของอัตราการไหลของอากาศที่ใช้ในการเผาไหม้ที่ต่างกัน 3 ค่าคือ $8.83 \times 10^{-4} \text{ m}^3/\text{s}$, $9.8 \times 10^{-4} \text{ m}^3/\text{s}$ และ $11.78 \times 10^{-4} \text{ m}^3/\text{s}$ โดยใช้ระยะเวลาทดลอง 100 min/batch และใช้เชื้อเพลิง 10 kg/batch พบว่า ที่อัตราการไหลของอากาศ $9.8 \times 10^{-4} \text{ m}^3/\text{s}$ สามารถผลิตก๊าซชีวมวลได้ในปริมาณมากและส่วนผสมที่สุด โดยมีปริมาณ CO ที่ค่าสูงสุดถึง 3500 ppm ในส่วนของพฤติกรรมการผลิตก๊าซภายใต้ต่างๆ ที่เกิดขึ้นในเตา ได้แก่ การเปลี่ยนแปลงของอุณหภูมิภายในเตาตามแนวแกนซึ่งใช้อิบิยาพตุติกกรรมที่เกิดขึ้นในเตาผลิตก๊าซ แต่อย่างไรก็ตาม ในการผลิตก๊าซชีวมวลจากเตาชนิดนี้ ยังจำเป็นต้องศึกษาเพิ่มเติมเพื่อทำการแก้ไขและปรับปรุงก่อนการนำไปประยุกต์ใช้ในจริงต่อไป

คำสำคัญ (Keywords) : ฟางข้าว / การผลิตก๊าซชีวมวล / เตาผลิตก๊าซชนิดไอลลง

Abstract

This experimental study is to investigate the possibility of gasification from rice straw which are abundantly available in

Thailand. The downdraft gasifier is designed, constructed and tested. From the tests, biogas can really be produced in reasonable amount and period. The advantage of the downdraft gasifier is that the producer gas from pyrolysis and drying process are much more ready to be used because there is low deposit. The experiments of three difference inlet air flow rate were investigated; $8.83 \times 10^{-4} \text{ m}^3/\text{s}$, $9.8 \times 10^{-4} \text{ m}^3/\text{s}$ and $11.78 \times 10^{-4} \text{ m}^3/\text{s}$, with operating time of 100 min/batch and feed of 10 kg fuel/batch. The highest quantity and continuous flow of biomass gas is achieved from $9.8 \times 10^{-4} \text{ m}^3/\text{s}$ inlet air flow rate. This also offers the highest CO at about 3500 ppm. Characteristics of gasification process is examined by temperature gradient along the gasifier axis using 4 thermocouples. However, from this investigation further study is still required regarding to the problem of gas blockage and feed control before applying to practices.

Keywords : Rice straw / Gasification / Downdraft gasifier.

1. บทนำ

การใช้พลังงานในปัจจุบันส่วนใหญ่แล้วเป็นการนำไปใช้เชื้อเพลิงฟอสซิล (fossil fuel) จากได้พิพพ เช่น ถ่านหิน น้ำมัน แก๊สธรรมชาติ มาใช้ เป็นแหล่งพลังงานหลัก ยังผลให้เชื้อเพลิงฟอสซิลมีปริมาณลดลง และ ส่งผลต่อปัญหาด้านสิ่งแวดล้อมจากการใช้ในปริมาณที่เพิ่มขึ้น เช่น การสะสมแก๊สคาร์บอน dioxide ในบรรยากาศ อันเป็นสาเหตุการเกิด สภาวะเรือนกระจก และทำให้อุณหภูมิของโลกสูงขึ้น เป็นต้น จากสาเหตุดังกล่าว จึงมีความพยายามในการนำพลังงานอื่นมาทดแทนเชื้อเพลิงฟอสซิล เช่น พลังงานแสงอาทิตย์ พลังงานลม พลังงานน้ำ และ

* Corresponding author. Tel 045-288400-3 Ext 3815 Fax 045-288378

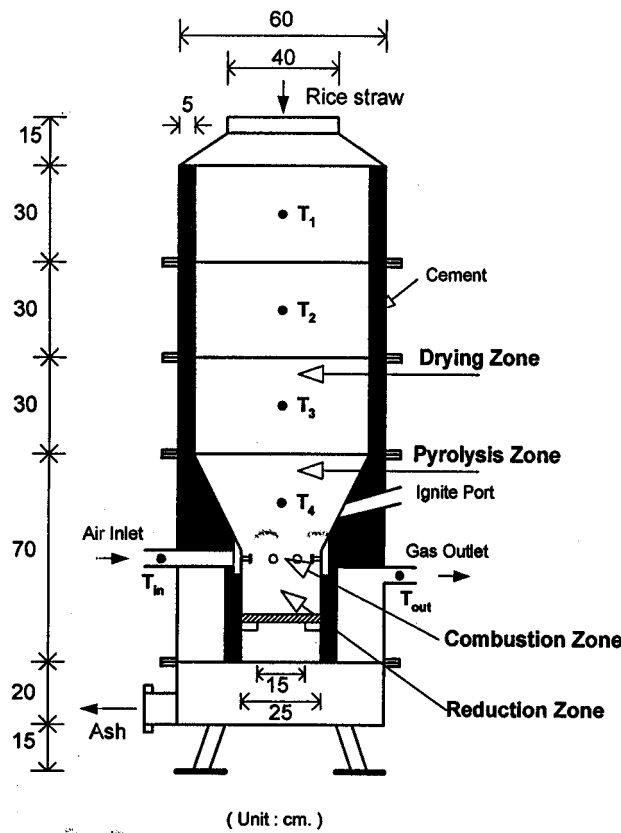
E-mail address : A.Matthujak@ubu.ac.th

เชื้อเพลิงชีวมวล เป็นต้น โดยเฉพาะอย่างยิ่งชีวมวลเป็นแหล่งพลังงานทดแทนที่สำคัญ เนื่องจากเป็นแหล่งพลังงานที่มีอยู่มากจากวัตถุดินที่เหลือใช้ในธรรมชาติและการเกษตร ซึ่งสามารถนำชีวมวลมาใช้เป็นเชื้อเพลิงได้โดยตรง หรือนำชีวมวลมาเปลี่ยนรูป (biomass energy conversion) ก่อนนำไปใช้เพื่อความสะดวกในการใช้งาน โดยเฉพาะการผลิตกําชีวมวล (gasification process) และการแยกส่วนด้วยความร้อน (pyrolysis process) ซึ่งเป็นกระบวนการเปลี่ยนรูปชีวมวลทางความร้อน (thermo-chemical conversion) ที่มีนักวิจัยหลายกลุ่มให้ความสนใจและทำการศึกษา อาทิเช่น McKendry [1] ได้อธิบายถึงกระบวนการและวิธีการต่างๆ ที่ใช้ในการเปลี่ยนรูปชีวมวล ซึ่งพบว่ากระบวนการเปลี่ยนรูปชีวมวล (biomass conversion) มี 2 กระบวนการหลักคือ การเปลี่ยนรูปทางชีวเคมี (bio-chemical conversion) และ การเปลี่ยนรูปโดยความร้อน (thermo-chemical conversion) ซึ่งนิยมใช้มาก ต่อมาเมื่อการผลิตกําชีวมวล (gasification) จากขยะเหลือทิ้งโดยเดาผลิตกําชีวันด้วยลง (downdraft gasifier) โดย Dogru และคณะ [2] พบว่าสามารถผลิตกําชีวมวลได้และสามารถนำกําชีวมวลที่ได้ไปใช้เป็นเชื้อเพลิงแทนเชื้อเพลิงฟอสซิล ในการผลิตกระแสไฟฟ้าได้ถึง 5 kW₀ โดยมีประสิทธิภาพเชิงความร้อนสูงถึง 40 % นอกจากนี้ยังพบว่าการใช้เดาผลิตกําชีวันด้วยลง มีข้อดีคือ กําชีวมวลที่ผลิตได้มีสิ่งปฏิกูลน้อย ทำให้เหมาะสมในการนำไปใช้ในเครื่องยนต์สันดาปภายใน (internal combustion engine) และอุปกรณ์อื่นๆ นอกจากนี้แล้ว ยังมีการผลิตกําชีวมวลจากเปลือกเมล็ดถั่วจากเดาผลิตกําชีวันด้วยลง โดย Dogru และคณะ [3] พบว่า กําชีวมวลที่ผลิตได้ให้ค่าความร้อน (calorific value) สูงถึง 5 MJ/m³ ซึ่งสามารถนำไปใช้ในเครื่องยนต์สันดาปภายในได้ นอกจากเปลือกเมล็ดถั่วยังนาเศษไม้มาใช้เป็นเชื้อเพลิงในการผลิตกําชีวมวลจากเดาผลิตกําชีวันด้วยลงเชิงกัน โดย Zainal และคณะ [4] ซึ่งได้ศึกษาถึงอิทธิพลของ equivalence ratio ที่มีผลต่อส่วนประกอบของกําชีวมวล ค่าความร้อนของกําชีวมวลและการผลิตกําชีวมวลพบว่า การเพิ่มขึ้นของการผลิตกําชีวมวล (gas flow rate per unit weight) จะเป็นสัดส่วนโดยตรงกับค่า equivalence ratio ค่าความร้อนของกําชีวมวลจะมีค่าสูงที่ค่า equivalence ratio ประมาณ 0.4 และส่วนประกอบของกําชีวมวลจะมีค่าแตกต่างกันไปตาม equivalence ratio ซึ่ง Chen [5] ได้อธิบายเพิ่มเติมว่า y คือ parameter ที่อธิบาย reactor temperature เวลาของสารระเหยที่อยู่ภายใน reactor และคุณสมบัติของเชื้อเพลิงชีวมวล ที่มีผลต่อการผลิตกําชีวมวล และยังพบว่าการผลิตกําชีวมวลโดยกระบวนการ pyrolysis และ gasification ยังมีข้อเสีย คือ สามารถผลิตกําชีวมวลได้ในปริมาณน้อย และเกิดการกัดกร่อน (corrosion) บริเวณท้ายน้ำ (downstream) ของอุปกรณ์ ต่อมา Wu และคณะ [6] ได้ทำการศึกษาถึงผลทางเศรษฐศาสตร์ในการผลิตไฟฟ้าจากกําชีวมวล ซึ่งพบว่ามีความเป็นไปได้ในการผลิตไฟฟ้าจากกําชีวมวล แต่จำเป็นต้องศึกษาเพิ่มเติม คือ 1. การกำจัดน้ำมันดิน (tar) และมลภาวะที่เกิดจากการผลิต 2. การเพิ่มประสิทธิภาพของ การผลิตกําชีวมวล ซึ่งจะเป็นการลดค่าไฟฟ้าลง และ 3. จำเป็นต้องคำนึงถึงการเรียกษาเชื้อเพลิงชีวมวลด้วยจากการวิจัยที่ผ่านมาพบว่า มีการศึกษาทดลองการผลิตกําชีวมวลจากเชื้อเพลิงชีวมวลต่างชนิดกันไป แต่การนำอาฟางเข้ามาซึ่งเป็นชีว-

มวลที่มีอยู่มากในประเทศไทย [7] มากเป็นเชือเพลิงในการผลิตกําชชีวมวลยังมีการศึกษาอยู่มาก จึงมีแนวคิดในการนำเอาฟางมาผลิตกําชชีวมวล โดยเดาผลิตกําชชีวมวลในแหล่ง เพื่อศึกษาและพัฒนากระบวนการผลิตกําชชีวมวลจากฟางข้าว และหาแนวทางในการนำกําชชีวมวลที่ผลิตได้ไปใช้ประโยชน์ อาทิ นำกําชชีวมวลที่ได้เป็นแหล่งเชื้อเพลิงในการอบผลิตภัณฑ์ทางการเกษตร หรือนำมาใช้กับเครื่องยนต์สันดาปภายในเพื่อใช้ในการผลิตไฟฟ้า เป็นต้น การทดลองในเอกสารนี้เป็นการทดลองเมื่อต้นในการผลิตกําชชีวมวล โดยมุ่งเน้นถึงพฤติกรรมเมื่อต้นที่เกิดขึ้นในระหว่างการผลิตกําชชีวมวล ซึ่งเป็นแนวทางในการนำไปสู่การพัฒนาการผลิตกําชชีวมวลอย่างมีประสิทธิภาพ และสามารถนำไปใช้ประโยชน์ต่อไป

2. อุปกรณ์และวิธีทำการทดลอง

อุปกรณ์การทดลองที่ใช้ในการผลิตก้าชชีวมวลจากฟางข้าว จะใช้ เตาเผาติดก้าชชีวมวลนิดไอลด์ (downdraft gasifier) ดังรูปที่ 1 แสดง อุปกรณ์การทดลอง ซึ่งมีส่วนประกอบหลักคือ ถังบรรจุเชื้อเพลิง (fuel hopper) combustion and reduction zone และ ชั้นเก็บเถ้า (ash pit) ในส่วนของถังบรรจุเชื้อเพลิง (fuel hopper) ทำมาจากเหล็กหนา 2 mm ม้วนเป็นรูปทรงกระบอกขนาดเส้นผ่าศูนย์กลาง 60 cm แบ่งออกเป็น 3 ส่วนซึ่งแต่ละส่วนสูง 30 cm โดยมีความสูงรวม 105 cm ส่วนบนสุด จะเป็นช่องใส่เชื้อเพลิงมีฝาปิดขนาดเส้นผ่าศูนย์กลาง 40 cm ผนังด้านในหล่อด้วยปูนทราย (cement) หนา 5 cm หากหัวที่ป้องกันความร้อนสูญเสียที่บริเวณผนังเดา ในส่วนของ combustion และ reduction zone โครงสร้างภายนอกทำจากเหล็กหนา 2 mm ม้วนเป็นรูปทรงกระบอกขนาดเส้นผ่าศูนย์กลาง 60 cm เชื่อมต่อกับกันด้วยบรรจุเชื้อเพลิง ซึ่งมีความสูง 70 cm. ภายใน combustion และ reduction zone สร้างจากเหล็กหนา 5 mm ม้วนเป็นรูปทรงกรวยสูง 40 cm โดยมีเส้นผ่าศูนย์กลางด้านบนของกรวย 50 cm และด้านล่างของกรวย 25 cm มี การหล่อปูนทรายไว้ระหว่างผนังเดาและผนังกรวย เพื่อป้องกันความร้อนสูญเสียของ combustion zone อาการที่ใช้ในการเผาให้มะถูกจำกัดโดย ท่อขนาดเส้นผ่าศูนย์กลาง 7.5 cm เข้าไปในช่องจ่ายอากาศขนาดกว้าง 2.5 cm ซึ่งเป็นลักษณะเดียวกันใน combustion zone สำหรับการจ่ายอากาศเข้าไปยังห้องเผาให้มีภายใน combustion zone จะช่วยลดการโดยทัวร์เดินขนาดเส้นผ่าศูนย์กลาง 7 mm จำนวน 6 ตัว ชั้น reduction zone มีท่อม้วนหนา 5 mm ขนาดเส้นผ่าศูนย์กลาง 25 cm เชื่อมต่อกับด้านล่างของกรวย ซึ่งมีความสูง 30 cm และถูกห่อหุ้มด้วยปูนทรายหนา 5 cm เช่นกัน บริเวณด้านล่างสุดจะเป็นตะแกรงรองรับเชื้อเพลิงที่จากเหล็กเส้นขนาด 5 mm มีระยะห่างระหว่างเหล็กเส้นประมาณ 4 cm ส่วนชั้นเก็บเถ้า (ash pit) สร้างจากเหล็กหนา 2 mm ม้วนเป็นรูปทรงกระบอกสูง 20 cm มีขนาดเส้นผ่าศูนย์กลาง 60 cm โดยมีช่องระบายเถ้าขนาด 15x15 cm และมีชาดังเพื่อให้เตาสูงจากพื้น 15 cm จำนวน 3 ชาน โดยที่ทุกชั้นจะเชื่อมต่อกันโดยใช้หน้ายาปลอก (flange) และยึดติดกันด้วยน็อต ซึ่งระหว่างหน้ายาปลอกจะมีประทึกน้ำเพื่อป้องกันการรั่วซึม พฤติกรรมของ การเผาให้มีภายในเตาผลิตก้าชชีวมวลชนิดไอลด์จะตรวจสอบโดยการวัดอุณหภูมิภายใน โดยใช้เทอร์โมคัพปีล์ชนิด K แบบ sheath จำนวน 4 ตำแหน่ง คือ T₁ ถึง T₄



รูปที่ 1 อุปกรณ์การทดลอง

ส่วนพุ่ติกรรมการผลิตก๊าซชีวมวลจะถูกตรวจสอบ โดยการวัดปริมาณการไห้ใหม่ โดยใช้ air flow meter แบบ hot wire และยังวัดอุณหภูมิของอากาศที่ใช้ในการเผาใหม่ (T_{in}) และอุณหภูมิของก๊าซชีวมวล (T_{out}) ลักษณะที่ได้จากเครื่องคัปเปิลจะถูกแสดงผลที่ data logger นอกจากนี้ ยังวิเคราะห์ส่วนประกอบเบื้องต้นของก๊าซชีวมวลโดยใช้ exhaust analyzer ซึ่งสามารถวิเคราะห์ค่าครบอนไดออกไซด์ (CO) ในลักษณะแห้งสีแห้ง (dry basis)

การทำการทดลองการผลิตก๊าซชีวมวลจากฟางข้าว เริ่มแรกโดยการเตรียมฟางข้าวจากเดิมที่เป็นเส้นขนาดยาวประมาณ 60 cm. ทำการย่อยขนาดฟางข้าวลงให้มีขนาดประมาณ 10 cm ถึง 25 cm และบรรจุในเตาประมาณ 10 kg และปิดฝา แล้วทำการเปิด瓦斯อากาศที่ใช้ในการเผาใหม่ หลังจากนั้นทำการจุดไฟที่ ignite port โดยการใช้ pilot flame เมื่อมีการผลิตก๊าซชีวมวลโดยมีก๊าซชีวมวลเหลืออยู่ทางท่อทางออกแล้ว ทำการทดสอบการติดไฟของก๊าซชีวมวลที่บริเวณปล่องทดสอบการติดไฟ แล้วทำการบันทึกผลการทดลองเพื่อใช้ในการอธิบายพัฒนาระบบของการผลิตก๊าซชีวมวล

3. ผลการทดลอง

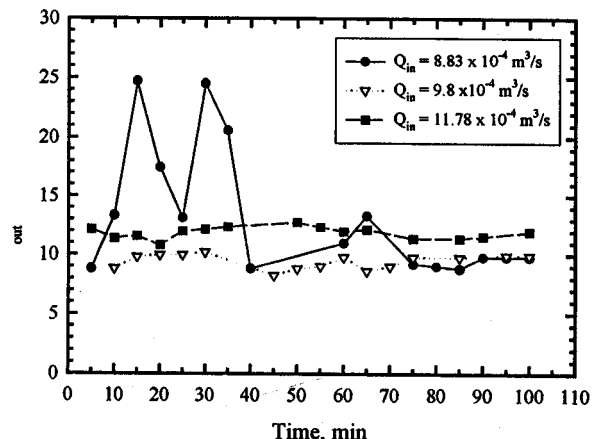
3.1 การทดลองเมืองตัน

รูปที่ 2 แสดงถึงลักษณะของฟางข้าวที่ใช้การผลิตก๊าซชีวมวล โดยทำการทดลองผลิตก๊าซชีวมวลจากฟางข้าว 2 ลักษณะคือ ฟางข้าวที่ไม่มีการย่อยขนาด และฟางข้าวที่มีการย่อยขนาด จากการทดลอง เมื่อใช้



(a) (b)

รูปที่ 2 ลักษณะของฟางข้าวที่ใช้ผลิตก๊าซชีวมวล



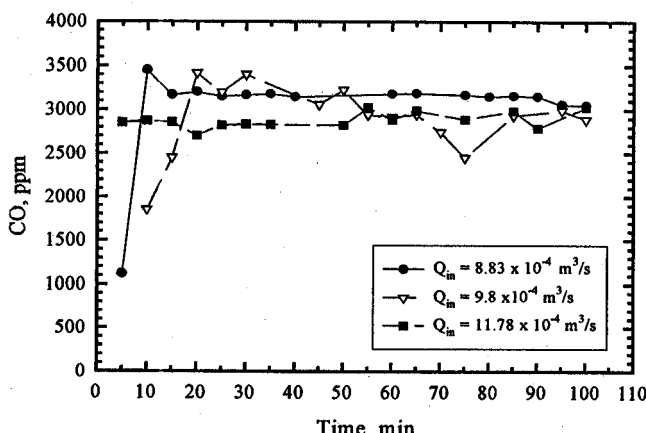
รูปที่ 3 อิทธิพลของอัตราการไหลของอากาศที่ใช้ในการเผาใหม่ต่อ อัตราการไหลของก๊าซชีวมวล Q_{out}

ฟางข้าวที่ไม่ได้ผ่านการย่อยขนาด (รูปที่ 2a) ซึ่งมีความยาวประมาณ 65 cm นำไปผลิตก๊าซชีวมวลพบว่า สามารถผลิตก๊าซชีวมวลได้ในช่วงตันๆ คือประมาณ 5 นาทีแรก หลังจากนั้นก็ไม่มีการผลิตก๊าซชีวมวล ต้องมีการกระถุงฟางจากด้านบน ซึ่งสามารถผลิตก๊าซต่อได้และต้องทำเช่นนี้อย่างเป็นระยะ เนื่องจากฟางข้าวที่มีลักษณะเป็นเส้นยาวมาก จึงทำให้เกิดการสานตัวกัน และหากกันเป็นกลุ่มโดยตัวอยู่บนชั้นบรรจุ เชื้อเพลิงเพราะ bulk density ของฟางข้าวมีค่าต่ำกว่าประมาณ 80 kg/m^3 [8] จึงไม่มีการไหลลงเพื่อใช้ในการเผาใหม่ส่งผลให้การเผาใหม่เกิดขึ้นอย่างไม่ต่อเนื่อง จากปัญหาดังกล่าวจึงทำการย่อยฟางข้าวให้มีขนาดสั้นลงเหลือประมาณ 10 cm ถึง 25 cm (รูปที่ 2b) พบว่า มีการสานตัวของฟางข้าวแน่นลง ทำให้เกิดการไหลลงของฟางข้าวเพื่อใช้ในการเผาใหม่และผลิตก๊าซต่อเนื่องมากขึ้น ดังนั้นในการทำการทดลองจึงจำเป็นอย่างยิ่งจะต้องมีการเตรียมฟางข้าวก่อนการทดลอง

3.2 อิทธิพลของอัตราการไหลของอากาศที่ใช้ในการเผาใหม่

รูปที่ 3 แสดงอิทธิพลของอัตราการไหลของอากาศที่ใช้ในการเผาใหม่ (Q_{in}) ต่ออัตราการไหลของก๊าซชีวมวล (Q_{out}) พบว่าที่อัตราการไหล $Q_{in} = 8.83 \times 10^{-4} \text{ m}^3/\text{s}$ ในช่วงเวลา 40 นาทีแรก การผลิตก๊าซชีว-

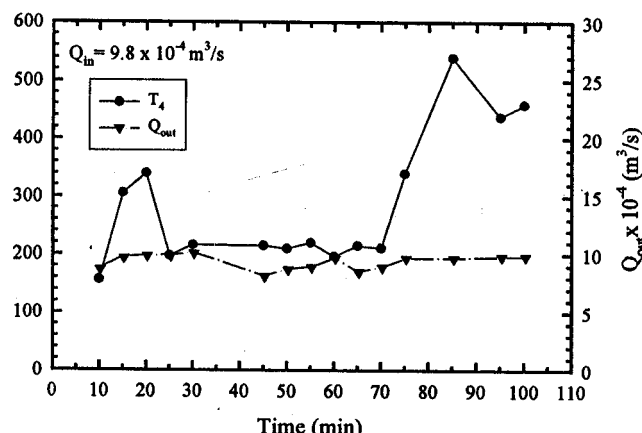
มวลเกิดขึ้นอย่างไม่ต่อเนื่องและไม่ส่งเสริมอ อาจเนื่องมาจากการไหลดของอากาศที่ใช้ในการเผาใหม้มีอยู่จนกินไป จึงส่งผลให้กระบวนการเผาใหม่เกิดขึ้นอย่างไม่ต่อเนื่อง จึงจำเป็นต้องใช้เวลาในช่วงเวลาหนึ่งเพื่อให้กลไกการเผาใหม่เกิดขึ้นอย่างต่อเนื่อง ส่วนอัตราการไหลดของอากาศที่ $Q_{in} = 9.8 \times 10^{-4} \text{ m}^3/\text{s}$ และ $Q_{in} = 11.78 \times 10^{-4} \text{ m}^3/\text{s}$ พบว่า ก้าชีวมวลที่ผลิตได้นั้นต่อน้ำหนักต่อเนื่องตลอดช่วงการไหลด แต่ที่ $Q_{in} = 11.78 \times 10^{-4} \text{ m}^3/\text{s}$ ก้าชีวมวลที่ผลิตได้มีปริมาณมากกว่าที่ $Q_{in} = 9.8 \times 10^{-4} \text{ m}^3/\text{s}$ ตลอดการไหลด เนื่องจากปริมาณอากาศใช้ในการเผาใหม่ที่มากกว่านั้นเอง แต่จากรูปที่ 4 แสดงอิทธิพลของอัตราการไหลดของอากาศที่ใช้ในการเผาใหม่ Q_{in} ต่อปริมาณ CO กลับพบว่าปริมาณ CO ซึ่งเป็นส่วนประกอบหลักของก้าชีวมวลและเป็นส่วนประกอบที่ปั่งบวกถึงคุณภาพของก้าชีวมวลที่ผลิตได้ ที่ $Q_{in} = 9.8 \times 10^{-4} \text{ m}^3/\text{s}$ มีปริมาณ CO เล็กน้อยกว่า 2900 ppm ตลอดช่วงเวลาทำการไหลด ซึ่งมีปริมาณมากกว่าที่ $Q_{in} = 11.78 \times 10^{-4} \text{ m}^3/\text{s}$ อันเนื่องมาจากที่ $Q_{in} = 9.8 \times 10^{-4} \text{ m}^3/\text{s}$ เกิดการเผาใหม่ที่ไม่สมบูรณ์มากกว่า ดังแม้ว่าปริมาณ CO ที่ผลิตได้ที่ $Q_{in} = 8.83 \times 10^{-4} \text{ m}^3/\text{s}$ จะมีปริมาณมากกว่าที่ $Q_{in} = 9.8 \times 10^{-4} \text{ m}^3/\text{s}$ คือ เล็กน้อยกว่า 3100 ppm ก็ตามแต่ที่ $Q_{in} = 9.8 \times 10^{-4} \text{ m}^3/\text{s}$ มีอัตราการไหลดของก้าชีวมวล



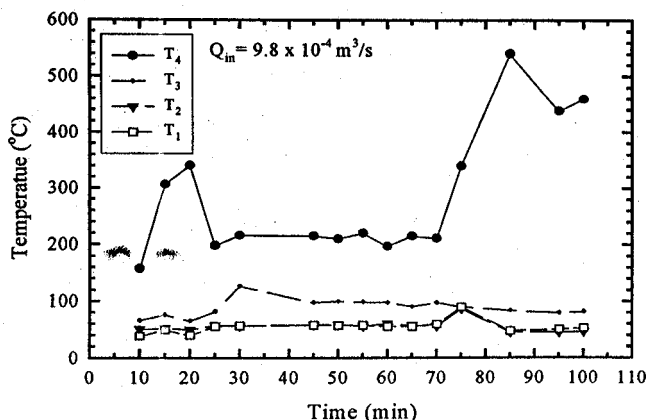
รูปที่ 4 อิทธิพลของอัตราการไหลดของอากาศที่ใช้ในการเผาใหม่ต่อปริมาณ CO

ที่ส่งเสริมกว่าดังนั้นในการไหลดจะใช้อัตราการไหลด $Q_{in} = 9.8 \times 10^{-4} \text{ m}^3/\text{s}$ ในการศึกษาพัฒนาระบบเวลาในการไหลดของก้าชีวมวล

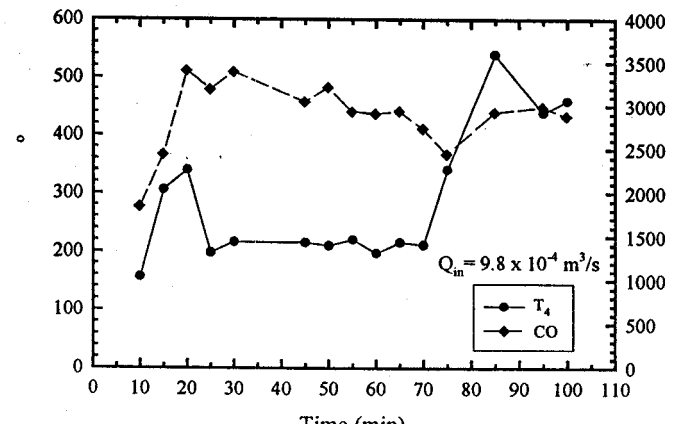
รูปที่ 5 แสดงความสัมพันธ์ระหว่างเวลาในการไหลดกับโครงสร้างทางความร้อนที่ $Q_{in} = 9.8 \times 10^{-4} \text{ m}^3/\text{s}$ พบว่าอุณหภูมิที่ต่ำแห่ง T_1 และ T_2 จะมีอุณหภูมิที่ใกล้เคียงกันซึ่งมีค่าประมาณ 50° C ถึง 100° C เช่นเดียวกับอุณหภูมิที่ต่ำแห่งที่ T_3 ถึงแม้ว่ามีอุณหภูมิสูงกว่าแต่มีค่าไม่เกิน 150° C ตลอดการไหลด ซึ่งเป็นอุณหภูมิที่ไม่สูงพอที่จะทำให้เกิดการสลายตัวของพลาสติก แต่ความชื้นในฝางข้าวจะถูกความร้อนทำให้ไอ้น้ำระเหยออกมาก โดยทั่วไปไอ้น้ำจะเหยายนอกมาจากเชื้อเพลิงที่อุณหภูมิประมาณ 100° C ถึง 200° C ดังนั้นเป็นไปได้ว่าหัวภายในฝางข้าวจะระเหยที่บริเวณ T_1 ถึง T_3 โดยบริเวณดังกล่าวถูกเรียกว่า drying zone สำหรับต่ำแห่ง T_4 พบว่ามีอุณหภูมิประมาณ 150° C ถึง 550° C เมื่อจากเป็นต่ำแห่งที่อยู่ใกล้กับบริเวณการเกิดกระบวนการเผาใหม่ ดังนั้นจึงได้รับความร้อนในปริมาณมากพอที่ทำให้เกิดการสลายตัวของสาร organic ในฝางข้าวทำให้ได้น้ำมันดิน (tar) ออกมาก ซึ่งโดยทั่วไปแล้วจะเกิดที่อุณหภูมิประมาณ 200° C ถึง 600° C ดังนั้นบริเวณ T_3 จึงเป็นชั้น pyrolysis zone



รูปที่ 6 ความสัมพันธ์ระหว่างเวลาในการไหลด กับอุณหภูมิที่ต่ำแห่ง T_4 และ ปริมาณก้าชีวมวล Q_{out}



รูปที่ 5 ความสัมพันธ์ระหว่างเวลาในการไหลดกับโครงสร้างทางความร้อน



รูปที่ 7 ความสัมพันธ์ระหว่างเวลาในการไหลด กับอุณหภูมิที่ต่ำแห่ง T_4 และ ปริมาณ CO



(a)



(b)

รูปที่ 8 ลักษณะเปลวไฟของการติดไฟของก้าชชีวมวล

รูปที่ 6 แสดงความสัมพันธ์ระหว่างเวลาในการทดลอง กับอุณหภูมิที่ต่ำแห่ง T₄ และ ปริมาณก๊าซชีวมวล Q_{out} พบว่า อุณหภูมิที่ต่ำแห่ง T₄ (pyrolysis zone) ไม่ส่งผลกระทบต่อการผลิตก๊าซชีวมวลที่ผลิตได้ตลอดช่วงการทดลอง อาจเนื่องจากจากสำหรับที่ต่ำอยู่ห่างจากบริเวณที่เกิดการผลิตก๊าซชีวมวลมาก จึงทำให้ผลของ T₄ ที่เปลี่ยนไปในช่วง 20 นาทีแรก และ ที่ช่วงเวลา 70 ถึง 110 นาที ซึ่งอาจเกิดจากการไหหลังฟางเข้าห้องที่ไม่สม่ำเสมอ จึงไม่มีผลต่อปริมาณก๊าซชีวมวลที่ผลิตได้ และด้วยเหตุผลเดียวกันสำหรับปริมาณ CO ดังรูปที่ 7 แสดงความสัมพันธ์ระหว่างเวลาในการทดลอง กับอุณหภูมิที่ต่ำแห่ง T₄ และ ปริมาณ CO ก็ไม่ได้รับผลกระทบจาก T₄ โดยตรงเช่นกัน จากผลการทดลองดังกล่าว จึงมีความจำเป็นอย่างยิ่งที่จะต้องศึกษาถึงโครงสร้างของอุณหภูมิภายในเตาเพิ่มเติม เพื่อป้องกันความสัมพันธ์ระหว่างอุณหภูมิกับปริมาณก๊าซชีวมวลต่อไป

รูปที่ 8 แสดงลักษณะเปลวไฟของการติดไฟของก๊าซชีวนะลที่อัตราการไหล $Q_{in} = 9.8 \times 10^{-4} \text{ m}^3/\text{s}$ พบว่า ในช่วง 30 นาทีแรก ลักษณะเปลวไฟที่ได้จะมีสีฟ้า ดังรูปที่ 8a ซึ่งจากสิ่งเปลวไฟของก๊าซชีวนะลที่ผลิตได้ในช่วงแรกอาจมี CH_4 . ในปริมาณมาก แต่เมื่อทำการผลิตก๊าซชีวนะลท่อไปพบว่าสีเปลวไฟของก๊าซชีวนะลจะเป็นสีเหลืองดังรูปที่ 8b ซึ่งเป็นลักษณะการติดไฟของก๊าซ CO

4 สรุปผลการทดลอง

จากการทดลองเมื่อต้นพบว่า มีความเป็นไปได้ในการผลิตก้าชชีวนะจากพ芳ช้ำว้า ซึ่งจำเป็นต้องมีการย่อยขนาดของพ芳ช้ำว้าก่อนที่การทดลอง เพื่อแก้ปัญหาการไหลลงที่ไม่ต่อเนื่องของพ芳ช้ำว้า และถ้าไปไวกีตามยังมีปัญหา และพฤติกรรมการผลิตก้าชชีวนะอีกมากที่จำเป็นต้องมีการศึกษาเพิ่มเติม เพื่อให้การผลิตก้าชชีวนะเป็นไปอย่างมีประสิทธิภาพ และสามารถนำไปใช้เป็นเครื่องเพลิงในการใช้งานจริงได้ต่อไปซึ่งมีหัวที่ต้องศึกษาดังนี้

1. ศึกษาถึงพฤติกรรมการเผาไหม้บริเวณ combustion zone และ reduction zone โดยการวัดอุณหภูมิบริเวณดังกล่าวเพื่อหาความสัมพันธ์กับรีบามาน ก้าชชีมวลที่ผลิตได้
 2. ก้าชชีมวลที่ผลิตได้ยังมีปริมาณน้อย และยังผลิตไม่ต่อเนื่อง จึงเป็นต้องมีการแก้ไขปรับปรุง
 3. ก้าชชีมวลที่ผลิตได้จากฟางข้าว จึงเป็นต้องมีการวิเคราะห์ส่วนประกอบและหาค่าความร้อน (calorific value) เพื่อนำไปสู่การใช้งานจริง

5. กิตติกรรมประกาศ

6. เอกสารอ้างอิง

- [1] P.McKendry "Energy Production from Biomass (part 2): Coversion Technologies", Bioresource Technology, 2002, Vol. 83, pp.47-54
 - [2] M.Dogru, Midill A. and Howarth C.R. "Gasification of Sewage Sludge Using a Throated Downdraft Gasifier and Uncertainty Analysis", Fuel Processing Technology, 2002, Vol. 75, pp.55-82
 - [3] M.Dogru, Howarth C.R., Akay G., Keskinler B. and Malik A.A. "Gasification of Hazelnut Shell in a Downdraft Gasifier", Energy, 2002, Vol. 27, pp.415-427
 - [4] Z.A.Zainal, Rifau A., Quadir G.A. and Seetharamu K.N. "Experimental Investigation of a Downdraft Biomass Gasifier", Biomass & Bioenergy, 2002, Vol. 23, pp.283-289
 - [5] G.Chen, Andries J., Luo Z. and Spliethoff H. "Biomass Pyrolysis/Gasification for Product Gas Production: the Overall Investigation of Parametric Effects", Energy Conversation & Management, 2003, Vol. 44, pp.1875-1884
 - [6] C.Z.Wu, Huang H. Zheng S.P. and Yin X.L. "An Economic Analysis of Biomass Gasification and Power Generation in China", Bioresource & Technology, 2002, Vol. 83, pp.65-70
 - [7] ស្តីពី ទស្សនកិច្ច, "ការគិតការងារដែលបានគេរៀនពីភាពផែនក្នុងប្រព័ន្ធដោយប្រើប្រាស់បច្ចេកវិទ្យាបណ្តុះបណ្តាល", វិទ្យាឌីជាមួយ និងវិទ្យាឌីបណ្តុះបណ្តាល, សាខាអនុវត្តន៍យុវជន, សាខាអនុវត្តន៍យុវជន, នគរាល់ខេត្តកណ្តាល, រាជធានីភ្នំពេញ, កម្ពុជា, ឆ្នាំ ២០១៣, ទំនាក់ទំនង ១-១២២
 - [8] A.Kaupp and Cross R.J. "Small Scale Gas Producer – Engine System", Enggerrich, 1984, pp.29-65

ภาคผนวก จ
ประวัติคณะผู้วิจัย

**ประวัติคณบดีวิจัย
หัวหน้าโครงการวิจัย**

1. ชื่อ(ภาษาไทย) ผศ.ดร. กุลเชษฐ์ เพียรทอง
(ภาษาอังกฤษ) Asst.Prof.Dr. Kulachate PIANTHONG
2. หมายเลขบัตรประจำตัวประชาชน 3 3499 00623 07 1
3. ตำแหน่งปัจจุบัน ผู้ช่วยศาสตราจารย์ ระดับ 8
ภาควิชาวิศวกรรมเครื่องกล
คณะวิศวกรรมศาสตร์ มหาวิทยาลัยอุบลราชธานี
อ. วารินชำราบ จ. อุบลราชธานี 34190
Email: K.Pianthong@ubu.ac.th
Telephone: 045-353 381 Fax: 045-353 333

4. ประวัติการศึกษา

ปี การศึกษา ^{ที่จบ}	ระดับปริญญา (ตรี โท เอก) และชื่อเต็ม	อักษรย่อ ปริญญา วิชา	สาขาวิชา	วิชาเอก	ชื่อสถาบัน การศึกษา	ประเทศ
2535	วิศวกรรมศาสตร์ บัณฑิต	ว.ศ.บ. (เครื่องกล)	วิศวกรรม เครื่องกล	-	มหาวิทยาลัย เทคโนโลยี พระจอมเกล้า ธนบุรี	ไทย
2540	มหาบัณฑิต	M.Eng.Sc. (Mechanical Engineering)	วิศวกรรม เครื่องกล	Refrigerati on and Air Conditioni ng design	The University of New South Wales	Australia
2545	ดุษฎีบัณฑิต	Ph.D. (Mechanical Engineering)	วิศวกรรม เครื่องกล	Combustio n hypersonic jets	The University of New South Wales	Australia

5. สาขาวิชาการที่มีความชำนาญพิเศษ: High-speed liquid fuel jets and shock wave characteristics, fuels & engine performance & engine emission, ejector refrigeration

6. ประสบการณ์ที่เกี่ยวข้องกับการบริหารงานวิจัยทั้งภายในและภายนอกประเทศ

- Heating-up Behaviour of Rotary Kiln in Cement Plant, TPI Polene Co. Ltd. Saraburi, THAILAND (1994)
- Hyper-velocity impact at Shock Wave Research Research Center, Institute of Fluid Sciences, Tohoku University, Sendai, JAPAN (1998)
- Combustion in Hypersonic Fuel jets at the Internal Combustion Engine Laboratory, The University of New South Wales, Sydney, AUSTRALIA. (1997-2001)
- Supersonic Liquid Fuel Jets at Interdisciplinary Shock Wave Research Center, Institute of Fluid Science, Tohoku University, Japan (during 2001-2004, เดินทางไปร่วมทำวิจัย 7 ครั้ง)
- งานวิจัย ขณะอยู่ที่ คณะวิศวกรรมศาสตร์ มหาวิทยาลัยอุบลราชธานี

ลำดับที่	ชื่อโครงการวิจัย	แหล่งทุน	ช่วงเวลาทำ โครงการ (ปีที่เริ่ม-สิ้นสุด)	ผู้ร่วมโครงการ
1	การออกแบบและทดสอบเตาเผาเชื้อ มวลสำหรับเครื่องปั้นดินเผาแบบ ประสิทธิภาพสูง: กรณีศึกษาเตาเผา เครื่องปั้นดินเผา สำนักปากระหว่าง จังหวัดอุบลราชธานี (Design and Validation of High Efficiency Fired Clay Biomass-Kiln: Case Study at Pak Huay Wang Nong, Ubonratchathani)	งบประมาณ ประจำปี (มหาวิทยาลัย อุบลราชธานี)	2546-2548 ปี เป็นแผนงาน วิจัย (โครงการ ชุด) อยู่ระหว่างทำ รายงานฉบับ สมบูรณ์	ผู้อำนวยการแผนงานวิจัยและหัวหน้า โครงการวิจัย ดร.กุลเชษฐ์ เพียรทอง ผู้วิจัยหลัก ดร. ชาลิต ถินวงศ์พิทักษ์ ผู้ร่วมงานวิจัย ร.ท. สมฤทธิ ภูนทด นางสาวทรงสุภา พุ่มชุมพล นายประชานันดิ ไตรยสุกธ์ "
2	การศึกษาและทดสอบการทำงานที่ เหมาะสมของอุปกรณ์ฉีดในระบบการ ทำ ความเย็นโดยใช้วิธีการคำนวณทาง ตัวเลขและการทดลอง(Investigation and Optimization of Ejector Performance in Refrigeration System using Computational Fluid Dynamics (CFD) Simulation and Experiment)	ทุนพัฒนา ศักยภาพของ อาจารย์รุ่นใหม่ สำนักงาน กองทุน สนับสนุนการ วิจัย (สกอ) ปี 2546 (ระยะเวลา	2546-2548 2549) เสร็จสมบูรณ์ แล้ว (มกราคม	หัวหน้าโครงการวิจัย ดร.กุลเชษฐ์ เพียรทอง Mentor: Prof. Masud Behnia (Sydney University)

		(2 ปี)		
3	การศึกษาการผลิตใบโอดีเซลจากน้ำมันพืชใช้แล้วและการทดสอบกับเครื่องยนต์ขนาดเล็ก (Production of bio-diesel from used vegetable oil and engine performance tests)	ทุนสนับสนุน ของ มหาวิทยาลัย อุบลราชธานี ปี 2548	2548 เสร็จสมบูรณ์ แล้ว (มกราคม 2549)	อ.ประชาลันติ ไตรยสุทธิ์ (หัวหน้าโครงการ) ดร.กุลเชษฐ์ เพียรทอง (นักวิจัยหลัก) นาย ทองคำ กิริยา นาย ไพบูลย์ เสธิยรัตน์
4	การศึกษาการผลิต และ วิเคราะห์ก๊าซชีวภาพจากฟางข้าว โดยเตา Downdraft Gasifier	งบประมาณ ประจำปี (มหาวิทยาลัย อุบลราชธานี)	2546-2548 อยู่ระหว่างทำ รายงานฉบับ ^{สมบูรณ์}	หัวหน้าโครงการ ดร.กุลเชษฐ์ เพียรทอง ผู้วิจัยหลัก นางสาวกานมา เจนวิจิตรสกุล ผู้ร่วมงานวิจัย 1 นายนิรันดร์ หันไซยุงawa ผู้ร่วมงานวิจัย 2 ดร.ชวิต ถินวงศ์ พิทักษ์
5	โครงการแบบจำลองสภาพน้ำท่วมพื้นที่ริมคลื่นแม่น้ำมูล เพื่อทราบระดับน้ำและพื้นที่ท่วมของ บริเวณเขตเทศบาลครุบลราชธานี และเทศบาลเมืองวารินชำราบ	งบบูรณาการ จังหวัด อุบลราชธานี	เสร็จสมบูรณ์ แล้ว (2547)	นาย ฤกษ์ชัย ครรภ์มาศ (หัวหน้าโครงการ) นาย พิสิษฐ์ เตชะรุ่งไพบูล ดร. กุลเชษฐ์ เพียรทอง (ผู้ร่วมงานวิจัย) นายธนรัช ครรภ์กุล
6	การศึกษาอุปสงค์ อุปทาน เชือเพิง ชีวมวล ในภาคตะวันออกเฉียงเหนือ	กระ功劳 พัฒนา	เสร็จสมบูรณ์ แล้ว (2546)	ผศ. พิสิษฐ์ เตชะรุ่งไพบูล (หัวหน้าโครงการ) ดร. กุลเชษฐ์ เพียรทอง (ผู้ร่วมงานวิจัย) และ อื่นๆ อีกหลายท่าน

7. บทความทางวิชาการ (List of Publications: Kulachate Pianthong)

International Refereed Journals

- [1] K. Pianthong, S. Zakrzewski, B.E. Milton, and M. Behnia, "Supersonic liquid jets; their generation and shock wave characteristics," *Shock Waves Journal*, Vol. 11, no. 6, pp. 457-466, 2002. (average impact factor = 0.442, between 2002-2004)
- [2] K. Pianthong, S. Zakrzewski, M. Behnia, and B.E. Milton, "Characteristics of impact driven supersonic liquid jets," *Experimental Thermal and Fluid Science*, vol. 27 (5), pp. 589-598, 2003. (average impact factor = 0.663, between 2002-2004), invited paper.
- [3] K. Pianthong, B.E. Milton, and M. Behnia, "Generation and shock wave characteristics of unsteady pulsed supersonic liquid jets," *Journal of Atomization and Sprays*, vol. 13, no. 5&6, pp. 475-498, 2003. (average impact factor = 0.512, between 2002-2004)

- [4] S. Zakrzewski, B.E. Milton, **K. Pianthong**, and M. Behnia, "Supersonic liquid fuel jets injected into quiescent air," *International Journal of Heat and Fluid Flow*, Vol. 25, pp 833-840, 2004. (average impact factor = 1.018, between 2002-2004)
- [5] **K. Pianthong**, K. Takayama, B.E. Milton, and M. Behnia, "Multiple pulsed hypersonic liquid diesel fuel jets driven by projectile impact," *Shock Waves Journal*, (in press Vol. 14, 2004). (average impact factor = 0.442, between 2002-2004)
- [6] B.E. Milton and **K. Pianthong**, "Pulsed, supersonic fuel jets - A review of their characteristics and potential for fuel injection," *International Journal of Heat and Fluid Flow*, Vol. 26, issue 4 , pp. 656-671, 2005. (average impact factor = 1.018, between 2002-2004)
- [7] **K. Pianthong**, A. Matthujak, K. Takayama, T. Saito, and B. Milton, "Visualization of supersonic liquid fuel jets," *Journal of Flow Visualization and Image Processing*, Vol. 13, pp. 1-25, 2006. (in press), invited paper.

Domestic Refereed Journal

- [1] I. Worapun, **K. Pianthong**, S. Pongstabodee, and D. Soodphakdee "Performance and Emission Characteristics in Diesel Engine Using Biodiesel from Waste Cooking Oil-Ethanol Blend as a Fuel," *KKU Engineering Journal*, Vol. 33, no. 6, pp. 691-705, 2006. (in Thai)
- [2] W. Seehanam, **K. Pianthong**, M. Behnia, T. Sriveerakul, S. Apornratana, "Investigation on Characteristic of Ejector Refrigeration using CFD," *KKU Engineering Journal*, Vol. 33, no. 6, pp. 629-644, 2006. (in Thai)

International Refereed Conferences

- [1] **K. Pianthong**, K. Takayama, B.E. Milton, and M. Behnia, "Micro two-stage light gas gun performance test and its penetration on a Whipple bumper shield," *Proceedings of the 22nd International Symposium on Shock Waves (ISSW22) Conference*, London, UK, paper no. 1650, pp.541-546, 18-23 July 1999.
- [2] **K. Pianthong**, S. Zakrzewski, B.E. Milton, and M. Behnia, "Generation of supersonic diesel fuel jets: does auto-ignition occur?," *Proceedings of the 16th Annual Conference on Liquid Atomization and Spray Systems (ILASS-Europe)*, Darmstadt, Germany, paper no. I. 11, 11-13 September 2000.
- [3] **K. Pianthong**, M. Behnia, and B.E. Milton, "Visualization of supersonic diesel fuel jets using shadowgraph technique," *Proceedings of the 24th International Congress on High-Speed Photography and Photonics (ICHSPP24)*, Sendai, Japan, pp. 845-855, 24-29 September 2000.
- [4] **K. Pianthong**, S. Zakrzewski, B.E. Milton, and M. Behnia, "Contribution to auto-ignition of the shock wave characteristics from supersonic diesel fuel jets," *Proceedings of the 23rd International Symposium on Shock Waves (ISSW23) Conference*, Fort Worth, Texas, USA, paper no. 2398, pp. 165-172, 22-27 July 2001.
- [5] S. Zakrzewski, **K. Pianthong**, M. Behnia, and B.E. Milton, "CFD predictions of bow shock characteristics ahead of a high-speed liquid jet," *Proceedings of the 23rd International Symposium on*

Shock Waves (ISSW23) Conference, Fort Worth, Texas, USA, paper no. 3124, pp. 698-704, 22-27 July 2001.

- [6] **K. Pianthong**, S. Zakrzewski, B.E. Milton, and M. Behnia, "Generation and analysis of impact driven water and diesel fuel jets in the supersonic range," *Proceedings of the 17th Annual Conference on Liquid Atomization and Spray Systems (ILASS-Europe)*, Zurich, Switzerland, pp. 279-284, 2-6 September 2001.
- [7] **K. Pianthong**, M. Behnia, and B.E. Milton, "Study of shock wave characteristics of supersonic diesel fuel jets using a shadowgraph technique," *Proceedings of the 14th Australasian Fluid Mechanics Conference (AFMC14)*, Adelaide, Australia, pp. 777-780, 9-14 December 2001.
- [8] S. Zakrzewski, **K. Pianthong**, M. Behnia, and B.E. Milton, "A blunt body analogy for bow shock characteristics in front of a supersonic liquid jet," *Proceedings of the 2nd International Conference on Computational Fluid dynamics (ICCFD2)*, Sydney, Australia, 15-19 July 2002, pp. 229 - 234.
- [9] **K. Pianthong**, B.E. Milton, and M. Behnia, "Fundamentals of supersonic diesel fuel jets for use in diesel engine," *Proceedings of the 12th International Pacific Conference on Automotive Engineering (12IPC)*, paper no. D08, 1-4 April 2003, Bangkok, Thailand.
- [10] **K. Pianthong**, M. Behnia, and B.E. Milton, "Visualization of supersonic liquid diesel fuel jets: effect of nozzle geometries on jet shapes and shock waves characteristics," *Proceedings of the 7th Asian Symposium on Visualization (7ASV)*, 3-7 Nov. 2003, Singapore.
- [11] B.E. Milton, **K. Pianthong**, and M. Behnia, S. Zakrzewski, K. Takayama, "Supersonic and hypersonic liquid jets: Part 1--overview, theory of impact driven injection pressure and jet velocity predictions," *Proceedings of the International Symposium on Interdisciplinary Shock Wave Research*, Sendai, Japan, 22-24 March, 2004.
- [12] **K. Pianthong**, K. Takayama, B.E. Milton, and M. Behnia, "Supersonic and hypersonic liquid jets: Part 2--Experiments, nozzle profiles, penetration and velocity attenuation" *Proceedings of the International Symposium on Interdisciplinary Shock Wave Research*, Sendai, Japan, 22-24 March, 2004.
- [13] M. Behnia, S. Zakrzewski, **K. Pianthong**, B.E. Milton, and K. Takayama, "Supersonic and hypersonic liquid jets: Part 3--Simulation of shock wave structures and liquid/air mixing layers" *Proceedings of the International Symposium on Interdisciplinary Shock Wave Research*, Sendai, Japan, 22-24 March, 2004.
- [14] **K. Pianthong**, K. Takayama, B.E. Milton, and M. Behnia, "Motion of unsteady pulsed hypersonic liquid diesel fuel jets" *Proceedings of the 15th International Symposium on Transport Phenomena*, Bangkok, Thailand, 9-13 May, 2004.
- [15] **K. Pianthong**, K. Takayama, B.E. Milton, and M. Behnia, "Penetration and velocity attenuation of pulsed supersonic liquid jets," *Proceedings of the 24th International Symposium on Shock Waves (ISSW24)*, Beijing, 11-16 July 2004, paper no.3591.

- [16] B.E. Milton, **K. Pianthong**, "Prediction of the driving conditions for hypersonic liquid fuel jets," *Proceedings of the 24th International Symposium on Shock Waves (ISSW24)*, Beijing, 11-16 July 2004, paper no. 3771.
- [17] **K. Pianthong**, A. Matthujak, K. Takayama, B.E. Milton, and M. Behnia, "Fundamental studies on effects of nozzle geometries and fuel properties on the characteristics of supersonic fuel jets," *Proceedings of the 2nd International Symposium on Interdisciplinary Shock Wave Research*, Sendai, Japan, 1-3 March, 2005.
- [18] **K. Pianthong**, A. Matthujak, K. Takayama, B.E. Milton, and M. Behnia, "Confirmation of multiple pulsed phenomena in supersonic liquid fuel jets by optical visualization and high speed video camera," *Proceedings of the 8th Asian Symposium on Visualization (8ASV)*, 23-27 May. 2005, Chiangmai, Thailand.
- [19] W. Seehanam, K. Sahumin, **K. Pianthong** and M. Behnia, "Prediction of flow characteristic and performance of steam ejector in refrigeration cycle using CFD," *Proceedings of the 8th Asian Symposium on Visualization (8ASV)*, 23-27 May. 2005, Chiangmai, Thailand.
- [20] A. Matthujak, **K. Pianthong**, M. Sun, K. Takayama, T. Ikohagi, "Effect of different fuels on the characteristics of supersonic liquid fuel jets," *Proceedings of the 25th International Symposium on Shock Waves (ISSW25)*, Bangalore, India, 17-19 July 2005, paper no.1104.
- [21] B.E. Milton, M. Watanabe, T. Saito, **K. Pianthong**, "Simulation of supersonic liquid jets using the Autodyne," *Proceedings of the 25th International Symposium on Shock Waves (ISSW25)*, Bangalore, India, 17-19 July 2005, paper no.1185.
- [22] **K. Pianthong**, "Visualisation of supersonic liquid fuel jets," *Proceedings of the 5th Pacific Symposium on Flow Visualisation and Image Proceeding (PSFVIP5)*, 27-29th September, 2005, Australia (Keynote Lecture).
- [23] P. Techarungpaisan, S. Theerakulpisut, S. Priprem, **K. Pianthong**, "Investigation on the performance of a hot water heater using waste heat from a small split-type air conditioner," *Proceedings of the 5th Pacific Symposium on Flow Visualisation and Image Proceeding (PSFVIP5)*, 27-29th September, 2005, Australia.
- [24] A. Matthujak, **K. Pianthong**, M. Sun, K. Takayama, and T. Ikohagi, "*Characteristics of High-Speed Liquid Fuel Jets*," The 16th Japanese Symposium of Shock Wave (JSSW16), Sendai, Japan, March 17-19, 2005, pp 435-438.
- [25] A. Matthujak, S.H.R. Hosseini, K. Takayama, M. Sun, **K. Pianthong**, and T. Ikohagi, "*Pressure measurement inside the nozzle during high-speed liquid jet generation*," The 17th Japanese Symposium of Shock Wave (JSSW17), Yogohama, Japan, March 16-18, 2006, pp 289-292.

National Refereed Conferences

- [1] K. Pianthong, "Generation, shock wave characteristics, and auto-ignition investigation of supersonic liquid diesel fuel jets," *Proceedings of the 3rd National Symposium on Graduate Research (Thailand)*, 18-19 July, 2002.
- [2] K. Pianthong, B.E. Milton, and M. Behnia, "Auto-ignition feasibilities of supersonic liquid diesel fuel jets at low ambient conditions," *Proceedings of the 16th Annual conference of Mechanical Engineering Network of Thailand*, Phuket, 14-16 October, 2002 .
- [3] E. Rusly, Lu Aye, W.W.S. Charters, A. Ooi, and K. Pianthong, "Ejector CFD modelling with real gas model," *Proceedings of the 16th Annual conference of Mechanical Engineering Network of Thailand*, Phuket, 14-16 October, 2002.
- [4] K. Pianthong, H. Yamashita, B.E. Milton, and T. Saito, "Estimation of driving pressure and jet velocity for projectile impact driven supersonic water jets," *Proceedings of the 17th Annual conference of Mechanical Engineering Network of Thailand*, Prajeenburi, 15-17 October, 2003, paper no TF038.
- [5] K. Pianthong, K. Takayama, B.E. Milton, and M. Behnia, "Measurements of attenuation and penetration of pulsed supersonic liquid diesel fuel jets - the possibility for use in diesel engines," *Proceedings of the 17th Annual conference of Mechanical Engineering Network of Thailand*, Prajeenburi, 15-17 October, 2003, paper no TF039.
- [6] A. Matthujak, K. Janevijitsakul, and K. Pianthong, "A Study of the production of biomass gas from rice straw using a downdraft gasifier," *Proceedings of the 17th Annual conference of Mechanical Engineering Network of Thailand*, Prajeenburi, 15-17 October, 2003, paper no. IC003. (in Thai)
- [7] A. Matthujak, K. Pianthong and K. Takayama, "Performance of a vertical two-stage light gas gun and its applications," *Proceedings of the Conference on 40th Year Anniversary of Engineering Faculty of Khonkaen University*, Khonkaen, Thailand, 22-24 January 2004, pp.xx-yy. (in Thai)
- [8] K. Pianthong, V. Seehanam, K. Chunnanond, S. Aphornratana, M. Behnia, "Prediction of performance and flow behavior of steam ejector using computational fluid dynamics techniques," *Proceedings of the 8th Annual National Symposium on Computational Science and Engineering (ANSCSE8)*, at Nakorn Ratchaseema, Thailand , 21-23 July 2004, paper no. CFDM-028.
- [9] I. Vorapun, V. Meetham, S. Srisuruk, and K. Pianthong, "Production of biodiesel from used cooking oil and effect to engine performances," *Proceedings of the 18th Annual conference of Mechanical Engineering Network of Thailand*, Khonkaen, 18-20 October, 2004, paper no. ETM19. (in Thai)
- [10] V. Seehanam, K. Pianthong, M.Behnia, K. Chunnanond, and S. Aphornratana, "Simulation on performance of CPM and CRMC steam ejectors using CFD technique," *Proceedings of the 18th Annual Conference of Mechanical Engineering Network of Thailand*, Khonkaen, 18-20 October, 2004, paper no. CST29.
- [11] K. Pianthong, I. Vorapun, P. Triyasut, P. Sombutwong, N. Soodsane, "Production of biodiesel from used cooking oil at 150 liter/batch and its effect to engine performances," *Proceedings of the 1st*

- Annual Conference of Energy Network of Thailand (E-Nett) , Pattaya City, 11-13 May, 2005, paper no. RE07. (in Thai)*
- [12] C. Thinwongpituk and **K. Pianthong**, "Temperature Distribution in Wood-Fired Ceramic Kilns," *Proceedings of the 1st Annual Conference of Energy Network of Thailand (E-Nett) , Pattaya City, 11-13 May, 2005, paper no. AE007. (in Thai)*
- [13] I. Vorapun, **K. Pianthong**, S. Pongsathanbordee, and D. Soodphukdee "Study of performance and black smoke in diesel engine using bio-diesel ethanol blend as a fuel," *Proceedings of the 19th Annual conference of Mechanical Engineering Network of Thailand, Phuket, 19-21 October, 2005, paper no. ETM033. (in Thai)*
- [14] V. Seehanam, **K. Pianthong**, T. Sriveerakul, S. Aphornratana, and M.Behnia, "Design and test of CRMC steam ejector in refrigeration system," *Proceedings of the 19th Annual conference of Mechanical Engineering Network of Thailand, Phuket, 19-21 October, 2005, paper no. CST043. (in Thai)*
- [15] T. Limsuwan, P. Techarungpaisan, **K. Pianthong**, and A. Teeboonma, "The sun tracking system for solar energy measurements," *Proceedings of the 2nd Annual Conference of Energy Network of Thailand (E-Nett) , Nakorn Ratchatsima, 27-29 July, 2006, paper no. Enett49-073. (in Thai)*
- [16] P. Triyasuti, **K. Pianthong**, T. Kiriya, P. Sathenrum, "Production of biodiesel from used vegetable oil and effect to engine performances" The 1st conference of Ubon Ratchathani University, 28-29 July 2006. (in Thai)
- [17] P. Techarungpaisan, T. Limsuwan, **K. Pianthong**, and C. Thinwongpituk "Effect of Heating Coil Length on Performance Characteristic of Hot Water Heater Using Waste Heat from Small Split-type Air Conditioner" The 1st conference of Ubon Ratchathani University, 28-29 July 2006. (in Thai)
- [18] K. Sateinsavapak, **K. Pianthong**, and I. Worapun "Effect to Performance and Wear of Engine in Long Term Test Using Biodiesel from Wasted Cooking Oil as a Fuel" *Proceedings of the 19th Annual conference of Mechanical Engineering Network of Thailand, Nakorn Ratchatsima, 18-20 October, 2006, paper no. ETM039. (in Thai)*

● ผู้จัดหลัก

1. ชื่อ (ภาษาไทย)
(ภาษาอังกฤษ)
นางสาวกษมา เจนวิจิตรสกุล
Miss Kasama Janvijitsakul
2. ตำแหน่งปัจจุบัน
อาจารย์ระดับ 3
ภาควิชาศึกษาครุศาสตร์
คณะศึกษาศาสตร์ มหาวิทยาลัยอุบลราชธานี
3. ประวัติการศึกษา

ปีที่จบ	ระดับปริญญา (ตรี โท เอก) และชื่อเต็ม	อักษรย่อ ปริญญา	สาขาวิชา	วิชาเอก	ชื่อสถาบันการศึกษา	จังหวัด/ประเทศ
2539	วิศวกรรมศาสตร์ บัณฑิต	วศ.บ.	วิศวกรรมเครื่องกล	-	มหาวิทยาลัยขอนแก่น	ไทย
2543	วิศวกรรมศาสตร์ มหาบัณฑิต	วศ.ม.	เทคโนโลยีพลังงาน	-	มหาวิทยาลัยเทคโนโลยี พระจอมเกล้าธนบุรี	ไทย

● ผู้ร่วมงานวิจัย 1

1. ชื่อ (ภาษาไทย)
(ภาษาอังกฤษ)
นายนิรันดร์ หันไซยุงวา
Mr. Nirun Hunchaiyungva
2. ตำแหน่งปัจจุบัน
อาจารย์ระดับ 6
ภาควิชาศึกษาครุศาสตร์
คณะศึกษาศาสตร์ มหาวิทยาลัยอุบลราชธานี
3. ประวัติการศึกษา

ปีที่จบ	ระดับปริญญา (ตรี โท เอก) และชื่อเต็ม	อักษรย่อ ปริญญา	สาขาวิชา	วิชาเอก	ชื่อสถาบันการศึกษา	ประเทศ
2523	วิทยาศาสตร์บัณฑิต	วศ.บ.	เครื่องกล	-	สถาบันเทคโนโลยีพระ จอมเกล้าพระนครเหนือ	ไทย

ผู้ร่วมวิจัย 2

1. ชื่อ (ภาษาไทย) ผศ.ดร.ชวัลิต ถินวงศ์พิทักษ์
(English) (Asst.Prof.Dr. Chawalit THINVONGPITUK)

2. หมายเลขบัตรประจำตัวประชาชน 3 3497 00058 141

3. ตำแหน่งปัจจุบัน ผู้ช่วยศาสตราจารย์ระดับ 7

ภาควิชาวิศวกรรมเครื่องกล
คณะวิศวกรรมศาสตร์ มหาวิทยาลัยอุบลราชธานี
โทรศัพท์ 045 288400 ต่อ 3380, 3382 โทรสาร 045 353 333

4. ประวัติการศึกษา

ปี การศึกษา ^{ที่จบ}	ระดับปริญญา (ตรี โท เอก) และชื่อเต็ม	อักษรย่อปริญญา วิชา	สาขา	วิชาเอก	ชื่อสถาบัน การศึกษา	ประเทศ
2539	วิศวกรรมศาสตร์ บัณฑิต	วศ.บ. (เครื่องกล) (เกียรตินิยม อันดับ 2)	วิศวกรรม เครื่องกล	-	มหาวิทยาลัย อุบลราชธานี	ไทย
2545	ดุษฎีบัณฑิต	Ph.D. (Mechanical Engineering)	Mechanical Engineering	-	University of Manchester Institute of Science and Technology (UMIST)	สหราช- อาณาจักร

5. ผลงานวิจัย บทความทางวิชาการ และสิ่งพิมพ์

[1] C Thinvongpituk, H. El-Sobky "The effect of end conditions on the buckling load characteristic of conical shells subjected to axial loading" The ABAQUS Users' Conference Proceedings, 2003 June 4-6, 2003, Munich, Germany.

- [2] C Thinvongpituk, H. El-Sobky "Buckling of axially compressed conical shells of linearly variable thickness" The 2nd MIT Conference on Computational Fluid Dynamics and Solid Mechanics, June 17-20, 2003, MIT, USA
- [3] C Thinvongpituk, H. El-Sobky "The buckling load characteristic of conical shells under various end conditions" Proceedings of the 17th Annual conference of Mechanical Engineering Network Thailand, 15-17 October, 2003.
- [4] C Thinvongpituk, P. Techarungpaisarn, H. El-Sobky "Buckling of axially compressed conical shells of linearly variable thickness using structural model" Proceedings of the 17th Annual conference of Mechanical Engineering Network Thailand, 15-17 October, 2003.
- [5] C. Thinvongpituk and K. Pianthong, "Temperature Distribution in Wood-Fired Ceramic Kilns," *Proceedings of the 1st Annual Conference of Energy Network of Thailand (E-Nett)*, Pattaya City, 11-13 May, 2005, paper no. AE007. (in Thai)